

# طرح ریزی کد در گراف

توسط

عالیه جلالی

رساله ارائه شده به عنوان بخشی از ملزومات برای دریافت درجه

کارشناسی ارشد در رشته  
ریاضی کاربردی

زیر نظر

استاد راهنما:

جناب آقای دکتر احمد نزاکتی

اساتید مشاور:

دکتر نادر جعفری راد  
دکتر مرتضی زاهدی

نیمسال دوم سال تحصیلی ۸۹-۸۸

دانشکده علوم پایه دانشگاه صنعتی شاهرود

## قدردانی

اکنون که به فضل خداوند متعال به واسطه‌ی نگارش این پایان نامه، فرصتی برای سپاسگزاری اینجانب فراهم شده، بر خود لازم می‌دانم تا از همه عزیزان و بزرگوارانی که تا به امروز به نحوی آموزنده‌ام بوده‌اند، تشکر نمایم. نخست از پدر و مادر خود که شرایط و محیط را برایم فراهم کردند تا بتوانم این مسیر را با آرامش طی کنم و دعای خیرشان همواره همراهم بوده، سپاسگزارم و برایشان آرزوی سلامتی و کامیابی دارم. همچنین از همکاری صمیمانه و مساعدت جناب آقای دکتر احمد نزاکتی استاد راهنما و اساتید مشاورم، که مرا در تهیه این پایان نامه یاری نمودند تشکر و قدردانی می‌نمایم و برای ایشان آرزوی توفیق و سربلندی دارم. مسلماً در طول مدت اجرای این پایان نامه، اگر پیشرفتی در کار شکل می‌گرفت، به واسطه‌ی دلگرمی‌ها و راهنمایی‌های درست استادان بزرگوارم بود. همچنین وظیفه خود می‌دانم از همه عزیزانی که به نوعی در تکمیل پایان نامه مرا یاری رساندند و همسر عزیزم کمال تشکر و قدردانی را بجا آورم.

## طرح‌ریزی کد در گراف

### چکیده

کدهای شناسایی در گراف‌ها، وابسته به مفاهیم کلاسیک مجموعه‌های غالب و صورت‌های مکان‌یاب آنست. آن‌ها ویژگی‌ای دارند که شناسایی یکتای همه رئوس گراف را میسر می‌سازد. کدهای شناسایی ابتدا در ۱۹۹۸ توسط کارپوسکی<sup>۱</sup> و همکارانش [۱] معرفی شدند و از آن پس محققان نظریه گراف<sup>۲</sup> و تئوری کدگذاری<sup>۳</sup> مطالعات گسترده‌ای در این زمینه انجام داده‌اند.

فصل اول این پایان‌نامه با برخی تعاریف موردنیاز، خلاصه‌ای از مهم‌ترین خواص کدهای شناسایی و ایجاد انگیزش برای فصل‌های بعدی شروع می‌شود. در فصل دوم به بررسی کدهای شناسایی در برخی گراف‌های خاص می‌پردازیم. در فصل سوم کران‌های کد در توپولوژی‌های مختلف گراف‌های غیرتصادفی را پیدا کرده و در فصل چهارم در جستجوی گراف بهینه برای یک کد مشخص هستیم. در فصل پنجم با گراف تصادفی آشنا می‌شویم. بعد از آشنایی با گراف تصادفی، در فصل ششم کدها و کران‌های آن در گراف‌های تصادفی را بیان می‌کنیم و بالاخره یک کاربرد زیبا از کدهای شناسایی در شبکه‌های حسگر اضطراری را در فصل هفتم می‌بینیم.

واژه‌های کلیدی: تئوری کدگذاری، شعاع پوششی، تئوری گراف، سیستم‌های چندپردازنده، شبکه‌های تصادفی، کدهای شناسایی رأسی.

---

<sup>۱</sup> M.G. Karpovsky

<sup>۲</sup> Graph theory

<sup>۳</sup> Coding theory

# فهرست مندرجات

۱	مفاهیم اولیه	۱
۱	۱-۱ گراف	۱
۵	۲-۱ انگیزش	۵
۷	۳-۱ کدهای شناسایی در گراف‌ها	۷
۱۰	۲ کدهای شناسایی در گراف‌های غیرتصادفی	۱۰
۱۰	۱-۲ ویژگی‌های اساسی	۱۰
۱۳	۲-۲ تعمیم‌ها و انواع	۱۳

۱۵	.....	کدهای شناسایی در برخی گراف‌های خاص	۳-۲
۱۵	.....	مسیرها	۱-۳-۲
۱۶	.....	دورها	۲-۳-۲
۱۸	.....	گراف‌های مسطح و مسطح خارجی	۳-۳-۲
۱۸	.....	درخت‌ها	۴-۳-۲
۲۱	.....	درخت کامل $q$ -تایی	۵-۳-۲
۲۲	.....	نتایج ساختاری	۴-۲
۲۳	.....	کاربردها	۵-۲
۲۵		کران‌های کد برای گراف مشخص	۳
۲۵	.....	کران وابسته به ماکزیمم درجه گراف	۱-۳
۲۵	.....	کران پایین وابسته به ماکزیمم درجه گراف	۱-۱-۳
۲۸	.....	کران بالای وابسته به ماکزیمم درجه گراف	۲-۱-۳
۳۰	.....	مکعب‌های دودوئی	۲-۳
۴۲	.....	گراف مکعبی همبند-دوری	۱-۲-۳
۴۶	.....	گراف پروانه‌ای	۲-۲-۳

۵۰	.....	مکعب‌های غیر دودوئی	۳-۳
۵۹	.....	درخت‌ها	۴-۳
۶۲	.....	مشبک‌ها	۵-۳
۶۵		یافتن گراف بهینه برای تعداد کلمه‌کد مشخص	۴
۶۵	.....	شناسایی مجموعه‌های رأسی	۱-۴
۶۸	.....	گراف‌های بهینه	۲-۴
۷۰	.....	گراف‌های بهینه بایک کران پایین مشخص	۳-۴
۷۵		گراف تصادفی	۵
۷۶	.....	تابع آستانه‌ای	۱-۵
۷۶	.....	تابع آستانه‌ای برای درخت‌ها و دورها	۱-۱-۵
۷۸	.....	همبندی	۲-۵

۸۰	..... گذار فاز در همبندی	۱-۲-۵
۸۱	..... $G(n, p)$ توزیع درجه	۲-۲-۵
۸۲	۶ کدهای شناسایی در گراف‌های تصادفی	
۸۲	..... شبکه‌هایی با ساختار غیرمشخص	۱-۶
۸۳	..... کدهای شناسایی در گراف‌های تصادفی	۲-۶
۸۴	..... اندازه کمینه یک کد شناسایی	۳-۶
۸۷	..... آستانه احتمال برای داشتن کد شناسایی	۴-۶
۹۴	..... کدهای $l$ - شناسایی در گراف‌های تصادفی	۵-۶
۹۵	..... می‌نیمم اندازه یک کد $l$ - شناسایی	۶-۶
۹۷	..... آستانه احتمال برای داشتن یک کد $l$ - شناسایی	۷-۶
۹۸	..... کدهای $l$ - شناسایی و $l$ - افزوده	۸-۶

۱۰۲	مسائل کاربردی در شبکه‌های حسگر اضطراری	۷
۱۰۶	چند رویه آشکارسازی موقعیت	۱-۷
۱۰۹	دید کلی	۲-۷
۱۱۱	کدهای شناسایی برای گراف‌های دلخواه	۳-۷
۱۱۲	الگوریتم ساختن کد	۱-۳-۷
۱۱۵	ارزیابی کارایی	۴-۷
۱۱۵	روش‌های موجود برای ترتیب‌دهی به رشته ورودی	۱-۴-۷
۱۱۶	نتایج شبیه‌سازی	۲-۴-۷
۱۱۹	نتیجه‌گیری و پیشنهادات	A
۱۲۱	نمادها	B
۱۲۴	واژه‌نامه انگلیسی به فارسی	C
۱۳۰	متن برنامه الگوریتم <i>ID - CODE.m</i>	D

# لیست اشکال

- شکل ۱.۱ نمونه‌ای از یک مجموعه غالب. ۸
- شکل ۲.۱ نمونه‌ای از یک مجموعه غالب مکان‌یاب. ۸
- شکل ۳.۱ نمونه‌ای از یک کد شناسایی. ۹
- شکل ۱.۲ مجموعه غالب بهینه و مجموعه غالب مکان‌یاب بهینه در گراف ستاره  $K_{۱,۵}$ . ۱۱
- شکل ۲.۲ مجموعه غالب بهینه و مجموعه غالب مکان‌یاب بهینه در گراف کامل  $K_۸$ . ۱۲
- شکل ۳.۲ مثالی از کدهای بهینه در  $P_۷$ . ۱۶
- شکل ۴.۲ مثالی از کدهای بهینه  $P_۸$ . ۱۶
- شکل ۵.۲ مثال‌هایی از کدهای بهینه  $C_۸$  و  $C_۹$ . ۱۷
- شکل ۷.۲ نمونه یک کد بهینه در درخت کامل  $CT_۴^۳$ . ۲۲

شکل ۸.۲ نمونه‌هایی از گراف‌های دارای کمترین تعداد کد شناسایی از اندازه  $n - 1$ . ۲۳

شکل ۱.۳ تفکیک  $V$ . ۲۶

شکل ۲.۳ ابر مکعب ۳ بعدی  $H_3$ . ۳۰

شکل ۳.۳ فاصله همینگ. ۳۲

شکل ۴.۳ دو نمایش از گراف  $CCC_3$ . ۴۳

شکل ۵.۳ یک کد شناسایی از گراف  $CCC_4$ . ۴۴

شکل ۶.۳ یک کد شناسایی بهتر در  $CCC_4$ . ۴۵

شکل ۷.۳ گراف  $BF_3$ . ۴۶

شکل ۸.۳ گراف  $BF_4$ . ۴۹

شکل ۹.۳ ساختار حاصل از قضیه (۱۱.۳) برای  $n = 2, p = 13$ . ۵۵

شکل ۱۰.۳ ساختار بهتری برای  $n = 2, p = 8$ . ۵۵

شکل ۱۱.۳ کلمه‌کدها با  $t = 1$  برای مشبکه شش گوشه‌ای و مشبکه سه گوشه‌ای. ۶۴

شکل ۱.۴ کران پایین در بخشی از مجموعه‌های رئوس از اندازه بالاتر در مکعب‌های

- ۶۶ دودوئی.
- ۶۸ شکل ۲.۴ یک گراف بهینه برای شناسایی یکتای رؤس تنها.
- ۷۰ شکل ۳.۴ ماتریس متناظر با یک کد بهینه برای یک گراف با ۱۶ راس.
- ۷۰ شکل ۴.۴ گرافی که با کران پایین قضیه (۱.۳) بدست می آید.
- ۷۳ شکل ۵.۴ نمونه‌ای از یک گراف بهینه ۴-منتظم.
- ۷۳ شکل ۶.۴ نمونه‌ای از یک گراف بهینه با ماکزیمم درجه ۳.
- ۷۶ شکل ۱.۵ نمونه‌ای از یک گراف تصادفی  $G(1000, 0.5)$ .
- ۷۷ شکل ۲.۵ نمونه‌ای از یک گراف تصادفی  $G(10000, .2/10000)$ .
- ۷۷ شکل ۳.۵ نمونه‌ای از یک گراف تصادفی  $G(10000, .5/10000)$ .
- ۷۸ شکل ۴.۵ نمونه‌ای از یک گراف تصادفی  $G(10000, 1.5/10000)$ .
- ۷۸ شکل ۵.۵ تحول گراف از  $p = 0$  تا  $p = 1/n$ .
- ۷۸ شکل ۶.۵ نمونه‌ای از یک گراف تصادفی  $G(10000, .5/10000)$ .
- ۷۹ شکل ۷.۵ نمونه‌ای از یک گراف تصادفی  $G(10000, .8/10000)$ .

- شکل ۸.۵ نمونه‌ای از یک مولفه غول و درخت‌ها  $G(1000, 2/1000)$ . ۷۹
- شکل ۹.۵ تحول  $G(n, p)$ . ۸۰
- شکل ۱.۶ نمایش ترسیمی آستانه‌ها برای خاصیت دارا بودن یک کد شناسایی. ۹۱
- شکل ۲.۶ یک گراف همراه با یک کد شناسایی مجموعه‌های حداکثر ۲ راسی و ماتریس  
متناظرش. ۱۰۰
- شکل ۱.۷ (a) نقشه ساده یک طبقه ساختمان (b) اتصالات رادیویی بین آن‌ها. ۱۱۱
- شکل ۲.۷ الگوریتم  $ID - CODE$ . ۱۱۳
- شکل ۳.۷ کدهای شناسایی ساده‌نشده برای دنباله‌های متفاوت. ۱۱۴
- شکل ۴.۷ اندازه کد برآیند و میانگین درجه. ۱۱۷
- شکل ۵.۷ اندازه نرمال شده کد برآیند و تعداد گره‌ها. ۱۱۸

## فصل ۱

### مفاهیم اولیه

هدف این فصل مقدماتی، ایجاد یک زمینه شهودی (به کمک مثال‌های ساده) برای مطالبی است که در فصل‌های بعد به صورت رسمی تر ارائه خواهند شد. بدین منظور ابتدا برخی تعاریف مربوط به گراف را بیان کرده و مفهومی کدهای شناسایی را به گونه‌ای آسان و قابل درک مطرح می‌کنیم.

#### ۱-۱ گراف

ابتدا برخی تعاریف و نشانه‌گذاری‌های استاندارد تئوری گراف را که در این پایان‌نامه به کار خواهیم برد، یادآوری می‌کنیم. برای یک معرفی کامل از تئوری گراف به کتاب برگ [۴] ۱۹۵۸ مراجعه کنید.

تعریف ۱.۱ درگراف غیرجهت‌دار  $G = (V, E)$ ،  $V = V(G)$  مجموعه رئوس  $G$  و  $E = E(G)$  مجموعه یال‌های  $G$  نامیده می‌شود که  $E(G)$  یک مجموعه از زوج‌های نامرتب از عناصر  $V(G)$  است. اگر  $u$  و  $v$  دو رأس از  $G$  باشند، یال بین  $u$  و  $v$  به صورت  $\{u, v\}$  یا  $uv$  نمایش داده می‌شود.

---

C. Berge<sup>۱</sup>

تعریف ۲.۱ گراف جهت‌دار  $G = (V, A)$  شامل یک مجموعه رأس  $V(G)$  و یک مجموعه کمان  $A(G)$  از ازوج مرتب از عناصر  $V(G)$  می‌باشد. اگر  $u$  و  $v$  دو رأس از  $G$  باشند، یک کمان بین  $u$  و  $v$  به صورت  $(u, v)$  یا  $\vec{uv}$  نمایش داده می‌شود.

تعریف ۳.۱ اندازه  $V(G)$  از گراف  $G$ ، معمولاً با  $n$  مشخص و مرتبه  $G$  نامیده می‌شود. اگر همه یال‌های  $E(G)$  مجزا باشند ( $G$  یال چندگانه نداشته باشد) و اگر هیچ یالی دو بار شامل یک رأس مشابه نشود ( $G$  طوقه نداشته باشد) آن‌گاه گراف  $G$  ساده است. اگر  $V(G)$  و  $E(G)$  هر دو متناهی باشند، گراف  $G$  متناهی و درغیراینصورت نامتناهی است.

تعریف ۴.۱ دو رأس  $u$  و  $v$  از گراف  $G$  همسایه‌اند، اگر به وسیله یک یال از  $G$  به هم متصل باشند. درجه  $v$  در  $G$  یعنی تعداد همسایه‌های  $v$  را با  $deg_G(v)$  یا به طور ساده‌تر با  $deg(v)$  نشان می‌دهیم. ماکزیمم درجه  $G$  که بیشترین درجه یک رأس از  $V$  است را با  $\Delta(G)$  نمایش می‌دهیم. به طور مشابه مینیمم درجه  $G$  که کمترین درجه یک رأس از  $V$  است را با  $\delta(G)$  می‌شناسیم. گرافی که همه رؤس آن درجه مشابهی،  $k$ ، دارند  $k$ -منتظم نامیده می‌شود. یک گراف که ماکزیمم درجه ۳ داشته باشد زیرمکعبی و یک گراف ۳-منتظم مکعبی نام دارد.

تعریف ۵.۱ یک مسیر به طول  $k$  بین دو رأس  $v_0$  و  $v_k$  به صورت یک دنباله،  $\{v_0, \dots, v_k\}$ ، از  $k+1$  رأس  $G$  است به طوری‌که برای همه  $i \in \{0, \dots, k-1\}$  داشته باشیم  $\{v_i, v_{i+1}\}$ .

تعریف ۶.۱ فاصله بین دو رأس  $u$  و  $v$  در گراف  $G$  که با  $d_G(u, v)$  (یا  $d(u, v)$ ) نمایش داده می‌شود طول کوتاهترین مسیر بین  $u$  و  $v$  در  $G$  است. اگر چنین مسیری بین  $u$  و  $v$  وجود نداشته باشد آن‌گاه فاصله بین  $u$  و  $v$  تعریف نشده است.

تعریف ۷.۱ فرض کنید  $v$  یک رأس از  $G$  باشد.  $B_r(v)$  گوی به مرکز  $v$  و به شعاع  $r$  را نشان می‌دهد یعنی همه رئوسی از  $V$  که به فاصله کمتری یا مساوی  $r$  از  $v$  هستند. همچنین برای  $N[v] = B_1(v)$ ، همسایگی بسته  $v$  را با  $N[v] = N(v) \cup \{v\}$  نشان می‌دهیم، که در آن مجموعه همسایه‌های  $v$  به جز خودش می‌باشد.

تعریف ۸.۱ در گراف جهت‌دار  $G = (V, A)$  گوی ورودی،  $B^+(v)$ ، شامل خود  $v$  و رئوسی است که یک یال جهت‌دار به  $v \in V$  دارند. همچنین گوی خروجی،  $B^-(v)$ ، شامل خود  $v$  و رئوسی است که یک یال جهت‌دار از  $v$  به آن‌ها وجود دارد. برای گراف‌های غیرجهت‌دار نوشتار ساده  $B(v) = B^+(v) = B^-(v)$  را به کار می‌بریم.

تعریف ۹.۱ اگر برای هر جفت از رئوس مجزای  $u$  و  $v$  یک مسیر بین  $u$  و  $v$  موجود باشد،  $G$  همبند نامیده می‌شود. اگر  $G$  ناهمبند باشد، شامل تعداد متناهی گراف همبند است، هر یک از این گراف‌ها یک مولفه همبندی از  $G$  نامیده می‌شود.

تعریف ۱۰.۱ یک دور به طول  $k$  در گراف  $G$  به صورت یک دنباله،  $\{v_0, \dots, v_{k-1}\}$ ، از  $k$  رأس مجزا از  $G$  است به طوری که برای همه  $i \in \{0, \dots, k-1\}$  داشته باشیم  $\{v_i, v_{(i+1) \bmod k}\} \in E(G)$ . گراف همبندی که هیچ دوری نداشته باشد، درخت نام دارد.

تعریف ۱۱.۱ یک درخت ریشه‌دار درختی است که در آن یک رأس از دیگر رأس‌ها متمایز بوده و ریشه نامیده می‌شود. عمق یا سطح یک رأس، تعداد یال‌های روی یک مسیر منحصر به فرد بین ریشه و

آن رأس است. ارتفاع یک درخت ریشه‌دار، بزرگترین عمق هر رأس درخت است. اگر  $v$  رأس داخلی دلخواهی از یک درخت ریشه‌دار باشد، فرزندان  $v$ ، رأس‌هایی از درخت هستند که مجاور  $v$  بوده و در مقایسه با  $v$ ، یک عمق دورتر از ریشه باشند.

تعریف ۱۲.۱ گراف  $H = (V_H, E_H)$  را یک زیرگراف از  $G$  گوئیم هرگاه  $V_H \subseteq V(G)$  و  $E_H \subseteq E(G)$  باشد.

تعریف ۱۳.۱ گراف کامل از مرتبه  $n$  که با  $K_n$  نمایش داده می‌شود گرافی است که هر دو رأس متمایز آن همسایه باشند.

تعریف ۱۴.۱ اگر  $V(G)$  به دو مجموعه  $A$  و  $B$  افراز شود به صورتی که هر یال  $E(G)$  شامل یک رأس از  $A$  و یک رأس از  $B$  باشد آن‌گاه گراف حاصل، گراف دوبخشی نامیده می‌شود.

تعریف ۱۵.۱ گراف  $G$  مسطح است اگر امکان کشیدن آن روی صفحه اقلیدسی چنانکه هیچ یالی دیگری را قطع نکند، موجود باشد. اگر  $G$  مسطح باشد یال‌های آن صفحه را به یک یا چند ناحیه افراز می‌کنند. هر کدام از ناحیه‌ها را یک وجه می‌نامیم. یک گراف، مسطح خارجی نامیده می‌شود اگر تمام رؤس آن روی وجه بیرونی باشند.

تعریف ۱۶.۱ فرض کنید  $G$  و  $H$  دو گراف ساده و  $f: V(G) \rightarrow V(H)$  تابعی یک‌به‌یک و پوشا باشد.  $f$  را یکریختی گوئیم هرگاه برای هر دو رأس  $u$  و  $v$  از  $G$  اگر  $u$  و  $v$  در  $G$  مجاور باشند (نباشند)، آن‌گاه  $f(u)$  و  $f(v)$  در  $H$  مجاور باشند (نباشند).

تعریف ۱۷.۱ رئوسی که همسایه‌های یکسان داشته باشند، رئوس دوقلو نامیده می‌شوند.

تعریف ۱۸.۱ اگر  $G$  گرافی با مجموعه رئوس  $\{1, 2, \dots, n\}$  باشد، ماتریس مجاورت  $A$  را به صورت یک ماتریس  $n \times n$  تعریف می‌کنیم، که عنصر  $ij$  آن برابر تعداد یال‌هایی است که رئوس  $i$  ام و  $j$  ام را به هم وصل می‌کند.

تعریف ۱۹.۱ زیرمجموعه  $M$  از یال‌های  $G$  را در نظر بگیرید. اگر هیچ دو یالی در  $M$  مجاور نباشند، به عبارت دیگر، اگر برای هر دو یال  $u$  و  $v$  در  $M$ ، دو انتهای رأس  $u$  با دو انتهای رأس  $v$  متفاوت باشد،  $M$  یک تطابق در  $G$  نامیده می‌شود.

اگر رأس  $v$  از گراف  $G$  انتهای رأس برخی از یال‌های تطابق  $M$  باشد آن‌گاه  $v$ ،  $M$  - اشباع شده نامیده می‌شود و می‌گوییم  $M$ ، رأس  $v$  را اشباع می‌کند.

اگر  $M$ ، یک تطابق در  $G$  باشد به گونه‌ای که هر رأس  $G$ ،  $M$  - اشباع شده باشد،  $M$  یک تطابق کامل نامیده می‌شود.

همه گراف‌هایی که از این پس در نظر می‌گیریم ساده، همبند، غیرجهتدار و متناهی هستند، مگر خلاف آن ذکر شود.

## ۱-۲ انگیزش

گراف‌ها دامنه‌ای وسیع از کاربردها در زمینه‌های متعدد مهندسی و علوم ارتباطات یافته‌اند. یک گراف می‌تواند برای نمایش دادن تقریباً هر حالت فیزیکی و ارتباط بین موجودات مختلف به کار برده شود.

از این رو مدل‌های گرافیکی اغلب در حل تعدادی از مسائل کاربردی استفاده می‌شوند (به هارری<sup>۲</sup> [۲۲] مراجعه شود). کارپوسکی و همکاران [۱]، کدهای تشخیصی را برای مدل کردن فرایند تشخیص خطا در سیستم‌های چند پردازشگری تعریف کرده‌اند. در این سیستم‌ها ممکن است تعدادی از پردازنده‌ها به نحوی که به هدف سیستم وابسته است خراب شوند. هدف ما تشخیص و جایگزین کردن این پردازشگرهاست به صورتی که سیستم درست عمل کند. فرض می‌کنیم که سخت‌افزارهای ما از کیفیتی برخوردارند که در هر زمان حداکثر  $l$  تا از پردازشگرها معیوب هستند که  $l$  یک مقدار ثابت است و نیز فرض می‌کنیم که هر پردازنده  $P$  در این سیستم می‌تواند برنامه  $test(P)$  را اجرا کند که وضعیت خود این پردازنده و تمام پردازنده‌های مجاورش،  $N(P)$ ، را بررسی می‌کند. این برنامه تنها اطلاعات دودویی برمی‌گرداند، یعنی اگر  $P$  یا یکی از پردازنده‌های مجاورش معیوب باشد صفر و در غیر اینصورت یک است. این اطلاعات به یک کنترل‌کننده مرکزی برگردانده می‌شود که آن را به عنوان بخشی از سیستم تلقی نمی‌کنیم. توجه کنید که این برنامه هویت پردازنده معیوب را آشکار نمی‌کند: اگر خروجی  $test(P)$  صفر باشد تنها چیزی که می‌توانیم بگوییم اینست که  $P$  و یا یکی از پردازنده‌های اطرافش در  $N(P)$  معیوب هستند. ما علاقه‌مندیم که زیرمجموعه‌ای از پردازشگرها مانند  $\mathcal{C}$  بسازیم که:

- (i) اگر تمام پردازنده‌های  $\mathcal{C}$  یک برگرداند، آنگاه هیچ پردازشگری در سیستم خراب نباشد.
- (ii) اگر لااقل یک و حداکثر  $l$  تا از پردازشگرها به درستی کار نکنند، کنترل‌کننده مرکزی بتواند آن‌ها را با استفاده از  $\mathcal{C}$  مکان‌یابی کند.

### ۳-۱ کدهای شناسایی در گراف‌ها

اکنون برخی تعاریف خاص در زمینه مجموعه‌های غالب و شناسایی در گراف‌ها را مطرح می‌کنیم.

معرفی کامل مجموعه‌های غالب در گراف را در هاینس<sup>۳</sup> و همکارانش ببینید [۱۲].

گراف  $G = (V, E)$  را در نظر بگیرید، رأس  $v \in V$  بر رأس  $u$  تسلط دارد یا آن را می‌پوشاند اگر  $u \in N[v]$  به فاصله حداکثر یک از  $v$  است). فرض کنیم  $C, C' \subseteq V$  دو مجموعه باشند، گوییم  $C$  بر  $C'$  تسلط دارد یا آن را می‌پوشاند اگر هر رأس  $C'$  با یک رأس از  $C$  پوشانده شود. مجموعه  $C \subseteq V$  یک مجموعه غالب یا کد پوششی برای  $G$  است اگر  $C$  بر  $V$  مسلط باشد.

جفت  $\{u, v\}$  از رئوس  $V$  به وسیله  $x \in V$  تفکیک می‌شوند اگر  $x$  دقیقاً بر یکی از رئوس  $u$  و  $v$  مسلط باشد. فرض کنیم  $C, C' \subseteq V$  دو مجموعه باشند، گوییم  $C, C'$  را تفکیک می‌کند اگر برای هر جفت  $\{u, v\}$  از رئوس  $C, C'$ ،  $u$  و  $v$  به وسیله حداقل یکی از رئوس  $C$  تفکیک شوند. مجموعه  $C \subseteq V$  یک مجموعه غالب مکان‌یاب یا کد غالب مکان‌یاب از  $G$  است اگر:

(۱)  $C$  یک مجموعه غالب از  $G$  باشد،

(۲)  $C, V \setminus C$  را تفکیک کند.

مجموعه  $C \subseteq V$  یک کد شناسایی برای  $G$  است اگر:

(۱)  $C$  یک مجموعه غالب از  $G$  باشد،

(۲)  $C, V$  را تفکیک کند.

به عبارت دیگر، برای هر رأس  $v \in V$ ،  $N[v] \cap C \neq \emptyset$  و برای هر جفت  $\{u, v\}$  از رئوس  $V$ ،

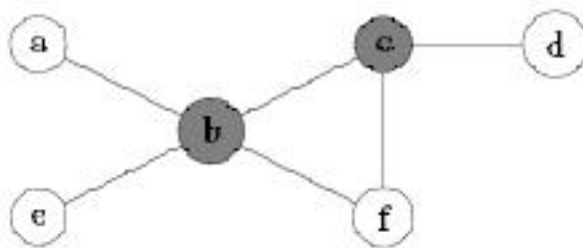
$$N[u] \cap C \neq N[v] \cap C$$

در یک کد شناسایی  $C$  از  $G$  برای یک رأس  $v \in V$  مجموعه  $I_C(v) = I(v, C) = N[v] \cap C$ ، مجموعه شناسایی  $v$  و هر یک از اعضای  $C$  یک کلمه کد نامیده می‌شود. پس مجموعه  $C \subseteq V$  یک کد شناسایی برای گراف  $G = (V, E)$  است اگر برای هر  $v \in V$  داشته باشیم  $I_C(v) \neq \emptyset$ ، و برای هر جفت از رؤس مجزای  $u, v \in V$   $I_C(v) \neq I_C(u)$ .

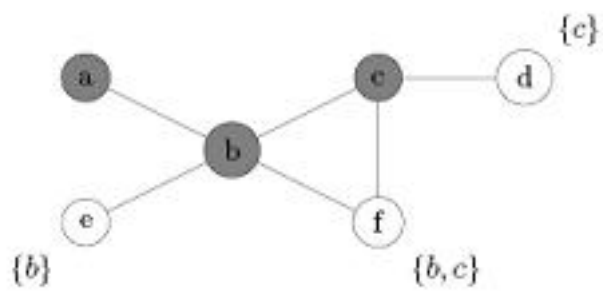
فرض کنیم  $\oplus$  تفاضل متقارن بین دو مجموعه را نشان دهد:  $A \oplus B = A \setminus B \cup B \setminus A$ . شرط معادل با شرط تفکیکی (۲) در تعریف بالا را به صورت زیر می‌توانیم بیان کنیم:

$$(۲) \text{ برای هر جفت } \{u, v\} \text{ از رؤس } V, I_C(u) \oplus I_C(v) \neq \emptyset.$$

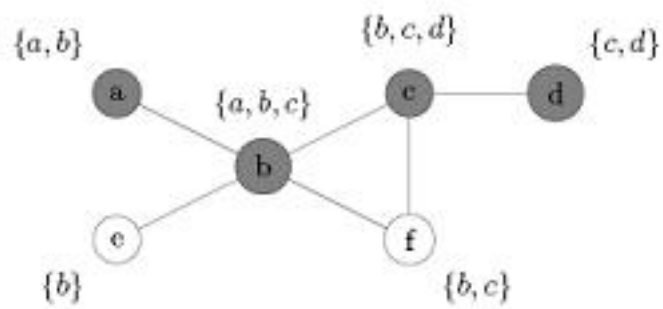
شکل‌های (۱.۱) و (۲.۱) و (۳.۱) مثال‌هایی از مجموعه غالب، مجموعه غالب مکان‌یاب و یک کد شناسایی است. رؤس این مجموعه‌ها به رنگ سیاه هستند و مجموعه‌های شناسایی در  $\{\}$  آمده است. در (۱.۱) توجه کنید که یک مجموعه غالب یک مجموعه غالب مکان‌یاب نیست چون  $a$  و  $e$  تفکیک شده نیستند. به طور مشابه، مجموعه غالب مکان‌یاب یک کد شناسایی نیست چون  $c$  و  $f$  مجزا نیستند. (در شکل (۲.۱)  $I_C(f) = I_C(c)$ ).



شکل ۱.۱: نمونه‌ای از یک مجموعه غالب



شکل ۲.۱: نمونه‌ای از یک مجموعه غالب مکان‌یاب



شکل ۳.۱: نمونه‌ای از یک کد شناسایی

## کدهای شناسایی در گراف‌های غیرتصادفی

### ۱-۲ ویژگی‌های اساسی

در حالیکه همه گراف‌های یک مجموعه غالب یا یک مجموعه غالب مکان‌یاب (به سادگی  $C = V$  را در نظر بگیرید) می‌پذیرند، اما همه آن‌ها دارای یک کد شناسایی نیستند، مثلاً اگر دو رأس  $u, v \in V$  موجود باشد که  $N[u] = N[v]$ ، آن‌گاه  $G$  نمی‌تواند کد شناسایی داشته باشد، چون برای هر زیرمجموعه از رأس‌های  $C$  داریم  $N[u] \cap C = N[v] \cap C$ ، چنین رئوسی، رئوس دوقلو نامیده می‌شوند و نمی‌توانند تفکیک شوند.

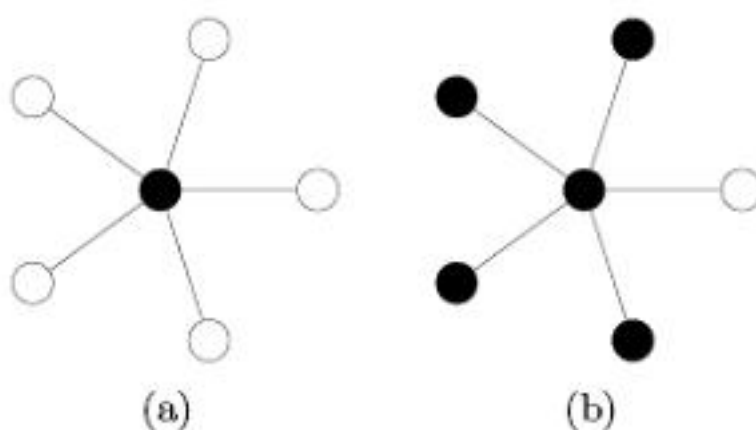
گراف‌هایی که کد شناسایی می‌پذیرند، گراف‌های قابل شناسایی یا گراف‌های بدون رئوس دوقلو نامیده می‌شوند. یک مثال ساده از گراف‌های دارای رئوس دوقلو، گراف‌های کامل  $K_n$  هستند، که شامل  $n$  رأسند و همه رئوس به یکدیگر متصلند، بنابراین گراف کامل  $K_n$  کد شناسایی نمی‌پذیرد.

در حالتیکه  $G$  یک کد شناسایی داشته باشد،  $C = V$  همیشه یک کد شناسایی برای  $G$  است.

یک سؤال طبیعی برای گراف  $G$  داده شده، تعیین می‌نیمم اندازه یک مجموعه غالب، یک مجموعه غالب مکان‌یاب و یا یک کد شناسایی برای  $G$  و ساختن مجموعه‌های بهینه آن‌ها می‌باشد.

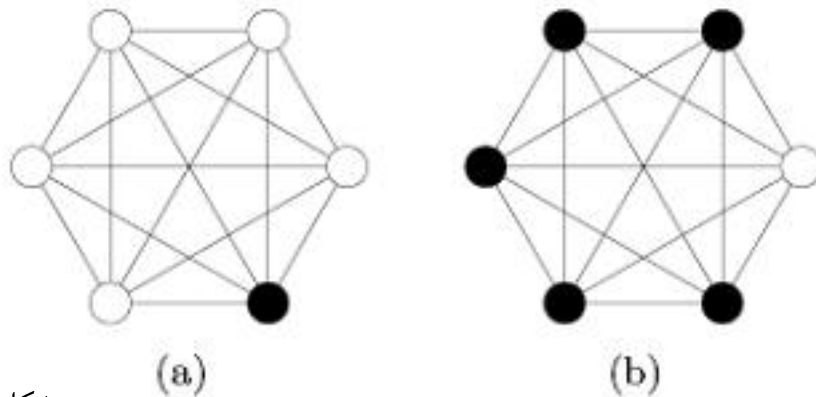
فرض کنید  $\Upsilon(G)$ ، می‌نیمم اندازه یک مجموعه غالب از  $G$ ،  $\Upsilon_l(G)$ ، می‌نیمم اندازه یک مجموعه غالب مکان‌یاب از  $G$  و  $M_1(G)$ ، می‌نیمم اندازه یک کد شناسایی از  $G$  را نشان دهد. توجه کنید هر کد شناسایی از  $G$  یک مجموعه غالب مکان‌یاب برای  $G$  و هر مجموعه غالب مکان‌یاب از  $G$  یک مجموعه غالب برای  $G$  می‌باشد. بنابراین رابطه زیر بین این سه مجموعه برقرار است: برای گراف  $G$  بدون رؤس دوقلو،  $\Upsilon(G) \leq \Upsilon_l(G) \leq M_1(G)$ .

با اینکه رابطه نزدیک بین مجموعه‌های غالب، مجموعه‌های غالب مکان‌یاب و کدهای شناسایی وجود دارد، اما در کل امکان بدست آوردن یک کد شناسایی از یک مجموعه غالب یا حتی یک مجموعه غالب مکان‌یاب وجود ندارد. برخی گراف‌ها وجود دارند که می‌نیمم اندازه این مجموعه‌ها در آن‌ها بسیار متفاوت است. برای مثال، در گراف ستاره  $K_{1,n-1}$ ، که  $n$  رأس دارد و یک رأس مرکزی به  $n-1$  رأس مستقل دیگر متصل است، اندازه بهینه مجموعه غالب یک است، در حالیکه برای هر دو مجموعه غالب مکان‌یاب و کد شناسایی به  $n-1$  رأس نیاز هست (شکل (۱.۲) را ببینید که در آن  $a$  یک مجموعه غالب بهینه و  $b$  یک مجموعه غالب مکان‌یاب بهینه در گراف ستاره  $K_{1,5}$  می‌باشد).



شکل (۱.۲)

در گراف کامل  $K_n$ ، اندازه بهینه یک مجموعه غالب مجدداً یک است و به  $n - 1$  رأس برای مجموعه غالب مکان‌یاب نیاز هست اما همانطور که قبلاً ذکر کردیم این گراف کد شناسایی نمی‌پذیرد (شکل (۲.۲) را ببینید که در آن  $a$  یک مجموعه غالب بهینه و  $b$  یک مجموعه غالب مکان‌یاب بهینه در گراف کامل  $K_8$  می‌باشد).



شکل (۲.۲)

توجه کنید که اگر  $G$  ناهمبند باشد، آنگاه یک کد شناسایی می‌نیمم، اجتماع کدهای شناسایی می‌نیمم همه مؤلفه‌های همبند آن است. از اینرو، کفایت کدهای شناسایی را در گراف‌های همبند بررسی کنیم.

اکنون کدهای شناسایی را از منظر دیگری معرفی می‌کنیم. فرض کنید  $G$  یک گراف با  $n$  گره و مجموعه رأس  $\{v_0, \dots, v_{n-1}\}$  و  $C$  یک کد شناسایی از  $G$  از اندازه  $k$  باشند. ماتریس  $M$  را با  $n$  ستون و  $k$  سطر که فقط شامل عناصر صفر و یک می‌باشد در نظر بگیرید،  $M[i, j] = 1$  اگر و تنها اگر  $v_i \in I_C(v_j)$ . اگر همه ستون‌های  $M$  مجزا و دارای حداقل یک درایه، ۱ باشد، آنگاه  $C$  یک کد شناسایی است. مسأله پیدا کردن یک کد شناسایی می‌نیمم معادل با یافتن یک ماتریس با  $n$  ستون و کمترین تعداد سطر است چنان‌که اگر  $v_i$  و  $v_j$  در  $G$  به هم متصل نباشند،  $M[i, j] = 0$  باشد.

## ۲-۲ تعمیم‌ها و انواع

تعمیم‌های بسیاری از کدهای شناسایی وجود دارد که در اینجا برخی از مهم‌ترین آن‌ها را بیان می‌کنیم. کدهای شناسایی می‌تواند برای گراف‌های نامتناهی تعمیم یابد. فرض کنید  $G$  گراف ساده، نامتناهی و بدون رأس دوقلو باشد. آنگاه به جای  $M_1(G)$  (که در گراف نامتناهی مفهومی ندارد) می‌توانیم تراکم کد شناسایی در  $G$  را در نظر بگیریم. تراکم کد شناسایی  $C$  در  $G$  را با  $d_C(G)$  و می‌نیمم تراکم کد شناسایی در  $G$  را با  $d^*(G)$  نشان می‌دهیم. در حقیقت، این تراکم نسبت بین تعداد کلمه‌کدها و مجموع تعداد رئوس در یک بخش محدود از گراف است. فرض کنید  $v$  یک رأس دلخواه از گراف  $G$  باشد، آنگاه

$$d_C(G) = \limsup_{n \rightarrow \infty} \frac{|C \cap B_n(v)|}{|B_n(v)|}$$

(به کوهن<sup>۱</sup> و همکاران [۸] مراجعه کنید). اگر  $G$  متناهی و دارای  $n$  رأس باشد، تراکم  $C$  از  $G$  به صورت  $d_C(G) = \frac{|C|}{n}$  تعریف می‌شود.

مهم‌ترین تعمیم کدهای شناسایی تعمیم  $t$ -فاصله می‌باشد، مشابه این تعمیم در مجموعه‌های غالب نیز وجود دارد. فرض کنید  $G$  یک گراف و  $t \geq 1$  باشد. یک مجموعه  $t$ -غالب یا مجموعه غالب  $t$ -فاصله (همچنین کد  $t$ -پوششی یا کد پوششی به شعاع  $t$  نیز نامیده می‌شود)، یک زیرمجموعه  $C$  از  $V$  است چنان‌که برای هر رأس  $v$  از  $G$  داشته باشیم  $B_t(v) \cap C \neq \emptyset$ . یک مجموعه  $t$ -غالب مکان‌یاب یک زیرمجموعه  $C$  از  $V(G)$  می‌باشد چنان‌که  $C$  یک مجموعه غالب است و برای رئوس  $u, v \in V \setminus C$  مجموعه‌های  $B_t(u) \cap C$  و  $B_t(v) \cap C$  مجزا هستند. یک کد شناسایی به شعاع  $t$  از  $G$  [۱] یک زیرمجموعه  $C$  از  $V(G)$  است چنان‌که  $C$  یک مجموعه  $t$ -غالب از  $G$  است و هر جفت از رئوس به وسیله

$C$  به فاصله  $t$  تفکیک می‌شوند. به عبارت دیگر

$$(۱) \quad B_t(u) \cap C \neq \emptyset, v \in V$$

$$(۲) \quad \text{برای هر جفت } \{u, v\} \text{ از رئوس } V, B_t(u) \cap C \neq B_t(v) \cap C.$$

کمترین اندازه یک کد شناسایی به شعاع  $t$  از  $G$  را با  $M_t(G)$  نمایش می‌دهیم.

یک تعمیم دیگر، شناسایی کردن مجموعه‌هایی از رئوس است (به [۱] و فریز<sup>۲</sup> و همکاران [۴۰] مراجعه

شود). اگر  $C$  و  $X$  دو زیرمجموعه از رئوس گراف  $G$  باشند، مجموعه شناسایی  $X$  را به صورت  $I_C(X)$

نشان می‌دهیم که به صورت اجتماع مجموعه‌های شناسایی همه رئوس  $x$  از  $X$ ،  $I_C(x)$ ، تعریف می‌شود.

فرض کنید  $C$ ،  $X$  و  $Y$  سه زیرمجموعه از رئوس  $G$  که  $|X| = |Y| = l$  و  $X \neq Y$  باشد، گوییم  $C$ ،  $X$  و

$Y$  را تفکیک می‌کند اگر  $I_C(X) \neq I_C(Y)$  باشد. یک کد  $(\leq l)$ -شناسایی یک زیرمجموعه  $C$  از

رئوس  $G$  است که بر  $V(G)$  غلبه دارد و هر دو زیرمجموعه از رئوس حداکثر  $l$  رأسی را تفکیک می‌کند.

می‌توانیم دو تعمیم قبل را در هم ادغام کرده و کدهای  $(t, \leq l)$ -شناسایی بدست آوریم. برای سهولت

اغلب  $t = 1$  را در نظر می‌گیریم. اصطلاح تخصیص یافته به کدهای  $(1, \leq l)$ -شناسایی، کدهای  $l$ -

شناسایی  $(l - ID)$  و به کدهای  $(1, \leq 1)$ -شناسایی، کدهای شناسایی  $(ID)$  است.

کدهای شناسایی می‌تواند برای گراف‌های جهت‌دار نیز تعریف شود. فرض کنید  $G = (V, A)$

یک گراف جهت‌دار باشد. به راحتی، گوی رأس  $v$ ،  $B(v)$ ، در تعریف با گوی‌های  $B^+(v)$  و  $B^-(v)$

جایگزین می‌شود.

به علاوه، یک تعمیم از کدهای شناسایی با وزن‌ها و هزینه روی رئوس، کدهای  $d$ -شناسایی نامیده

می‌شود که در تلاسیرامن<sup>۳</sup> و همکاران [۱۸] آمده است.

<sup>۲</sup>A. Frieze

<sup>۳</sup>K.Thulasiraman

یک تعمیم وزندار و جهت‌دار، شناسایی کردن منبع نام دارد که در برگرولف<sup>۴</sup> و همکاران [۵] موجود است.

با اینحال، در این پایان‌نامه کار خود را روی حالت کلاسیکی که گراف متناهی و غیرجهت‌دار و  $t = 1$  و  $l = 1$  است انجام می‌دهیم، در برخی بخش‌ها روی حالت کلی نیز بحث می‌کنیم.

## ۳-۲ کدهای شناسایی در برخی گراف‌های خاص

در این جا مسأله ساختن یک کد شناسایی می‌نیمم در برخی طبقه‌بندی‌های خاص از گراف‌ها را بررسی می‌کنیم:

### ۱-۳-۲ مسیرها

یک مسیر با  $n$  رأس که با  $P_n$  نمایش داده می‌شود، دارای مجموعه رئوس  $\{v_0, \dots, v_{n-1}\}$  و مجموعه یال  $\{\{v_i, v_{i+1}\}, i \in \{0, \dots, n-1\}\}$  می‌باشد. اندازه کد شناسایی می‌نیمم در مسیرها در قضیه زیر آمده است.

قضیه ۱.۲ (برترند<sup>۵</sup> و همکارانش [۲]، ۲۰۰۴): برای مسیر  $P_n$

•  $M_1(P_k) = k + 1$ ;  $k \geq 2$  (چون  $P_2$  گراف کامل است)،

بهینه آن عبارتست از

$$\{v_i \mid i \text{ زوج است}\} \cup \{v_{2k-3}\}$$

T.Y.Berger- Wolf<sup>۴</sup>

N.Bertrand<sup>۵</sup>

•  $M_1(P_{2k+1}) = k + 1; k \geq 0$  و کد بهینه آن به صورت زیر است:

$$\{i \text{ زوج است} | v_i\}$$

•  $d^*(P_\infty) = \frac{1}{4}$  و کد شناسایی بهینه آن عبارتست از

$$\{i \in \mathbb{Z} | \text{زوج است}\}$$

مثال‌هایی از کدهای بهینه در  $P_7$  و  $P_8$  در شکل‌های (۳.۲) و (۴.۲) آمده است (رئوس کد سیاه‌رنگند).



شکل (۳.۲): مثالی از کدهای بهینه در  $P_7$



شکل (۴.۲): مثالی از کدهای بهینه در  $P_8$

### ۲-۳-۲ دورها

یک دور با  $n$  رأس که با  $C_n$  نمایش داده می‌شود، دارای مجموعه رئوس  $\{v_0, \dots, v_{n-1}\}$  و مجموعه یال  $\{v_i, v_{(i+1) \bmod n}\}, i \in \{0, \dots, n-1\}$  می‌باشد. اندازه یک کد شناسایی می‌نیم در دورها در قضیه زیر آمده است.

قضیه ۲.۲ (برترند همکاران [۲]): برای دور  $C_n$

•  $M_1(C_4) = 3$  و  $\{v_0, v_1, v_2\}$  کد بهینه آنست و  $M_1(C_{2k}) = k$ ;  $k \geq 3$  که کد بهینه آن

به صورت زیر است

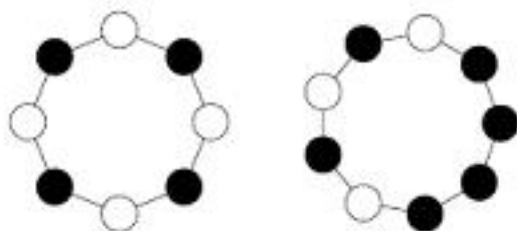
$$\{v_i | i \text{ زوج است}\}$$

•  $M_1(C_3)$  تعریف نمی‌شود (چون  $C_3$  گراف کامل است)،  $M_1(C_5) = 3$  و  $\{v_0, v_1, v_2\}$  کدی

بهینه برای آنست و  $M_1(C_{2k+1}) = k + 2$ ;  $k \geq 3$  که کد بهینه آن عبارتست از

$$\{v_i | i \text{ زوج است}\} \cup \{v_{2k-1}\}$$

مثال‌هایی از کدهای بهینه در  $C_8$  و  $C_9$  در شکل (۵.۲) آمده است که رئوس کد در آن‌ها سیاه‌رنگ است.



شکل (۵.۲): مثال‌هایی از کدهای بهینه در  $C_8$  و  $C_9$

## ۳-۳-۲ گراف‌های مسطح و مسطح خارجی

یک کران پایین برای مینیمم اندازه یک مجموعه غالب مکان‌یاب گراف‌های مسطح و غیرمسطح خارجی در قضیه زیر آمده است.

قضیه ۳.۲ (اسلترورال<sup>۶</sup> [۱۷]): فرض کنید  $G$  یک گراف با  $n$  رأس و  $L$  یک مجموعه غالب مکان‌یاب از  $G$  با اندازه  $k$  باشد. آنگاه

$$\bullet \text{ اگر } G \text{ مسطح و } k \geq 4 \text{ باشد، } n \leq 7k - 10.$$

$$\bullet \text{ اگر } G \text{ مسطح خارجی باشد } n \leq \lfloor \frac{7k-3}{2} \rfloor.$$

چون هر کد شناسایی یک مجموعه غالب مکان‌یاب است، کران‌های پایین قبلی برای کدهای شناسایی نیز برقرار است، کران‌ها را به صورت کران‌های پایین  $M_1(G)$  فرمول‌بندی می‌کنیم:

نتیجه ۱.۲: فرض کنیم  $G$  یک گراف بدون رأس دوقلو با  $n$  رأس باشد:

$$\bullet \text{ اگر } G \text{ مسطح و } M_1(G) \geq 4 \text{ باشد، } M_1(G) \geq \frac{n+10}{7}.$$

$$\bullet \text{ اگر } G \text{ مسطح خارجی باشد } M_1(G) \geq \frac{2n+3}{7}.$$

## ۴-۳-۲ درخت‌ها

در یک درخت با  $n$  رأس، یک کد غالب مکان‌یاب حداقل  $\frac{n}{3}$  رأس دارد. همچنین یک نتیجه مشابه برای کدهای شناسایی داریم.

---

<sup>۶</sup> P.J.slater and D.F.Rall

قضیه ۴.۲ (برترند<sup>۷</sup> و همکارانش ۲۰۰۵ [۳]): برای همه  $n \geq 3$  و همه درخت‌های با  $n$  رأس، یک کد شناسایی حداقل  $\frac{3(n+1)}{7}$  رأس دارد.

اثبات. فرض کنید  $T = (V, E)$  یک درخت با  $n$  رأس و  $C$  یک کد شناسایی در آن باشد.  $E'$  را مجموعه یال‌هایی در نظر بگیرید که هر دو انتهای آن کلمه‌کد است و  $e' = |E'|$ . برای هر  $v \in V$ ،  $f(v) = |\{c \in C : d(v, c) = 1\}|$  و  $C^* = \{c \in C : f(c) = 0\}$  را در نظر بگیرید. مجموع یال‌هایی که یک سر آن کلمه‌کد و سر دیگر آن غیرکد یا هر دو سر آن کلمه‌کد است به صورت زیر می‌باشد:

$$\sum_{v \in V} f(v) \leq |E| + e' \leq n - 1 + e' \quad (1.2)$$

به وضوح

$$\sum_{c \in C \setminus C^*} f(c) = 2e' \quad (2.2)$$

اما حداکثر  $|C \setminus C^*|$ ،  $v$  غیرکلمه‌کد با  $f(v) = 1$  وجود دارد و بنابراین

$$\sum_{v \in V} f(v) \geq 2|V \setminus C| - |C \setminus C^*| + \sum_{c \in C \setminus C^*} f(c) \quad (3.2)$$

از تلفیق (۱.۲) و (۲.۲) و (۳.۲) داریم

$$n - 1 \geq 2n - 3|C| + |C^*| + \frac{1}{7} \sum_{c \in C \setminus C^*} f(c)$$

اکنون مجموع سمت راست را تخمین می‌زنیم. اگر  $F = (C \setminus C^*, E')$  آن‌گاه یک مولفه همبند با  $i$  رأس در  $F$ ،  $2(i-1)$  سهم در مجموع دارد، پس میانگین  $f(c)$  در این مولفه  $\frac{2(i-1)}{i}$  است. چون  $C$  یک کد شناسایی است، اندازه هر مولفه همبند در  $F$  حداقل ۳ است و بنابراین میانگین  $f(c)$  روی

$C \setminus C^*$  روی هم‌رفته حداقل  $\frac{4}{3}$  است. پس بدست می‌آوریم

$$n - 1 \geq 2n - 3|C| + |C^*| + \frac{2}{3}(|C| - |C^*|) \geq 2n - \frac{7}{3}|C|$$

□ و قضیه ثابت می‌شود.

برای مقادیر نامتناهی  $n$ ، یک درخت با  $n$  رأس که یک کد شناسایی از اندازه  $\frac{3(n+1)}{7}$  می‌پذیرد، می‌توانیم بسازیم.

قضیه ۵.۲ ([۳]): اگر  $m \geq 2$ ،  $n = 6 + 7(m - 1)$ ، آن‌گاه یک درخت با  $n$  رأس که یک کد شناسایی  $\frac{3(n+1)}{7} = 3m$  عضوی می‌پذیرد، وجود دارد.

اثبات. نحوه ساختن به صورت زیر است:

ابتدا الگوی (a) در شکل (۶.۲)، سپس الگوی (b) را  $(m - 1)$  مرتبه رسم کرده، هر بار سمت چپ‌ترین رأس الگوی (b) را به سمت راست‌ترین رأس بالایی ساختار قبلی وصل می‌کنیم. این نحوه ساختن به وضوح یک کد شناسایی را نتیجه می‌دهد.

□

قضیه ۶.۲ یک درخت نامتناهی که یک کد شناسایی با تراکم  $\frac{3}{7}$  می‌پذیرد، وجود دارد.

□ اثبات. تعداد نامتناهی بار نحوه ساختن در قضیه ۵.۲ را تکرار می‌کنیم.

۲-۳-۵ درخت کامل  $-q$  تایی

برای  $q \geq 2$ ، درخت کامل  $-q$  تایی به ارتفاع  $h$  را با  $CT_h^q$  نشان می‌دهیم [۳]. این درخت

$$X_h^q = \sum_{1 \leq i \leq h} q^{i-1} = \frac{q^h - 1}{q - 1}$$

رأس دارد که آن‌ها را از ۱ تا  $X_h^q$ ، از چپ به راست و از بالا به پایین شماره‌گذاری می‌کنیم. سطح  $i$  ( $1 \leq i \leq h$ ) شامل  $q^{i-1}$  رأس شماره‌گذاری شده از  $1 + \sum_{1 \leq j \leq i-1} q^{j-1}$  تا  $\sum_{1 \leq j \leq i} q^{j-1}$  می‌باشد. همه رؤس داخلی  $q$  فرزند دارند و رؤسی که در عمق  $h$  قرار دارند برگ نامیده می‌شوند. مقدار دقیق می‌نیم اندازه یک کد شناسایی در درخت کامل در قضیه زیر آمده است.

قضیه ۷.۲ (برترند و همکاران [۳]): در درخت کامل  $CT_h^q$ :

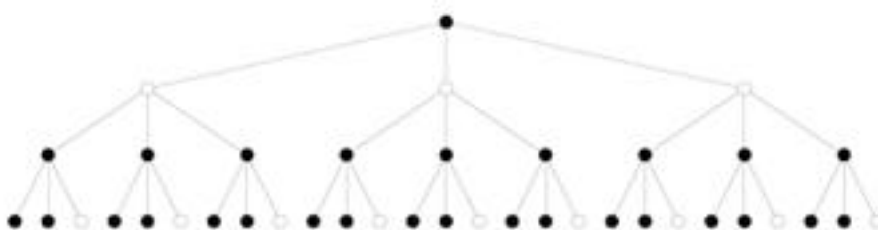
$$M_1(CT_h^2) = \lceil \frac{2 \cdot X_h^2}{3} \rceil \bullet$$

$$\bullet \text{ فرض کنید } q \geq 3 \text{ باشد، داریم } M_1(CT_h^q) = \lceil \frac{q^2 \cdot X_h^q}{q^2 + q + 1} \rceil$$

فرض کنیم سطوح  $CT_h^q$  از ۱ تا  $h$  باشد که سطح ۱ شامل ریشه و سطح  $h$  شامل برگ‌هاست. برای  $q \geq 3$ ، نحوه ساختن یک کد شناسایی بهینه برای  $CT_h^q$  در زیر آمده است:

- اگر  $h \equiv 1 \pmod{3}$ ، ریشه در کد هست.
- برای همه  $i > 1$  اگر  $i \equiv h \pmod{3}$  باشد، هر رأس در سطح  $i - 1$  دقیقاً  $q - 1$  تا از  $q$  فرزندش کد است.
- در همه سطوح  $i$  اگر  $i \equiv h - 1 \pmod{3}$ ، هر رأس کد است.
- در همه سطوح  $i$  اگر  $i \equiv h - 2 \pmod{3}$ ، هیچ رأسی کد نیست.

یک نمونه از کدهای بهینه در درخت کامل  $CT_4^3$  در شکل (۷.۲) آمده است که کلمه‌کدها در آن سیاهرنگند.



شکل (۷.۲): نمونه یک کد بهینه در درخت کامل  $CT_4^3$

## ۴-۲ نتایج ساختاری

یک کران پایین و بالای کلی برای می‌نیمم اندازه یک کد شناسایی وجود دارد.

قضیه ۸.۲ (کارپوسکی و همکاران [۱]): فرض کنید  $G$  یک گراف بدون رأس دوقلو و دارای  $n$  رأس باشد، آن‌گاه:

$$M_1(G) \geq \lceil \log_2(n+1) \rceil$$

قضیه ۹.۲ (شارون<sup>۸</sup> و همکاران [۶]، گراویر و مانسل<sup>۹</sup> [۱۱]): فرض کنید  $G$  یک گراف متنهایی،

همبند و بدون رؤس دوقلو با  $n$  رأس باشد، آن‌گاه  $M_1(G) \leq n-1$ .

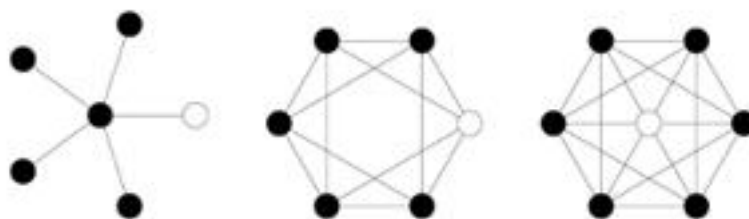
کران بالا دقیق است و گراف‌های بسیاری که این کران را می‌پذیرند وجود دارند، اما با اینحال، مجموعه این گراف‌ها هنوز مشخص نشده‌اند. برای یک  $n$  داده شده، سه گراف داریم که این کران را می‌پذیرند. اولی گراف ستاره،  $K_{1,n-1}$ ، شامل یک رأس مرکزی که به  $n-1$  رأس مستقل دیگر متصل است،

<sup>۸</sup> I. Charon

<sup>۹</sup> S. Gravier and J. Moncel

می‌باشد. برای  $n > 3$ ، به راحتی می‌بینیم که هر مجموعه  $n - 1$  رأسی از  $K_{1, n-1}$  را می‌توان به عنوان یک کد در نظر گرفت. گراف دوم با  $n$  زوج ساخته می‌شود. گراف کامل  $k_n$  را در نظر می‌گیریم و یک جورسازی کامل  $\left(\frac{n}{2}\right)$  یال مستقل از  $E(K_n)$  را حذف می‌کنیم. این گراف را با  $G_n^2$  نمایش می‌دهیم. گراف سوم را با  $n$  فرد می‌سازیم. گراف  $G_{n-1}^2$  را در نظر می‌گیریم، رأس  $v$  را که به همه رئوس دیگر متصل است به آن اضافه می‌کنیم، این گراف را با  $G_n^2$  نمایش می‌دهیم. در  $G_n^2$  همه رئوس به جز  $v$  باید کد باشند.

نمونه‌هایی از این گراف‌ها در شکل (۸.۲) با می‌نیم تعداد کد شناسایی آمده است، که در آن از راست به چپ عبارت از گراف  $G_4^2$ ، گراف  $G_5^2$  و گراف  $K_{1,5}$  می‌باشد.



شکل (۸.۲): نمونه‌هایی از گراف‌های دارای کمترین تعداد کد شناسایی از اندازه  $n - 1$

ثابت شده است که همه مقادیر ممکن  $M_1(G)$  بین کران‌های قضایای ۸.۲ و ۹.۲ قرار می‌گیرد.

## ۲-۵ کاربردها

کدهای شناسایی دارای گستره وسیعی از کاربردها هستند، در اینجا به طور مختصر مهم‌ترین آن‌ها را بیان می‌کنیم.

یک کاربرد آن برای تشخیص خطا در سیستم‌های چندپردازشگری در [۱] آمده است. یک شبکه

از پردازشگرها را که به صورت یک گراف غیرجهت‌دار مدل شده است در نظر بگیرید. برخی از پردازشگرها (که بخشی از کدها هستند) می‌توانند تست کنند که آیا پردازشگر همسایه (یا خودشان) معیوبند، اگر چنین بود آن‌ها وارد یک وضعیت خاص می‌شوند. اگر برخی از پردازشگرهای تست‌کننده خطایی را تشخیص دادند این امکان وجود دارد که پردازشگر معیوب دقیقاً شناسایی شود: این پردازشگر معیوب همانی است که مجموعه شناسایی‌اش با مجموعه پردازشگرهایی که خطا را تشخیص داده‌اند یکی است. در حالتی که شبکه‌ای از هزاران پردازشگر داشته باشیم کمینه‌کردن اندازه مجموعه پردازشگرهای تست‌کننده به شدت مفید است.

کاربرد دیگری از این مسئله در ری<sup>۱۰</sup> و همکاران [۱۵] آمده است که تعمیمی از مجموعه‌های غالب مکان‌یابی است که در کالبرن<sup>۱۱</sup> و همکارانش [۹] و اسلتر [۱۶] آورده شده است. یک وسیله یا یک ساختمان مدل شده با یک گراف را در نظر بگیرید: رئوس معرف نواحی یا اتاق‌ها و یال‌ها نشان‌دهنده اتصالات بین نواحی هستند. یک حسگر در برخی اتاق‌ها نصب می‌شود، حسگرها می‌توانند یک خطر یا تهدید مثل آتش را در همسایگی نزدیک خود تشخیص دهند. هدف می‌نیم کردن تعداد حسگرهای موردنیاز به منظور مکان‌یابی موقعیت خطر احتمالی است. اگر حسگرها سه وضعیتی باشند و بتوانند حالت‌های بدون خطر، خطر در یک اتاق نزدیک و خطر در همان اتاق را تمیز دهند آن‌گاه یک مجموعه غالب مکان‌یاب برای تعیین یکتای مکان خطر کافیهست. اگر حسگرها بتوانند حالت‌های بدون خطر و خطر در همسایگی بسته را تمیز دهند آن‌گاه برای تشخیص مکان خطر به یک کد شناسایی احتیاج است. روش مکان‌یابی خطر از طریق چک کردن مجموعه‌ای از حسگرهاست که در وضعیت اعلام خطر هستند، چون این مجموعه برای هر رأس یکتاست، مکان خطر به روشنی بدست می‌آید.

S.Ray<sup>۱۰</sup>C.J.Colbourn<sup>۱۱</sup>

## فصل ۳

### کران‌های کد برای گراف مشخص

#### ۳-۱ کران وابسته به ماکزیمم درجه گراف

سوالات طبیعی راجع به کدهای شناسایی مسائل حدی هستند: تعیین کران‌های بالا و پایین برای  $M_1(G)$  و مشخص کردن گراف‌هایی که این کران‌ها را دارند. در حالیکه بیشتر این سوالات پیش از این در حالت کلی حل شده‌اند، تقریباً هیچ نتیجه‌ای روی روابط بین این مسأله و ماکزیمم درجه گراف بدست نیامده است. بهر حال، این یک سوال جالب است چون خیلی از گراف‌های معمول نظیر شبکه‌ها، دورها و چنبره‌ها دارای یک درجه بیشینه محدود هستند.

#### ۳-۱-۱ کران پایین وابسته به ماکزیمم درجه گراف

قضیه زیر برای گراف‌های  $\Delta$ -منتظم بیان شده است، اما برای گراف‌های با درجه ماکزیمم  $\Delta$  نیز معتبر است. قضیه را در حالت کدهای ۱- شناسایی بیان و اثبات می‌کنیم.

قضیه ۱.۳ (کارپوسکی و همکاران [۱]): فرض کنید  $G = (V, E)$  یک گراف همبند و غیرجهت‌دار با

$$M_1(G) \geq \frac{2n}{\Delta + 2} \text{ آن گاه } \Delta \text{ باشد.}$$

اثبات. فرض کنید  $C \subseteq V$  یک کد شناسایی  $G$  از اندازه  $k$  باشد.  $V$  را به چهار مجموعه زیر، به صورتی که در شکل (۱.۳) نشان داده شده است، تفکیک می‌کنیم:

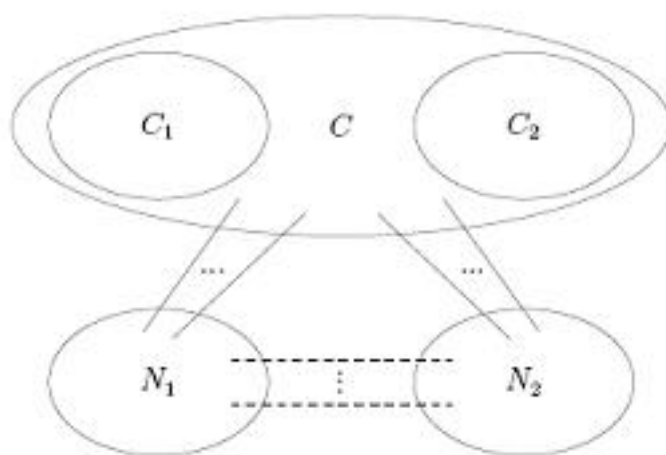
$$C_1 = \{x \in C \mid |I_C(x)| = 1\}, \quad C_2 = \{x \in C \mid |I_C(x)| \geq 2\},$$

$$N_1 = \{v \in V \setminus C \mid |I_C(v)| = 1\}, \quad N_2 = \{v \in V \setminus C \mid |I_C(v)| \geq 2\},$$

به آسانی می‌بینیم که روابط زیر برقرار است:

$$|C_1| + |C_2| = k, \quad (1.3)$$

$$|C_1| + |N_1| \leq k, \quad (2.3)$$



شکل (۱.۳): تفکیک  $V$

فرض کنید  $m$  تعداد یال‌های بین  $C$  و  $V \setminus C = N_1 \cup N_2$  باشد. مشاهدات زیر را می‌سازیم:

- هر رأس  $C_2$  حداقل به یکی دیگر از رؤس  $C_2$  متصل است. به علاوه، این ممکن نیست که دو رأس از  $C_2$  فقط به یکدیگر متصل باشند، در واقع، این دلالت می‌کند که آن‌ها مجموعه شناسایی

مشابه دارند و از هم مجزا نیستند. از این رو، حداقل یکی از آن‌ها باید به رأس دیگری از  $C_2$

وصل باشند، پس بنابراین حداقل  $\frac{3|C_2|}{2}$  یال در  $C_2$  وجود دارد. چون ماکزیمم درجه  $G$  برابر  $\Delta$

$$\text{است، پس } m \leq k \cdot \Delta - \frac{3|C_2|}{2}.$$

• هیچ یالی از هر رأس  $C_1$  به رأس دیگری از  $C$  وجود ندارد.

• حداقل  $2|N_2|$  یال بین  $C$  و  $N_2$  وجود دارد چون هر رأس از  $N_2$  حداقل دو عنصر از  $C$  به صورت

کلمه کد دارد و دقیقاً  $|N_1|$  یال بین  $C$  و  $N_1$  موجود است.

پس داریم  $m \geq |N_1| + 2|N_2|$ ، این نتیجه می‌دهد

$$k \cdot \Delta - \frac{3|C_2|}{2} \geq |N_1| + 2|N_2|,$$

بنابراین

$$k \cdot \Delta \geq \frac{3|C_2|}{2} + |N_1| + 2|N_2|,$$

از (۱.۳) چون داریم  $|C_2| = k - |C_1|$ ، پس

$$k \cdot \Delta \geq k - |C_1| + |N_1| + 2|N_2| + \frac{|C_2|}{2},$$

از (۲.۳) داریم:  $-|C_1| \geq |N_1| - k$ ، پس

$$k \cdot \Delta \geq 2 \cdot (|N_1| + |N_2|) + \frac{|C_2|}{2},$$

$$k \cdot \Delta \geq 2 \cdot (n - k) + \frac{|C_2|}{2},$$

$$k \cdot (\Delta + 2) \geq 2n + \frac{|C_2|}{2} \geq 2n, \quad (3.3)$$

□

بنابراین  $k \geq \frac{2n}{\Delta + 2}$

## ۳-۱-۲ کران بالای وابسته به ماکزیمم درجه گراف

در یک گراف با  $n$  رأس، کران بالای یک کد شناسایی  $n - 1$  است. این کران دقیق است و گراف‌های متعددی وجود دارند که این کران‌ها را می‌پذیرند (قضیه ۹.۲، [۶] و [۱۱] را ببینید). با اینحال همه این چنین گراف‌هایی دارای ماکزیمم درجه ( $n - 2$  یا  $n - 1$ ) هستند. این ما را به ساختن این فرض که گراف‌های دارای ماکزیمم درجه  $\Delta$ ، یک کد شناسایی از اندازه حداکثر  $n - \frac{n}{f(\Delta)}$  دارند، که  $f$  یک چندجمله‌ای از  $\Delta$  است، سوق می‌دهد. به‌طور شهودی، اگر در گراف  $G$  با  $C = V(G)$  به عنوان یک کد شناسایی از  $G$  شروع کنیم، حذف کردن رأس  $v$  از  $C$  تنها روی شناسایی رؤسی که از  $v$  خیلی دور نیستند اثر می‌گذارد و این به ما اجازه می‌دهد رؤس دیگری که به اندازه کافی از  $v$  دور هستند را جدا کنیم. در حقیقت هیچ گراف شناخته‌شده‌ای که کمترین تعداد کد شناسایی آن بزرگتر از  $n - \frac{n}{\Delta}$  باشد وجود ندارد و این حدس زیر را در پی دارد که در آن  $f(\Delta) = \Delta$ .

حدس ۱.۳: فرض کنید  $G = (V, E)$  یک گراف همبند، بدون رأس دوقلو، دارای  $n$  رأس با ماکزیمم درجه  $\Delta$  باشد. آنگاه یک کد شناسایی  $C$  از  $G$  به صورت زیر موجود است

$$|C| \leq n - \frac{n}{\Delta},$$

حدس بالا را نمی‌توان اثبات کرد.

یک کران پایین کلی برای اندازه یک کد شناسایی در گراف بدون رأس دوقلو با  $n$  رأس وجود دارد. در واقع، یک گراف با یک کد شناسایی از اندازه  $k$  را در نظر می‌گیریم. می‌توان دید که مجموعه‌های شناسایی رؤس به صورت عبارات دودویی از اندازه‌ی  $k$  است. تعداد مجزا و ناتهی عبارت که با  $k$  بیت می‌تواند کدگذاری شود، دقیقاً  $2^k - 1$  می‌باشد.

فرض کنید  $M_t(G)$  کمترین تعداد کلمه‌کد لازم برای شناسایی کردن هر رأس به‌طور منحصربه‌فرد،

وقتی که یک گوی به شعاع  $t$  به کار می‌بریم، باشد. ابتدا برخی حدود پایینی روی  $M_t(G)$  را بدست می‌آوریم.

قضیه ۲.۳ برای یک گراف با  $n$  رأس

$$M_t(G) \geq \lceil \log_2(n+1) \rceil \quad (۱)$$

(۲) فرض کنید  $K$  کوچکترین عدد صحیح و  $V_i(t)$  حجم گوی به شعاع  $t$  و مرکز  $v_i$  باشد که برای

یک  $l$  خاص ( $1 \leq l \leq \min(K, V_1(t))$ ) در شرایطی که در زیر آمده صادق است:

$$n \leq \sum_{j=1}^{l-1} \binom{K}{j} + \lfloor \frac{1}{l} (\sum_{i=1}^K V_i(t) - \sum_{j=1}^{l-1} j \binom{K}{j}) \rfloor, \quad (۴.۳)$$

$$\sum_{j=1}^{l-1} j \binom{K}{j} < \sum_{i=1}^K V_i(t) \leq \sum_{j=1}^l j \binom{K}{j}, \quad (۵.۳)$$

آنگاه  $M_t(G) \geq K$ .

اثبات. کران قسمت اول از این حقیقت نتیجه می‌شود که  $n+1$  حالت وجود دارد ( $n$  رأس متفاوت و انتخاب هیچ رأس، یعنی رأسی شناسایی نمی‌شود). بنابراین اطلاعات می‌تواند در  $\lceil \log_2(n+1) \rceil$  بیت به رمز نوشته شود. (کد  $k$  بیتی،  $2^k$  موقعیت را مشخص می‌کند، پس اگر از موقعیت‌ها در مبنای ۲ لگاریتم بگیریم  $k$  را بدست می‌آوریم، اما پس از گرفتن لگاریتم، سقف جزء صحیح را در نظر می‌گیریم، زیرا به عنوان مثال اگر کد چهار بیتی داشته باشیم به دو عدد ۰ و ۱ نیاز داریم ولی اگر کد، پنج، شش، هفت یا هشت بیتی باشد به سه عدد ۰ و ۱ نیاز داریم). برای اثبات قسمت دوم به [۱] مراجعه کنید. □

قضیه ۳.۳ اندازه یک کد شناسایی برای یک گراف منتظم با  $n$  رأس با

$$M_t(G) \geq \frac{2n}{V(t)+1}, \quad (۶.۳)$$

از پایین کراندار است، که  $V(t)$  حجم گوی به شعاع  $t$  یعنی تعداد رئوسی که به فاصله حداکثر  $t$  از هر رأس  $V$  است، می‌باشد.

اثبات. یک ماتریس دودوئی با  $M_t(G)$  سطر و  $n$  ستون در نظر بگیرید. اگر رأس  $i$  رأس  $j$  را بپوشاند آنگاه درایه  $x_{ij}$  در این ماتریس برابر ۱ است. تعداد یک‌ها در ماتریس برابر  $M_t(G) \cdot V(t)$  است. تعریف  $M_t(G)$  ایجاب می‌کند که بیشترین تعداد ستون‌ها با یک درایه ۱ برابر  $M_t(G)$  باشد، پس  $M_t(G) \cdot V(t) - M_t(G)$  درایه ۱ دیگر در ماتریس وجود دارد، در نتیجه ستون‌های باقیمانده حداقل دو درایه ۱ دارند. پس

$$M_t(G) + \frac{M_t(G) \cdot V(t) - M_t(G)}{2} \geq n,$$

و این نتیجه می‌دهد

$$M_t(G) \geq \frac{2n}{V(t) + 1}.$$

□

حال برخی توپولوژی‌های خاص گراف را بررسی می‌کنیم.

### ۲-۳ مکعب‌های دودوئی

حالت مکعب‌های دودوئی  $n$  بعدی،  $H_n$ ، یکی از موارد جالب توجه در تئوری کد است و در [۱] مطالعه شده است. ابتدا مجموعه رئوس و یال‌های  $H_n$  را تعریف می‌کنیم.

$$E(H_n) = \{ \{\alpha, \alpha(i) \mid i \in \{0, \dots, n-1\}, \alpha \in \{0, 1\}^n \}, \quad V(H_n) = \{0, 1\}^n.$$

که برای  $\alpha = \alpha_0 \alpha_1 \dots \alpha_{n-1} \in \{0, 1\}^n$  و  $i \in \{0, \dots, n-1\}$  داریم  $\alpha(i) = \alpha_0 \alpha_1 \dots \bar{\alpha}_i \dots \alpha_{n-1}$  (نامین بیت  $\alpha$  عوض می‌شود). برای مثال، ابر مکعب ۳ بعدی  $H_3$ ، در شکل زیر نشان داده شده است.



شکل (۲.۳)

ابتدا چند تعریف را که در این بخش به آن‌ها نیاز داریم بیان می‌کنیم.

تعریف ۱.۳ در تئوری اطلاعات، فاصله همینگ<sup>۱</sup> بین دو رشته با طول‌های مساوی، برابر تعداد مکان‌های متناظری است که دو رشته در آن با هم تفاوت دارند. به عبارت دیگر، فاصله همینگ کمترین تعداد جایگزینی‌های لازم برای تبدیل یکی از رشته‌ها به دیگری، و یا تعداد خطاهایی که در انتقال یکی از رشته‌ها به دیگری رخ داده است را اندازه می‌گیرد.

مثال ۱.۳ فاصله همینگ بین

• *toned* و *roses* برابر ۳ است.

• ۱۰۱۱۱۰۱ و ۱۰۰۱۰۰۱ برابر ۲ است.

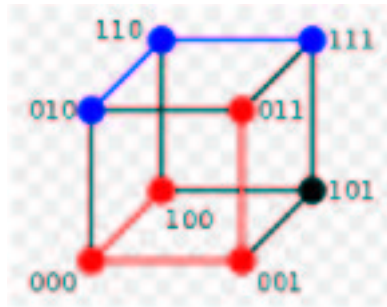
• ۲۱۷۳۸۹۶ و ۲۲۳۳۷۹۶ برابر ۳ است.

---

<sup>۱</sup>Hamming distance

دارای فاصله همینگ ۳ است (مسیر قرمز)  $100 \rightarrow 011$

دارای فاصله همینگ ۲ است (مسیر آبی)  $010 \rightarrow 110$



(شکل ۳.۳)

برای رشته‌های دودویی  $a$  و  $b$  فاصله همینگ برابر تعداد یک‌ها در  $a \text{ XOR } b$  می‌باشد. فضای

همینگ مجموعه همه رشته‌های دودویی به طول  $N$  است.

تعریف ۲.۳ یک  $(n, k, 2l + 1)$ -کد دودویی کامل است اگر  $\sum_{i=1}^l \binom{k}{i} = 2^{n-k}$

تعریف ۳.۳ یک کد پوششی بهینه آنست که کمترین تعداد کلمه‌کدها را دارد.

فرض کنید  $M_t(H_n)$  مینیمم تعداد کلمه‌کد مورد نیاز برای شناسایی رئوس در یک مکعب دودویی

$n$  بعدی با استفاده از گوی‌های به شعاع  $t$  باشد. ابتدا حالت  $t = 1$  را در نظر می‌گیریم. اندازه دقیق

$M_1(H_n)$  هنوز تعیین نشده است، اما طبق قضایای زیر کران‌های بالا و پایینی آن موجود است.

قضیه ۴.۳ برای یک مکعب دودویی  $n$  بعدی،  $n \geq 3$  داریم

$$M_1(H_n) \geq \frac{n \cdot 2^n}{V(2)} = \frac{n \cdot 2^{n+1}}{n(n+1) + 2} \quad (7.3)$$

که در آن  $V(2) = 1 + n + \binom{n}{2}$ ، حجم گوی به شعاع ۲ در فضای همینگ،  $Z^n$  است.

کران پایین (۷.۳) وقتی بدست می‌آید که یک پوشش کامل برای مکعب  $n$  بعدی با گوی‌های به شعاع دو موجود باشد، یعنی یک کد کامل با فاصله ۵. تنها چنین حالتی برای  $n = 5$  موجود است.

مثال ۲.۳ یک مکعب دودویی ۵ بعدی در نظر بگیرید. بهترین کد با شعاع پوششی ۲،  $C^* = \{00000, 11111\}$  می‌باشد. بنابراین همه رئوس به وزن ۱ و ۴، یعنی مجموعه  $\{10000, \dots, 11110\}$  با ۱۰ کلمه کد می‌تواند به عنوان کد شناسایی،  $C$ ، انتخاب شود. کران پایین بدست آمده از (۶.۳) برابر است با  $M_1(H_5) = \frac{64}{7}$ ، یعنی  $M_1(H_5) \geq 10$ . بنابراین تعداد کلمه‌کدهای کد شناسایی در این مثال مینیمال بوده و  $M_1(H_5) = 10$  که این تعداد با (۷.۳) نیز بدست می‌آید.

فرض کنید  $K(n, q)$  اندازه یک کد بهینه  $C^*$  به طول  $n$  با شعاع پوششی  $q$  باشد، یعنی هر رأس در فاصله همینگ حداکثر  $q$  از یک کلمه کد  $C^*$  است (برای اطلاعات بیشتر به کوهن<sup>۲</sup> و همکاران [۲۰]، کوهن و همکاران [۲۱]، هنکالا<sup>۳</sup> [۲۳] و استرگارد<sup>۴</sup> [۴۱] مراجعه کنید). یک کران بالا روی  $M_1(H_n)$  از قضیه زیر نتیجه می‌شود.

قضیه ۵.۳ فرض کنید  $C^*$  یک کد دودویی بهینه به طول  $n$  و شعاع پوششی ۲ باشد یعنی  $C^*$ ،  $K(n, 2)$  کلمه کد دارد. آنگاه برای  $t = 1$  یک کد  $C$  که رئوس را در مکعب دودویی  $n$  بعدی شناسایی می‌کند می‌تواند به صورت  $C = \{w \mid \exists v \in C^*, d(v, w) = 1\}$  انتخاب شود ( $d(v, w)$  فاصله همینگ بین  $v$  و  $w$  است).

---

<sup>۲</sup> G.D.Cohen

<sup>۳</sup> I.S.Honkala

<sup>۴</sup> P.R.J.österqard

اثبات. نشان می‌دهیم که هر رأس در ابرمکعب  $H_n$  به وسیله یک مجموعه منحصر به فرد از کلمه‌کدها پوشیده می‌شود.

حالت ۱: فرض کنید  $v \in C^*$ ، هر همسایه  $v$  به  $C$  متعلق است و بنابراین  $v$  را می‌پوشاند. باید ثابت کنیم که هیچ رأس  $v'$ ی که به وسیله مجموعه مشابهی از رؤوس پوشیده می‌شود وجود ندارد. فرض کنید  $v = (v_1, v_2, \dots, v_n)$  باشد. کلمه‌کدهای پوششی  $v$  عبارتند از

$$(\bar{v}_1, v_2, \dots, v_n), (v_1, \bar{v}_2, \dots, v_n), \dots, (v_1, v_2, \dots, \bar{v}_n)$$

که در آن  $v_i \in \{0, 1\}$  و  $\bar{v}_i = 1 - v_i$  می‌باشد. به وضوح  $v$  تنها رأسی است که یک همسایگی از همه این کلمه‌کدهاست.

حالت ۲: فرض کنید  $v \in C$  و  $v \notin C^*$  باشد.  $v$  توسط خودش و هر همسایه  $v' \in C$  پوشیده می‌شود. نشان می‌دهیم که  $v'' \in C$  وجود دارد چنان‌که  $d(v, v'') = 1$  ولی  $d(v', v'') > 1$  می‌باشد. توجه کنید که چون در  $H_n$  هیچ مثلثی وجود ندارد، رأس  $u$  چنان‌که  $d(u, v) = d(u, v') = 1$  باشد، موجود نیست. از اینرو باید فقط وجود  $v''$  برای هر  $v$  را ثابت کنیم. فرض کنید  $x \in C^*$  مجاور  $v'$  باشد، از آنجا که  $d(v, x) = 2$ ، دقیقاً دو رأس وجود دارد که به فاصله یک از هر دو  $x$  و  $v$  است، یکی از این رؤوس  $v'$  و دیگری  $v''$  است.

حالت ۳: فرض کنید  $v \notin C$  و  $v \notin C^*$ ، همچنین فرض کنید  $v$  توسط  $l$  کلمه‌کد در  $C$  ( $l > 2$ ) پوشیده می‌شود. بدون اینکه از کلیت مسأله کم شود فرض کنید  $v = (0, 0, \dots, 0)$ ، کلمه‌کدهایی که  $v$  را می‌پوشانند عبارتند از

$$(1, 0, \dots, 0), (0, 1, 0, \dots, 0), \dots, (\underbrace{0, 0, \dots, 0}_l, 1, 0, \dots, 0)$$

روشن است که هیچ رأس دیگری به جز  $v$  وجود ندارد که از همه این کلمه‌کدها به فاصله یک باشد. از اینرو  $v$  به طور یکتا شناخته می‌شود. حال فرض کنید  $l = 1$  باشد. بدون ازدست‌دادن کلیت مسأله فرض می‌کنیم  $v = (0, 0, \dots, 0)$  و تنها کلمه‌کد  $v'$  که  $v$  را می‌پوشاند  $(1, 0, \dots, 0)$  باشد. باید حداقل یک رأس  $w$  در کد پوششی  $C^*$  موجود باشد چنانکه  $d(w, v') = 1$  باشد، بنابراین

$$w \in \{(1, 1, 0, \dots, 0), (1, 0, 1, 0, \dots, 0), \dots, (1, 0, 0, \dots, 0, 1)\}$$

اکنون به راحتی دیده می‌شود که هر رأس در مجموعه بالا کلمه‌کدهایی به  $C$  می‌دهد که  $v$  را می‌پوشانند که این با فرض  $l = 1$  در تناقض است. سرانجام فرض کنید  $l = 2$  باشد. دو کلمه‌کد که  $v$  را می‌پوشانند،  $(1, 0, \dots, 0)$  و  $(0, 1, 0, \dots, 0)$  را در نظر بگیرید. حال  $w = (1, 1, 0, \dots, 0)$  تنها رأس غیر از  $v$  است که به فاصله یک از هر دوی این کلمه‌کدهاست. اگر  $w \in C^*$  باشد آنگاه  $w$  به طور یکتا شناسایی می‌شود. اگر  $w \notin C^*$ ، آنگاه  $w^* \in C^*$  وجود دارد که  $(1, 0, \dots, 0)$  را به عنوان یک کلمه‌کد از  $C$  مشخص می‌کند. یکبار دیگر، بدون نقصان در کلیت  $w^* = (1, 0, 1, 0, \dots, 0)$  را در نظر بگیرید. آنگاه  $(0, 0, 1, 0, \dots, 0) \in C$ ، که با فرض  $l = 2$  در تناقض است. از اینرو  $w \in C^*$  و  $v$  به طور یکتا شناسایی می‌شود.  $\square$

نتیجه ۱.۳ : تعداد کلمه‌کدها در یک کد شناسایی بهینه با  $t = 1$  برای یک مکعب  $n$ -بعدی ( $n \geq 3$ ) از بالا کراندار است با

$$M_1(H_n) \leq nK(n, 2). \quad (۱.۳)$$

مقدار دقیق برای  $n$  کوچک و نیز کران‌ها روی  $K(n, 2)$  در مرجع کوهن و همکاران [۷] قابل دسترسی می‌باشد. به صورت خاص

$$K(n, 2) \leq K(\lfloor \frac{n}{2} \rfloor, 1)K(\lceil \frac{n}{2} \rceil, 1). \quad (9.3)$$

با استفاده از (۷.۳) و (۹.۳) می‌توان بدست آورد

$$\frac{n \cdot 2^n}{V(2)} \leq M_1(H_n) \leq nK(\lfloor \frac{n}{2} \rfloor, 1)K(\lceil \frac{n}{2} \rceil, 1).$$

برای مثال اگر  $m = 2^s - 1$  باشد آنگاه  $K(m, 1) = \frac{2^m}{m+1}$ . بنابراین برای  $n = 2^s - 2$  داریم

$$\frac{n \cdot 2^{n+1}}{n(n+1)+2} \leq M_1(H_n) \leq \frac{n \cdot 2^{n+2}}{(n+2)^2}.$$

$r_n$  نسبت کران بالا به کران پایین وقتی  $n \rightarrow \infty$  عبارت است از

$$\lim_{n \rightarrow \infty} r_n = \lim_{n \rightarrow \infty} \frac{2(n^2 + n + 2)}{(n+2)^2} = 2.$$

راه حل دیگر برای مسئله ساختن کد شناسایی برای یک مکعب دودویی  $n$ -بعدی به وسیله انتخاب کلمه‌کدهای جداگانه برای مکعب‌های  $(n-1)$ -بعدی بدست می‌آید. این یک نوع دیدگاه "divide and conquer" است که  $M_1(H_n) \leq 2M_1(H_{n-1})$  را ایجاب می‌کند و اغلب برای  $n$  کوچک نتایج بهتری از روش‌های ساختنی با استفاده از  $K(n, 2)$  ارائه می‌دهد. جدول زیر تعداد کلمه‌کدهای موردنیاز برای شناسایی رئوس در مکعب‌های دودویی را نشان می‌دهد، که در آن علامت \* کران پایین بدست آمده به وسیله ساختار را نشان می‌دهد.

$n$	کران پایین روی $M_1$	$M_1(n)$ (با استفاده از $K(n, 2)$ )	$M_1(n)$ (divide and conquer)
۳	۴*	۶	—
۴	۶*	۸	—
۵	۱۰	۱۰	—
۶	۱۶	۲۴	۲۰
۷	۲۹	۴۴	۴۰
۱۰	۱۷۷	۳۰۰	۳۲۰
۱۶	۷۲۸۲	۱۴۳۳۶	۲۰۴۸۰

جدول ۱-۳

توجه کنید که برای  $n = 3$  و  $n = 4$ ، کران پایین روی  $M_1(H_n)$  را با استفاده از روش‌های ساختنی ad hoc (تک منظوره) بدست می‌آوریم.

ساختار قضیه (۵.۳) می‌تواند برای  $t > 1$  تعمیم یابد. اکنون یک  $C^*$  بهینه با شعاع پوششی  $2t$  می‌سازیم، تعداد کلمه‌کدها در  $C^*$ ،  $K(n, 2t)$  می‌باشد. کد شناسایی  $C$  به وسیله انتخاب رئوس که به فاصله دقیقاً  $t$  از رئوس  $C^*$  هستند، ایجاد می‌شود.

قضیه ۶.۳ برای هر  $t < \frac{n}{3}$  یک کد  $C$  برای شناسایی رئوس در مکعب دودویی  $n$  بعدی ( $n > 2$ ) را بوسیله انتخاب کلمه‌کدهای همه رئوس در فاصله دقیقاً  $t$  از کلمه‌کدهای یک کد بهینه  $C^*$  به شعاع پوششی  $2t$  می‌توان بدست آورد. یعنی

$$C = \{x | \exists u \in C^*, d(x, u) = t\}.$$

اثبات. ابتدا مشاهدات را به شرح ذیل می‌سازیم:

اگر رئوس  $v_1$  و  $v_2$  چنان باشند که حداقل یک گوی به مرکز یک رأس در  $C^*$  موجود باشد به گونه‌ای که  $v_1(v_2)$  به آن تعلق داشته باشد اما  $v_2(v_1)$  متعلق به آن نباشد آنگاه  $v_1$  و  $v_2$  می‌توانند با بکار بردن کلمه‌کدهایی از  $C$  تمیز داده شوند. بنابراین تنها لازم است ثابت کنیم که هر دو رأس می‌توانند

تشخیص داده شوند اگر به گوی مشابه به شعاع  $2t$  و به مرکز یک رأس  $u \in C^*$  تعلق داشته باشند. بدون کاسته شدن از کلیت مسأله فرض می‌کنیم  $u = (\underbrace{0, 0, \dots, 0}_n)$  باشد. همه رؤوس به وزن  $t$  متعلق به  $C$  هستند و به صورت کلمه‌کد برای شناسایی کردن یک رأس به کار می‌روند. دو رأس  $v_1$  و  $v_2$  را در نظر می‌گیریم که در یک گوی به مرکز  $u$  هستند. نشان می‌دهیم همواره می‌توانیم یک کلمه‌کد  $x \in C$  بیابیم که یکی از آن‌ها را می‌پوشاند اما دیگری را نمی‌پوشاند.  $z = x \cdot y$  را به صورت یک بردار با مؤلفه‌های  $z_i = x_i y_i$  تعریف می‌کنیم، بعلاوه اگر  $x \cdot y = y$  باشد آنگاه  $y \leq x$  است و همچنین  $\bar{y}$  را قرینه مؤلفه به مؤلفه  $y$  در نظر می‌گیریم. فرض می‌کنیم  $w(v_1) = l_1$  و  $w(v_2) = l_2$  که  $w(v)$  وزن  $v$  است. بدون کاستن از کلیت مسأله فرض می‌کنیم  $l_1 \leq l_2$  باشد، برای اینکه این رابطه برقرار باشد باید  $l_2 \geq 1$  باشد، زیرا در غیراین صورت هر دوی  $v_1$  و  $v_2$  یک رأس مشابه  $(0, 0, \dots, 0)$  خواهند بود. سه حالت در نظر می‌گیریم:

(۱) اگر  $w(v_1 \cdot \bar{v}_2) \geq t$ ،  $x \in C$  را چنان انتخاب می‌کنیم که  $x \leq v_1 \cdot \bar{v}_2$ ، در این صورت

$$d(x, v_2) = t + l_2 > t \text{ و } d(x, v_1) = l_1 - t \leq t$$

(۲) اگر  $w(v_1 \cdot \bar{v}_2) = l_3 < t$ ، توجه کنید که اگر  $l_3 = 0$  آنگاه  $l_2 > l_1$  می‌شود، در غیراین صورت

$v_1$  و  $v_2$  همانند هستند. فرض کنید حداقل یکی از دو شرط برآورده شود یعنی یا  $l_3 > 0$  یا  $l_1$

زوج باشد.  $x \in C$  را چنان انتخاب می‌کنیم که

$$v_1 \cdot \bar{v}_2 \leq x, \quad w(x \cdot v_1 \cdot v_2) = \max\{0, \lceil \frac{l_1}{4} \rceil - l_3\}$$

و

$$w(x \cdot \bar{v}_1 \cdot \bar{v}_2) = \min\{n - l_2 - l_3, t - \lceil \frac{l_1}{4} \rceil\} = l_4$$

آنگاه

$$w(x \cdot v_1) = \lceil \frac{l_1}{4} \rceil, \quad d(x, v_1) = t + l_1 - 2 \lceil \frac{l_1}{4} \rceil \leq t$$

از طرف دیگر

$$d(x, v_2) = t + l_2 - 2(t - l_3 - l_4) > t.$$

بنابراین در هر دو حالت، کلمه کد  $x$ ،  $v_1$  را می پوشاند اما  $v_2$  را نمی پوشاند.

(۳) اگر  $w(v_1 \cdot \bar{v}_2) = 0$  و  $l_1$  فرد باشد پس  $v_1 \leq v_2$  و حداقل یکی از دو شرط برقرار

است، یعنی یا  $l_1$  فرد است یا  $2 \leq l_2 - l_1$ .  $x \in C$  را چنان انتخاب می کنیم که

$$d(x, v_2) = t + l_2 - 2 \lceil \frac{l_2}{2} \rceil \leq t \text{ آنگاه } w(x \cdot v_1) = \max\{0, \lceil \frac{l_2}{2} \rceil - l_2 + l_1\} \text{ و } w(x \cdot v_2) = \lceil \frac{l_2}{2} \rceil$$

$$\text{و } d(x, v_1) = t + l_1 - 2 \max\{0, \lceil \frac{l_2}{2} \rceil - l_2 + l_1\} \geq t$$

می پوشاند اما  $v_1$  را نمی پوشاند.

□

نتیجه ۲.۳: برای  $t < \frac{n}{2}$ ، تعداد کلمه کدهای لازم برای شناسایی رئوس در یک مکعب دودوئی از

بالا بوسیله

$$M_t(H_n) \leq K(n, 2t) \binom{n}{t},$$

کراندار است.

حال نسبت کران بالا به کران پایین روی تعداد کلمه کدها،  $M_t(H_n)$ ، وقتی  $\frac{n}{2t}$  یک عدد صحیح

است، را بدست می آوریم. از (۶.۳) و نتیجه (۲.۳) می دانیم که

$$\frac{2^{n+1}}{V(t) + 1} \leq M_t(H_n) \leq \binom{n}{t} K(n, 2t)$$

از آنجا که  $K(n_1 + n_2, t_1 + t_2) \leq K(n_1, t_1) K(n_2, t_2)$ ، رابطه زیر برقرار است:

$$\frac{2^{n+1}}{1 + \sum_{i=0}^t \binom{n}{i}} \leq M_t(H_n) \leq \binom{n}{t} \left( K\left(\frac{n}{2t}, 1\right) \right)^{2t}$$

با بکار بردن کران بالای معروف زیر روی  $K(q, 1)$  (مرجع [۷] را ببینید)،

$$K(q, 1) \leq \frac{2^q}{2^{\lfloor \log_2(q+1) \rfloor}},$$

نتیجه می‌گیریم

$$\frac{2^{n+1}}{1 + \sum_{i=0}^t \binom{n}{i}} \leq M_n(t) \leq \binom{n}{t} \frac{2^n}{2^{2t \lfloor \log_2(\frac{n}{t}+1) \rfloor}},$$

زمانی که  $n \rightarrow \infty$  و  $\frac{t}{n} \rightarrow 0$  می‌توانیم  $\binom{n}{t}$  را به صورت  $V(t) = \sum_{i=0}^t \binom{n}{i}$  در نظر بگیریم. اگر  $2^s + 1 = \frac{n}{t}$  باشد، آنگاه با بکار بردن  $V(t) = \sum_{i=0}^t \binom{n}{i} \sim \frac{n^t}{t!}$  برای زمانی که  $n$  به سمت  $\infty$  میل می‌کند و برای ثابت  $t$  بدست می‌آوریم (می‌دانیم  $a(n) \sim b(n)$ ، اگر و تنها اگر  $\lim_{n \rightarrow \infty} \frac{a(n)}{b(n)} = 1$ )

$$\frac{2^{n+1}}{1 + \frac{n^t}{t!}} \leq M_t(H_n) \lesssim \frac{n^t}{t!} \left( \frac{2t \cdot 2^{\frac{n}{t}}}{n} \right)^{2t}$$

$$2^{n+1} t! n^{-t} \lesssim M_t(H_n) \lesssim (2t)^{2t} 2^n n^{-t} (t!)^{-1}$$

در نتیجه نسبت  $r_\infty$  از کران بالا به کران پایین (وقتی  $n$  به سمت  $\infty$  میل می‌کند)، به صورت زیر

بدست می‌آید

$$r_\infty = 2^{2t-1} t^{2t} (t!)^{-2}$$

برای  $t = 1$  مانند آنچه قبلاً بدست آوردیم،  $r_\infty = 2$  و برای  $t = 2$ ،  $r_\infty = 32$  می‌شود.

برای حالت خاص  $s \geq 1$  و  $n = (2s + 1)t$ ، نتیجه زیر را داریم که از این حقیقت تبعیت می‌کند که

$$K(r(2s + 1), rs) \leq (K(2s + 1, s))^r = 2^r,$$

نتیجه ۳.۳ : تعداد کلمه‌کدهای مورد نیاز برای یک مکعب دودویی با بعد  $(4s+1)t$  با بکار بردن گوی‌های به شعاع  $st$  از بالا به صورت زیر کراندار است

$$M_{st}(H_{(4s+1)t}) \leq \binom{(4s+1)t}{st} 2^t.$$

در حالت خاص برای  $s=1$ ، داریم  $M_t(H_{5t}) \leq \binom{5t}{t} 2^t$  و برای  $s=2$  داریم  $M_{2t}(H_{9t}) \leq \binom{9t}{2t} 2^t$ .

جدول (۲.۳) کران‌های بالا و پایین روی  $M_2(H_n)$  را نشان می‌دهد. برای کران‌های پایین وقتی  $n > 9$  فرمول (۶.۳) را بکار می‌بریم، چون برای این حالات  $V(2) \leq \sqrt{4n}$  و (۶.۳) با کران داده شده از قضیه (۲.۳) (قسمت ۲) منطبق است. برای  $n \leq 9$ ، قضیه (۲.۳) (قسمت ۲) را به طور مستقیم به کار می‌بریم و کران‌های دقیق‌تر از آنچه (۶.۳) نتیجه می‌دهد، بدست می‌آوریم. برای  $n \leq 4$ ، شعاع پوششی نمی‌تواند با  $t=2$  بکار رود. ستون آخر جدول (۲.۳) بر اساس نتیجه زیر که بعداً ثابت می‌کنیم، می‌باشد (نتیجه (۷.۳)).

$$M_2(H_n) \leq M_1(H_{\lfloor \frac{n}{2} \rfloor}) \cdot M_1(H_{\lceil \frac{n}{2} \rceil}). \quad (10.3)$$

به طور شهودی ممکن است انتظار رود که تعداد کلمه‌کدهای مورد نیاز برای شناسایی رئوس هنگامیکه  $t$  افزایش می‌یابد، کاهش یابد اما این موضوع لزوماً برقرار نیست. مثلاً  $M_2(2) = 7$ ، اما  $M_2(1) = 4$ .

جدول زیر کران‌ها روی تعداد کلمه‌کدها در یک کد شناسایی با  $t=2$  برای یک مکعب دودویی  $n$  بعدی را نشان می‌دهد، که در آن علامت  $\uparrow$  کران پایین از قضیه (۲.۳) و  $\downarrow$  کران پایین از فرمول (۶.۳) را نشان می‌دهد.

$n$	$V(\mathcal{Y})$	کران پایین روی $M_7(H_n)$	کران بالا روی $K(n, 4)$	کران بالا روی $M_7(H_n)$ با استفاده از $K(n, 4)$	کران بالا روی $M_7(H_n)$ با استفاده از فرمول (۱۰.۳)
۴	۱۱	$5^\uparrow$	۱	—	۹
۵	۱۶	$6^\uparrow$	۲	—	۱۲
۶	۲۲	$8^\uparrow$	۲	—	۱۶
۸	۳۷	$17^\uparrow$	۲	۵۶	۳۶
۹	۴۶	$26^\uparrow$	۲	۷۲	۸۰
۱۲	۷۹	$104^\ddagger$	۱۲	۷۹۲	۴۰۰
۱۶	۱۳۷	$950^\ddagger$	۶۴	۷۶۸۰	۶۴۰۰
۲۰	۲۱۱	$9893^\ddagger$	۵۱۲	۹۷۲۲۰	۹۰۰۰۰

جدول ۳-۲

حال کدهای شناسایی برخی گراف‌های خاص مرتبط با مکعب‌های دودویی را بررسی می‌کنیم. کدهای شناسایی در مکعب‌های  $n$  بعدی،  $H_n$ ، مطالعه شده است، اما  $M_1(H_n)$  شناخته نشده است. ما این مسأله را در دو خانواده مرتبط با مکعب‌ها بررسی می‌کنیم:

گراف مکعبی-همبند-دوری و گراف پروانه‌ای.

### ۳-۲-۱ گراف مکعبی-همبند-دوری

گراف مکعبی-همبند-دوری  $n$  بعدی که با  $CCC_n$  نمایش داده می‌شود یک نوع گراف ابرمکعبی  $n$  بعدی است و در سال ۱۹۸۱ برای استفاده در محاسبات موازی توسط پیراراتا و ویلمین<sup>۵</sup> [۱۴] معرفی شده است (برای جزئیات بیشتر به رومر<sup>۶</sup> [۱۰] یا هرمکویک<sup>۷</sup> و همکاران [۱۳] مراجعه کنید).  $CCC_n$  یک ابرمکعب  $H_n$  است که رئوس آن با یک دور  $C_n$  جایگزین شده است.

$$V(CCC_n) = \{0, \dots, n-1\} \times \{0, 1\}^n,$$

$$E(CCC_n) = \{(i, \alpha), ((i+1) \bmod n, \alpha)\} \mid i \in \{0, \dots, n-1\}, \alpha \in \{0, 1\}^n\}$$

---

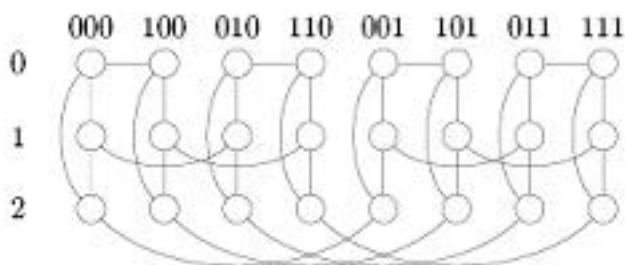
F.P.Preparata and J.Vuillemin<sup>۵</sup>

J.de Rumeur<sup>۶</sup>

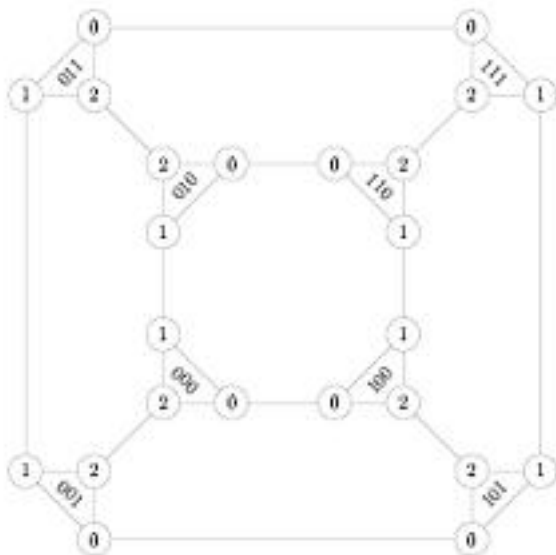
J.Hromkovic<sup>۷</sup>

$$U \{ \{(i, \alpha), (i, \alpha(i))\} \mid i \in \{0, \dots, n-1\}, \alpha \in \{0, 1\}^n \}.$$

که برای  $\alpha = \alpha_0 \alpha_1 \dots \alpha_{n-1} \in \{0, 1\}^n$  و  $i \in \{0, \dots, n-1\}$   $\alpha(i) = \alpha_0 \alpha_1 \dots \bar{\alpha}_i \dots \alpha_{n-1}$  نامین بیت  $\alpha$  تعویض می‌شود. برای مثال شکل (۴.۳) مکعب همبند دوری ۳-بعدی و شکل‌های (۵.۳) و (۶.۳) مکعب همبند دوری ۴-بعدی هستند.



(a)



(b)

شکل (۴.۳): دو نمایش از گراف  $CCC_3$

چون هر گراف  $CCC_n$  مکعبی است، طبق قضیه (۱.۳) گزاره زیر را داریم:

گزاره ۱.۳: فرض کنیم  $n \in \mathbb{N}$  و  $C$  یک کد شناسایی  $CCC_n$  باشد، آنگاه  $|C| \geq \frac{2|V(CCC_n)|}{5}$ .

با استفاده از قضیه زیر می‌توانیم به این کران نزدیک شویم.

قضیه ۷.۳: فرض کنید  $n \geq 4$ ، آنگاه  $M_1(CCC_n) \leq n \cdot 2^{n-1} = \frac{|V(CCC_n)|}{2}$ .

اثبات. فرض کنید

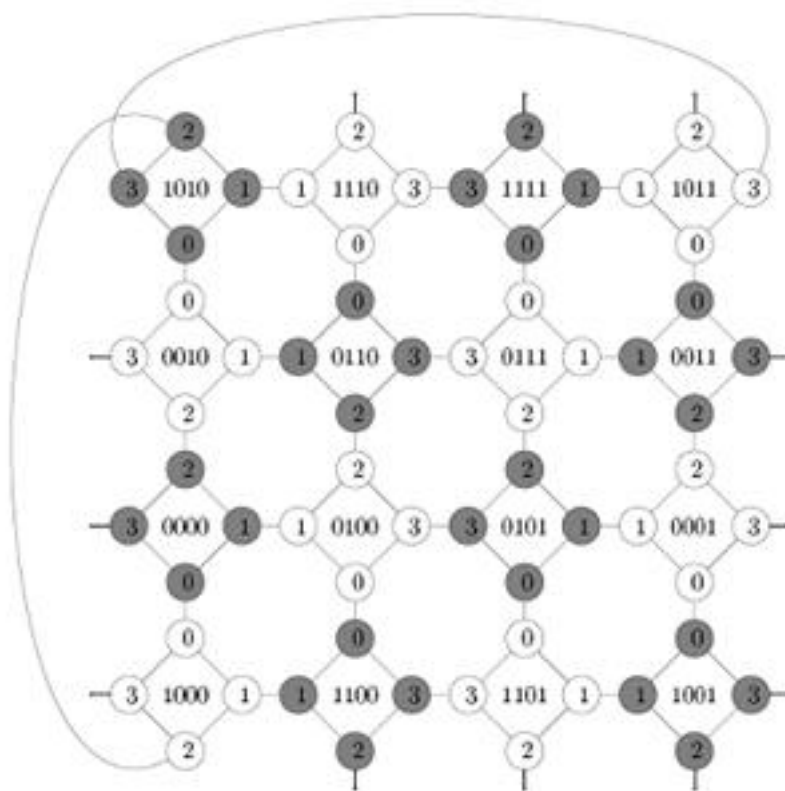
$$C = \left\{ (i, \alpha) \in V(CCC_n) \mid i \in \{0, \dots, n-1\}, \alpha \in \{0, 1\}^n, \sum_{i=0}^{n-1} \alpha_i \equiv 0 \pmod{2} \right\}$$

ادعا می‌کنیم که  $C$  یک کد شناسایی  $CCC_n$  است. در واقع،  $C$  چنان است که نیمی از دوره‌های  $CCC_n$  تماماً در آن است و دوره‌ها به فاصله ۲ از دیگری هستند. بنابراین هر رأس از یک دور  $C$  به وسیله خودش و دو همسایه‌اش شناخته می‌شود (چون  $n \geq 4$  است دوره‌های  $C_n$  بدون رأس دوقلو هستند)، با این حال یک رأس از دوره‌های دیگر به طور یکتا به وسیله همسایه‌اش در یک دور  $C$  شناخته می‌شود. بنابراین هر دو شرط غلبه و تفکیک حاصل می‌شود و  $C$  یک کد شناسایی از اندازه  $\frac{|V(CCC_n)|}{4}$  است.

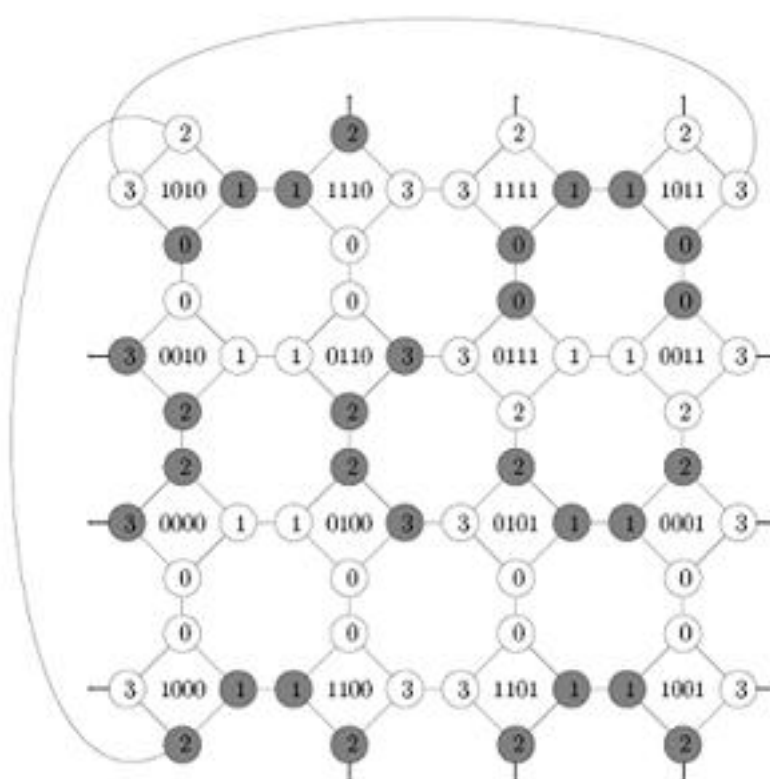
□

یک نمونه از یک کد ساخته شده در اثبات قضیه (۷.۳) برای گراف  $CCC_4$  در شکل (۵.۳) آمده است. کلمه‌کدها سیاه‌رنگ هستند و پیکان‌ها یال‌های اطراف را نشان می‌دهند.

نسبت بین کران بالای داده شده به وسیله قضیه قبلی و کران پایین داده شده با گزاره (۱.۳)،  $\frac{5}{4}$  است. کران بالا احتمالاً دقیق نیست، در واقع برای گراف‌های  $CCC_4$  و  $CCC_5$ ، کدهای شناسایی از اندازه کمتر نیز یافته‌ایم. یک کد شناسایی بهتر برای  $CCC_4$  در شکل (۶.۳) آمده است (کلمه‌کدها سیاه‌رنگند و پیکان‌ها یال‌های اطراف را نشان می‌دهند).



شکل (۳. ۵): یک کد شناسایی از گراف  $CCC_4$  شامل نصف رئوسش



شکل (۳. ۶): یک کد شناسایی بهتر در  $CCC_4$

چون  $CCC_4$ ،  $n_4 = 64$  رأس دارد، هر کد شناسایی  $CCC_4$  طبق گزاره (۱.۳) از اندازه حداقل ۲۶ است. در  $CCC_5$ ، که  $n_5 = 160$  رأس دارد، هر کد شناسایی طبق گزاره (۱.۳) از اندازه حداقل ۶۴ است.

### ۲-۲-۳ گراف پروانه‌ای

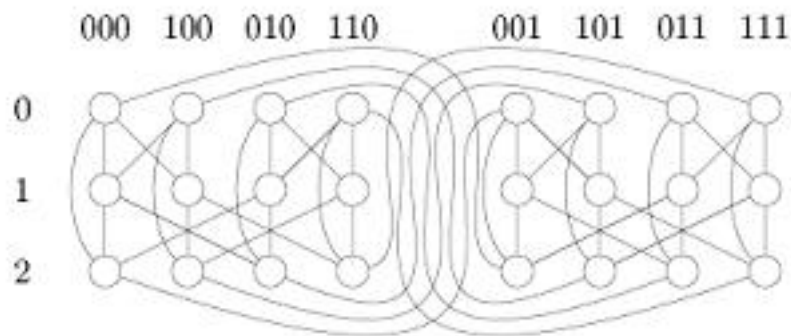
گراف پروانه‌ای  $n$  بعدی، به صورت  $BF_n$  نشان داده می‌شود و نوعی از گراف ابرمکعبی  $n$  بعدی است که برای استفاده در محاسبات موازی معرفی شده است ([۱۰] یا [۱۳]).

$$V(BF_n) = \{0, \dots, n-1\} \times \{0, 1\}^n,$$

$$E(BF_n) = \{(i, \alpha), ((i+1) \bmod n, \alpha)\} \mid i \in \{0, \dots, n-1\}, \alpha \in \{0, 1\}^n\}$$

$$\cup \{(i, \alpha), ((i+1) \bmod n, \alpha(i))\} \mid i \in \{0, \dots, n-1\}, \alpha \in \{0, 1\}^n\}.$$

که برای  $\alpha = \alpha_0 \alpha_1 \dots \alpha_{n-1} \in \{0, 1\}^n$  و  $i \in \{0, \dots, n-1\}$ ،  $\alpha(i) = \alpha_0 \alpha_1 \dots \overline{\alpha_i} \dots \alpha_{n-1}$  سامین بیت  $\alpha$  تعویض می‌شود). نمونه‌هایی در شکل (۷.۳) برای گراف پروانه‌ای ۳ بعدی و شکل (۸.۳) برای گراف پروانه‌ای ۴ بعدی می‌بینیم (یال‌های بین سطح ۵ و سطح ۳ نشان داده نشده‌اند).



شکل (۷.۳): گراف  $BF_3$

چون هر گراف  $BF_n$ ، منتظم است، طبق قضیه (۱.۳)، گزاره زیر را داریم:

گزاره ۲.۳: فرض کنید  $n \in \mathbb{N}$  و  $C$  یک کد شناسایی  $BF_n$  باشد، آنگاه  $|C| \geq \frac{|V(BF_n)|}{3}$ .

به کمک قضیه زیر می‌توانیم به این کران نزدیک شویم.

قضیه ۸.۳: فرض کنید  $n \geq 4$ ، آنگاه  $M_1(BF_n) \leq \lceil \frac{3n}{4} \rceil \cdot 2^{n-1} \simeq \frac{3}{8} \cdot |V(BF_n)|$ .

اثبات. توابع  $f, g: \{0, 1\}^n \rightarrow \{0, 1\}$  را در نظر بگیرید که در آن

$$f(\alpha) = \sum_{i=0}^{n-1} \alpha_i \bmod 2, \quad g(\alpha) = \sum_{\{i | i \equiv 0 \pmod{4}\}} \alpha_i \bmod 2$$

حال کد  $C$  را به صورت  $C = \{(i, \alpha) | f(\alpha) = 0, i \neq g(\alpha) \bmod 4\}$  می‌سازیم. به عبارت دیگر، رئوس مربوط به نیمی از دورها در کد در نظر گرفته می‌شوند. در آن دورها یک رأس از چهار رأس در کد نیست، در نیمی از آن‌ها رئوسی که شماره مضرب ۴ دارند عضو کد نیستند و در بقیه، رئوسی که باقیمانده شماره‌شان بر چهار، یک است، این چنین هستند. نمونه‌ای از چنین کدی روی گراف  $CCC_4$  در شکل (۸.۳) نشان داده شده است، یال‌های متقاطع بین سطوح ۰ و ۳ نادیده گرفته شده‌اند و رئوس کد سیاه‌رنگ هستند. به وضوح،  $\lceil \frac{3n}{4} \rceil$  رأس از هر دو دور در  $C$  داریم، پس در مجموع  $|C| = \lceil \frac{3n}{4} \rceil \cdot 2^{n-1}$ .

اکنون نشان می‌دهیم که  $C$  یک کد شناسایی است. ابتدا بررسی می‌کنیم که یک مجموعه غالب است.

فرض کنیم  $x = (i, \alpha) \in V(BF_n)$

(۱) اگر  $f(\alpha) = 0$  باشد، هر یک از  $x$  یا دو همسایه‌اش روی دورهای مشابه در  $C$  هستند، پس  $x$

مغلوب است.

(۲) اگر  $f(\alpha) = 0$  باشد،  $x$  دو همسایه در دورهای دیگر دارد که عبارت از  $y = (i-1, \alpha(i-1))$  و

$z = (i+1, \alpha(i))$  هستند. توجه کنید که  $f(\alpha(i-1)) = f(\alpha(i)) = 0$ .

(i) اگر  $x, y \in C$  مغلوب است.

(ii) اگر  $y \notin C$ ، چون  $g(\alpha(i-1)) = 0 \pmod{4}$  و  $i \equiv 0 \pmod{4}$ ، آنگاه  $i+1 \equiv 1 \pmod{4}$  و بنابراین  $z \in C$  پس  $x$  مغلوب است.

(iii) اگر  $y \notin C$ ، چون  $g(\alpha(i-1)) = 1 \pmod{4}$  و  $i \equiv 1 \pmod{4}$ ، آنگاه  $i+1 \equiv 2 \pmod{4}$  و بنابراین  $z \in C$  پس  $x$  مغلوب است.

حال نشان می‌دهیم که  $C$  همه رئوس را تفکیک می‌کند. فرض کنید  $x = (i, \alpha)$ ،  $y = (i', \alpha')$  و  $x, y \in V(BF_n)$  باشد و حالات زیر متمایز باشند:

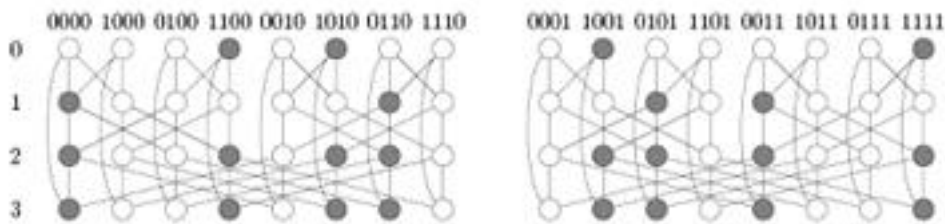
(۱) اگر  $f(\alpha) = f(\alpha') = 0$  باشد، در اینصورت هیچ رأسی از دور  $\alpha$  نمی‌تواند به رأسی از دور  $\alpha'$  متصل باشد. پس رئوسی که  $x$  و  $y$  را روی دوره‌های متناظرشان می‌پوشاند، آن‌ها را تفکیک می‌کند.

(۲) اگر  $f(\alpha) = f(\alpha') = 1$  باشد، می‌دانیم که از هر دوی  $x$  و  $y$  حداقل یکی از آن‌ها دو همسایه روی دوره‌های متفاوت که در  $C$  هستند، دارد. فرض کنید  $n_x$  و  $n_y$  این دو همسایه باشند. اگر  $n_x$  و  $n_y$  مجزا باشند،  $x$  و  $y$  به وسیله آن‌ها تفکیک می‌شود. پس فرض می‌کنیم  $n_x = n_y$ . بدون کاستن از کلیت مسأله فرض می‌کنیم  $n_x = (i+1, \alpha(i))$  و  $n_y = (i+2, \alpha(i)(i+1))$ . آنگاه همسایه‌های دیگر  $x$  و  $y$  در دوره‌های دیگر به صورت  $n'_x = (i-1, \alpha(i-1))$  و  $n'_y = (i+3, \alpha(i)(i+1)(i+2))$  هستند. چون  $n_x = (i+1, \alpha(i)) \in C$  بنابراین یا  $g(\alpha(i)) = 0 \pmod{4}$  و  $i+1 \not\equiv 0 \pmod{4}$  یا  $g(\alpha(i)) = 1 \pmod{4}$  و  $i+1 \not\equiv 1 \pmod{4}$ . اگر  $i+1 \equiv 0 \pmod{4}$  یا  $i+1 \equiv 1 \pmod{4}$  باشد آنگاه  $i-1 = i+3 \equiv 2 \pmod{4}$  یا  $i-1 = i+3 = 3 \pmod{4}$  خواهد بود و بنابراین  $n'_x, n'_y \in C$  می‌باشد و کار تمام است.

در غیراینصورت،  $i + 3 = i - 1 \equiv 0 \pmod{4}$  یا  $i + 3 = i - 1 \equiv 1 \pmod{4}$ . اگر  $n'_x \in C$  کار تمام است. پس فرض می‌کنیم اینطور نباشد یعنی  $i - 1 \not\equiv g(\alpha(i - 1)) \pmod{4}$ . اما طبق تعریف  $g$ ، اگر ۴ بیت از یک سطر در  $\alpha(i - 1)$  را معکوس کنیم و بدست آوریم  $\alpha(i)(i + 1)(i + 2) = \alpha(i - 1)(i - 1)(i)(i + 1)(i + 2)$ ، خواهیم داشت  $i - 1 \equiv g(\alpha(i)(i + 1)(i + 2)) \pmod{4}$  بنابراین  $i - 1 = i + 3$  که بدان معنی است که  $n'_y \in C$  و بنابراین  $x$  و  $y$  تفکیک شده‌اند.

(۳) اگر  $f(\alpha) \neq f(\alpha')$  باشد، بدون کاستن از کلیت مسأله، فرض می‌کنیم  $f(\alpha) = 0$ . طبق ساختمان  $C$ ،  $x$  حداقل دو همسایه در  $C$  دارد. چون  $y$  تنها می‌تواند به یکی از آن‌ها متصل باشد،  $x$  و  $y$  به وسیله همسایه دیگری تفکیک می‌شوند.

پس،  $C$  یک کد شناسایی  $BF_n$  است.  $\square$



شکل (۸.۳): گراف  $BF_4$  با یک کد شناسایی در اثبات قضیه (۸.۳)

توجه کنید که کد ساخته شده در قضیه قبلی می‌نیمال است و نمی‌توانیم هیچ رأس کد را حذف کنیم. با اینحال یک فاصله بین کران پایین و اندازه این کد وجود دارد. برای گراف  $BF_4$ ، کد ساخته شده ۲۴ رأس دارد، و طبق گزاره (۲.۳) هر کد شناسایی  $BF_4$ ، حداقل ۲۲ رأس دارد. علاوه بر این، ما یک برنامه

کامپیوتری روی گراف  $BF_4$ ، اجرا شده است تا بررسی کند که آیا یک کد شناسایی از اندازه کمتر در آن وجود دارد. چون این گراف ۶۴ رأس دارد، امکان بررسی  $2^{64}$  زیر مجموعه ممکن از رؤس در یک زمان، معقول نیست. بنابراین، در این تست بنا بر روشی که کد با آن ساخته شد تنها زیر مجموعه‌هایی را بررسی کرده‌اند که شامل نیمی از دورها هستند. نتیجه این تست منفی بوده و بنابراین یا این کد بهینه است و یا باید کدی با رؤسی شامل بیش از نیمی از دورها در  $BF_4$  ساخت. همچنین بسیار محتمل است که این نکته برای گراف‌های پروانه‌ای از ابعاد بالاتر نیز برقرار باشد. بنابراین کران بالایی برای  $M_1(BF_n)$  ارائه دادیم که به کران پایین آن بسیار نزدیک است و این بدان علت است که برای تمام  $n \equiv 0 \pmod{4}$ ، نسبت اندازه کد ساخته شده و مقدار کران پایین دقیقاً برابر  $\frac{9}{8}$  است، برای سایر مقادیر  $n$  این نسبت نزدیک است. با اینحال همچنان یک فاصله وجود دارد که می‌توان آن را با اثبات یک کران پایین بزرگتر و یا ساختن یک کد شناسایی کوچکتر برای  $BF_n$  پر کرد.

### ۳-۳ مکعب‌های غیر دودویی

توپولوژی بعدی که بررسی می‌کنیم، یک مکعب غیردودویی است که کاربردهای بسیاری در پردازش موازی دارد. یک مکعب  $n$  بعدی  $p$ -تایی،  $p^n$  پردازشگر دارد و هر پردازشگر به  $2n$  همسایه متصل است (هر پردازشگر دو همسایه در هر بعد دارد). حال به انتخاب کلمه کد برای شناسایی رؤس در مکعب‌های  $p$ -تایی  $n$  بعدی می‌پردازیم. هر رأس در این حالت را می‌توان با یک بردار مختصات  $(x_1, x_2, \dots, x_n)$  به طول  $n$  نشان داد که  $0 \leq x_i \leq p_i - 1$  و دور رأس  $x = (x_1, x_2, \dots, x_n)$  و  $x' = \{x'_1, x'_2, \dots, x'_n\}$  همسایه‌اند اگر  $(x - x') = (0, 0, \dots, \pm 1, 0, \dots, 0) \pmod{p}$  باشد. فرض کنید  $P(x) = (p_1, p_2, \dots, p_n)$  بردار هم‌نوع متناظر با  $(x_1, x_2, \dots, x_n)$  باشد چنانکه اگر

$x_i$  زوج (فرد) باشد،  $(1) = p_i = 0$  است. برای کد  $p$ -تایی  $C$  فرض کنید  $\varphi(C) = \{P(x) | x \in C\}$  کد دودویی هم نوع با کلمه‌کدهای  $(p_1, p_2, \dots, p_n)$  باشد.  $M_t^{(p)}(H_n)$  را برای نشان دادن تعداد کلمه‌کدهای موردنیاز برای شناسایی کردن رأس‌ها در یک مکعب  $p$ -تایی  $n$  بعدی با به کار بردن گوی‌های به شعاع  $t$  ( $t < n$ ) استفاده می‌کنیم (در حالت  $p = 2$ ، بالانویس حذف می‌شود). ابتدا ساختن کد شناسایی  $C$  برای  $t = 1$  را بررسی می‌کنیم.

قضیه ۹.۳ برای یک مکعب  $p$ -تایی  $n$  بعدی ( $n = 2^s - 1$  و  $p$  زوج و  $p > 4$ ) شناسایی رأس با کمترین تعداد کلمه‌کد ممکن، یعنی  $M_1^{(p)}(H_n) = \frac{p^n}{(n+1)}$  حاصل می‌شود، اگر و تنها اگر کد شناسایی  $C$  شامل همه کلمه‌کدهایی باشد که بردارهای هم‌نوع آن‌ها به شکل  $(n, n-s, 3)$  کد دودویی کامل است.

اثبات. ابتدا ثابت می‌کنیم که هر رأس به وسیله یک ترکیب واحد از کلمه‌کدها پوشیده می‌شود. هر کلمه‌کد تنها به وسیله خودش پوشیده می‌شود چون فاصله همینگ بین هر دو بردار هم‌نوع از کلمه‌کدها حداقل ۳ است. سپس یک رأس غیرکلمه‌کد با مختصات  $(x_1, x_2, \dots, x_n)$  و بردار هم‌نوع متناظر با آن  $(p_1, p_2, \dots, p_n)$  را در نظر می‌گیریم. دو بردار با مختصات  $x' = (x'_1, x'_2, \dots, x'_n)$  و  $x'' = (x''_1, x''_2, \dots, x''_n)$  وجود دارد که بردار هم‌نوع مشابه،  $(q_1, q_2, \dots, q_n)$  دارند، پس  $x'$  و  $x''$  همسایه‌های  $x$  در مکعب غیر دودویی  $n$  بعدی هستند،  $(q_1, q_2, \dots, q_n)$  متعلق به کد  $C$  است و فاصله همینگ بین  $(p_1, p_2, \dots, p_n)$  و  $(q_1, q_2, \dots, q_n)$  یک است. توجه داریم برای  $p > 4$ ،  $x$  منحصرأً به وسیله  $x'$  و  $x''$  تعیین می‌شود.

برای اثبات لزوم، توجه داریم که اگر دو رأس در مکعب  $p$ -تایی  $n$  بعدی همسایه باشند، بردارهای هم‌نوع آن‌ها به فاصله یک هستند، بنابراین برای یک کد شناسایی، شعاع پوششی مجموعه بردارهای

هم‌نوع باید برابر یک باشد و کوچکترین مجموعه با این خاصیت یک  $(n, n-s, 3)$ -کد دودوئی کامل است.  $\square$

برای حالت مهم مکعب  $p$ -تایی ۳ بعدی، نتیجه مفید زیر را داریم، که از قضیه بالا با  $n = 3$  بدست می‌آید.

نتیجه ۴.۳: برای مکعب  $p$ -تایی ۳ بعدی ( $p$  زوج و  $p > 4$ )، گزینش کلمه کد بهینه (نتیجه ۴.۳) حاصل می‌شود اگر و تنها اگر رئوس با بردارهای هم‌نوع  $(0, 0, 0)$  و  $(1, 1, 1)$  به عنوان کلمه کد انتخاب شوند.

قضیه (۹.۳) و نتیجه (۴.۳) نشان می‌دهند که تراکم کلمه کدها برای مکعب‌های ۳ بعدی تنها  $0/25$  است و وقتی  $n$  افزایش می‌یابد به صفر میل می‌کند. قضیه بعدی یک تعمیم از قضیه (۹.۳) برای  $n$  دلخواه است.

قضیه ۱۰.۳ فرض کنید  $C^*$  یک کد دودوئی بهینه به طول  $n$  و با شعاع پوششی یک باشد، آنگاه  $C$  یک کد شناسایی  $p$ -تایی ( $p$  زوج و  $p > 4$ ) بهینه برای مکعب  $p$ -تایی  $n$  بعدی است اگر و تنها اگر  $C$  شامل همه بردارهایی باشد که بردار هم‌نوع آن‌ها  $P(C) = C^*$  است.

نتیجه ۵.۳: برای مکعب  $p$ -تایی ( $p$  زوج و  $p > 4$ )  $n$  بعدی ( $n = 2^s$ ) داریم

$$\frac{p^n}{n+1} \leq M_n^{(p)}(1) \leq \frac{p^n}{n} \quad (11.3)$$

اثبات. کران پایین از (۶.۳) و کران بالا از قضیه (۱۰.۳) تبعیت می‌کند، چون

$$\square \quad K(2^s, 1) = 2^{2^s-s} = \frac{2^n}{n}$$

توجه کنید که ساختار بالا برای همه مقادیر  $n$  بهترین نیست. برای مثال، اگر این ساختار را برای حالت

$n = 2$  به کار ببریم آنگاه  $C^* = \{00, 11\}$  و یک مجموعه با  $\frac{p^2}{4}$  کلمه کد، در روش "checkerboard" بدست می‌آوریم که تراکم کلمه کد  $0/5$  را ایجاب می‌کند. قضیه زیر ساختار بهتری برای  $n = 2$  ارائه می‌دهد.

تعریف ۴.۳ در تئوری کدگذاری، فاصله لی<sup>۸</sup> فاصله بین دو رشته  $X_1, X_2, \dots, X_n$  و  $Y_1, Y_2, \dots, Y_n$  با طول یکسان  $n$  است که هر یک از مکان‌های آن‌ها عددی متعلق به  $\{0, \dots, q-1\}$  برای یک  $q \geq 2$  مشخص است و متریک آن به صورت زیر تعریف می‌شود

$$\sum_{i=1}^n \min\{|X_i - Y_i|, q - |X_i - Y_i|\}$$

اگر  $q = 2$  یا  $q = 3$  باشد فاصله لی بر فاصله همینگ منطبق است.

مثال ۳.۳ اگر  $q = 6$  آنگاه فاصله لی بین  $2340$  و  $2543$  برابر  $6 = 3 + 0 + 2 + 1$  است.

قضیه ۱۱.۳ فرض کنید  $K^{(p)}(n, 2)$  کمترین تعداد کلمه کد در یک مکعب  $p$ -تایی  $n$  بعدی با شعاع پوششی ۲ در فضای متریک لی<sup>۹</sup> (به مرجع مک ویلیامز و اسلون<sup>۱۰</sup> [۲۶] مراجعه کنید)، باشد. آنگاه برای هر  $p > 4$  داریم

$$M_1^{(p)}(H_n) \leq (2n + 1)K^{(p)}(n, 2) \quad (12.3)$$

---

Lee distance<sup>۸</sup>

lee metric<sup>۹</sup>

F.J. MacWilliams and N.J.A.Sloane<sup>۱۰</sup>

اثبات. برای ثابت کردن (۱۲.۳) کافیت نشان دهیم که همه رئوس در گوی لی  $B_2$  با شعاع پوششی ۲ به مرکز  $v$  می‌توانند به وسیله گوی‌های به شعاع ۱ و به مرکز همه رئوسی که متعلق به گوی  $B_1$ ، به شعاع ۱ و به مرکز  $v$  هستند، شناسایی شوند. بدون کاستن از کلیت مسأله می‌توانیم فرض کنیم

$$v = (0, 0, \dots, 0) \text{، بنابراین}$$

$$B_1 = \{(0, 0, \dots, 0)\} \cup \{(0, \dots, 0, \pm 1, 0, \dots, 0) \pmod{p}\}$$

و

$$B_2 = B_1 \cup \{(0, \dots, 0, \pm 2, 0, \dots, 0) \pmod{p}\}$$

$$\cup \{(0, \dots, \pm 1, 0, \dots, 0, \pm 1, 0, \dots, 0) \pmod{p}\}$$

فرض کنید  $x \in B_2$  باشد، چهار حالت زیر را در نظر می‌گیریم:

- (۱) اگر  $x = (0, 0, \dots, 0)$  آنگاه  $x$  به همه گوی‌های به شعاع ۱ با مراکز  $B_1$  متعلق است.  
 (۲) اگر  $x = (0, \dots, 0, \pm 1, 0, \dots, 0)$  آنگاه  $x$  به دو گوی به شعاع ۱ با مراکز  $x$  و  $(0, 0, \dots, 0)$  متعلق دارد.

(۳) اگر  $x = (0, \dots, \underbrace{\pm 1}_i, 0, \dots, 0, \underbrace{\pm 1}_j, 0, \dots, 0)$  آنگاه  $x$  به دو گوی با مراکز

$$(0, \dots, 0, \underbrace{\pm 1}_i, 0, \dots, 0) \quad (0, \dots, 0, \underbrace{\pm 1}_j, 0, \dots, 0)$$

متعلق است.

(۴) اگر  $x = (0, \dots, 0, \underbrace{\pm 2}_i, 0, \dots, 0)$  آنگاه  $x$  به یک گوی به مرکز  $(0, \dots, 0, \underbrace{\pm 1}_i, 0, \dots, 0)$  متعلق است.

متعلق است.

□

و این اثبات را کامل می‌کند.

نتیجه ۶.۳ : فرض کنید  $n = 2$  و  $p = 13s$  باشد. آنگاه

$$M_1^{(p)}(H_2) \leq \frac{5}{13} p^2 \quad (13.3)$$

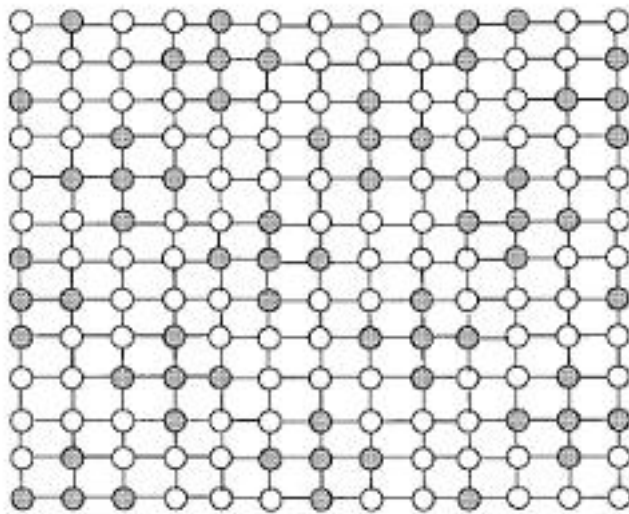
اثبات.  $|B_t|$  یعنی تعداد رئوسی که از رأس  $v$  به فاصله حداکثر  $t$  می‌باشند. در یک چهارم از گوی  $B_t$ ،

$t$  مسیر متفاوت به طول  $t$  از  $v$  به رئوس دیگر،  $t - 1$  مسیر متفاوت از  $v$  به طول  $t - 1$ ، ...،  $2$  مسیر به طول  $2$  و بالاخره یک مسیر به طول  $1$  داریم، پس در کل گوی  $2n^2 + 2n + 1 = \frac{n(n+1)}{2} \times 4 + 1$

رأس داریم. پس  $|B_1| = 5$  و  $|B_2| = 13$  و  $K^{(p)}(3, 2) = \frac{p^2}{13}$ . □

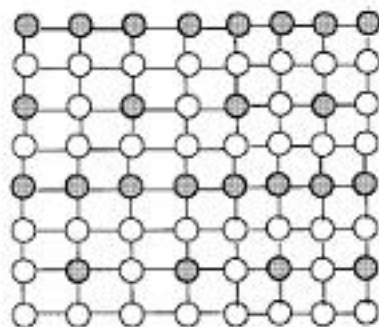
شکل (۹.۳) ساختار حاصل از قضیه (۱۱.۳) را برای  $n = 2$  و  $p = 13$  نشان می‌دهد، در این حالت

داریم  $K^{(13)}(2, 2) = 13$  و  $M_1^{(13)}(1) = 65$ . با این حال ساختار بالا برای  $n = 2$  بهینه نیست.



شکل (۹.۳): • کلمه‌کد

شکل (۱۰.۳) ساختار بهتری برای  $n = 2$  و  $p = 8s$  را نشان می‌دهد که در آن



$$M_1^{(p)}(H_2) = \frac{3}{8} p^2$$

شکل (۱۰.۳): • کلمه‌کد

حال به مسأله ساختار کد وقتی گوی‌های به شعاع بزرگتر از یک به کار می‌بریم، می‌پردازیم. قضیه زیر یک تکنیک "divide - and - conquer" مفید برای تعیین  $M_t^{(p)}(H_n)$  وقتی  $t > 1$  است را فراهم می‌کند (توجه کنید  $M_t^{(2)}(t)$  تعریف نمی‌شود).

قضیه ۱۲.۳ تعداد کلمه‌کدهای موردنیاز برای شناسایی رئوس در یک مکعب  $p$ -تایی  $n$  بعدی به صورت زیر بدست می‌آید

$$M_t^{(p)}(H_n) \leq M_s^{(p)}(H_a) \cdot M_{t-s}^{(p)}(H_{n-a})$$

که  $0 \leq t < n$ ،  $0 \leq s \leq t$ ،  $0 \leq s \leq a$ ،  $0 \leq t-s \leq n-a$  و  $1 \leq a \leq n-1$  می‌باشد.

اثبات. فرض کنید  $x = (x_1, x_2)$  و  $y = (y_1, y_2)$  بردارهایی به طول  $n$  باشند، که  $x_1(y_1)$  و  $x_2(y_2)$  به ترتیب به طول  $a$  و  $n-a$  هستند. فرض کنید  $v = (v_1, v_2)$  برداری به طول  $n$  باشد چنانکه  $v_1(v_2)$  به وسیله یک گوی به شعاع  $s(t-s)$  و به مرکز خودش  $x_1(x_2)$  را بپوشاند ولی  $y_1(y_2)$  را نپوشاند، آنگاه  $d(v_1, x_1) \leq s$  و  $d(v_2, x_2) \leq t-s$  می‌باشد که  $d(x, y)$  فاصله بین رئوس  $x$  و  $y$  در مکعب غیر دودویی  $p$ -تایی است. این ایجاب می‌کند که  $d(v, x) = d(v_1, x_1) + d(v_2, x_2) \leq t$  باشد. از اینرو  $v$  را با گوی به شعاع  $t$  می‌پوشاند. اما  $d(v_1, y_1) > s$  و  $d(v_2, y_2) > t-s$  است که ایجاب می‌کند  $d(v, y) > t$  باشد. پس  $v$  را با گوی به شعاع  $t$  نمی‌پوشاند. بنابراین کد شناسایی  $C(n, t)$  برای یک مکعب  $p$ -تایی  $n$  بعدی می‌تواند با استفاده از کدهای شناسایی برای ابعاد کوچکتر  $a$  و  $n-a$  به صورت زیر ساخته شود:

$$C(n, t) = \{(x, y) | x \in C(a, s), y \in C(n-a, t-s)\}$$

□

$$M_t^{(p)}(H_n) \leq |C(n, t)| \text{ و}$$

نتیجه ۷.۳ : به عنوان یک حالت خاص از قضیه (۱۲.۳) داریم

$$M_t^{(p)}(H_n) \leq p^a \cdot M_t^{(p)}(H_{n-a})$$

که در آن  $n - a \geq t$ .

اثبات. از قضیه (۱۲.۳) داریم

$$M_t^{(p)}(H_n) \leq M_{\circ}^{(p)}(H_a) \cdot M_t^{(p)}(H_{n-a}) = p^a \cdot M_t^{(p)}(H_{n-a})$$

□ وقتی  $t = \circ$  هر رأس در مکعب  $p$ -تایی  $a$  بعدی باید به عنوان یک کلمه کد انتخاب شود.

نتیجه ۸.۳ : برای هر  $p \geq ۲$  و  $t < n$  داریم

$$M_t^{(p)}(H_n) \leq M_{\lfloor \frac{t}{p} \rfloor}^{(p)}(\lfloor \frac{t}{p} \rfloor) \cdot M_{\lceil \frac{t}{p} \rceil}^{(p)}(\lceil \frac{t}{p} \rceil)$$

نتیجه ۹.۳ : کران‌های بالای زیر بر می‌نیمم تعداد کلمه‌کدها در کدهای شناسایی بهینه برای

مکعب‌های دودویی و غیردودویی موجود است.

$$M_t^{(p)}(H_{\uparrow t}) \leq \circ / 4^t \cdot p^{2t} \quad (۱)$$

$$M_t^{(p)}(H_{\uparrow kt}) \leq \circ / 4^t \cdot p^{2kt} \quad (۲)$$

$$M_t^{(p)}(H_{(\uparrow s-1)t}) \leq (\frac{p^{\uparrow s}-1}{\uparrow s})^t \quad (۳)$$

$$M_t^{(2)}(H_{\uparrow t}) \leq \circ / 75^t \cdot 2^{2t} \quad (۴)$$

$$M_t^{(2)}(H_{\uparrow t}) \leq \circ / 5^t \cdot 2^{3t} \quad (۵)$$

$$M_t^{(2)}(H_{5t}) = (\frac{5}{11})^t \cdot 2^{5t} \quad (۶)$$

$$M_t^{(2)}(H_{4t}) \leq \circ / 125^t \cdot 2^{4t} \quad (۷)$$

اثبات. برای اثبات قسمت ۱ از قضیه (۱۰.۳) استفاده می‌کنیم

$$M_t^{(p)}(H_{\uparrow t}) \leq (M_{\uparrow}^{(p)}(H_{\uparrow}))^t = \circ / 4^t \cdot p^{2t}$$

بنابراین تراکم کلمه‌کدها در یک مکعب  $p$ -تایی  $2t$  بعدی حداکثر  $o/4^t$  است و با افزایش  $t$  کاهش می‌یابد.

قسمت ۲ مستقیماً از نتیجه (۷.۳) و قسمت ۱ نتیجه می‌شود.

برای اثبات قسمت ۳ نتیجه زیر را به کار می‌بریم

$$M_t^{(p)}(H_{(2^s-1)t}) \leq M_1^{(p)}(H_{2^s-1})^t = \left(\frac{p^{2^s-1}}{2^s}\right)^t$$

برای هر  $p > 4$  و  $s = 2$  داریم  $M_t^{(p)}(H_{2t}) \leq o/25^t \cdot p^{2t}$

اثبات ۴ و ۵ مشابه است.  $\square$

حال  $r_\infty$ ، نسبت بین کران بالا به کران پایین روی  $M_t^{(p)}(H_n)$  را وقتی  $n$  به سمت  $\infty$  میل می‌کند محاسبه می‌کنیم. اگر  $t = 1$  و  $n = 2^s$  باشد  $r_\infty = 1$  می‌شود، که از (۱۱.۳) تبعیت می‌کند. حال حالت  $t = 2$  را بررسی می‌کنیم. با به کار بردن (۶.۳) و نتیجه (۸.۳) (برای  $n > 2$  و  $p > 4$  و  $p$  زوج) بدست می‌آوریم:

$$\frac{2p^n}{V(2) + 1} \leq M_2^{(p)}(H_n) \leq \left(M_1^p(H_{\lceil \frac{n}{2} \rceil})\right)^2$$

و

$$V(2) = 1 + 2n + \binom{n}{2} \cdot 4 + \binom{n}{1} \cdot 2 = 1 + 2n + 2n^2$$

اگر  $\frac{n}{2} = 2^s$ ، آنگاه  $M_1^p(H_{\frac{n}{2}}) \leq \frac{p^{\frac{n}{2}}}{2^s}$  بنابراین داریم

$$\frac{p^n}{1 + 2n + n^2} \leq M_2^{(p)}(H_n) \leq \frac{4p^n}{n^2}$$

که برای  $n$  بزرگ

$$\frac{p^n}{n^2} \lesssim M_2^{(p)}(H_n) \leq \frac{4p^n}{n^2}$$

$r_\infty$ ، نسبت کران بالا به کران پایین (وقتی که  $n$  به سمت  $\infty$  میل می‌کند و  $\frac{n}{p} = 2^s$  برابر ۴ می‌باشد). حال این آنالیز را برای  $t > 2$  بسط می‌دهیم. ابتدا تخمین زیر را برای مکعب‌های  $p$ -تایی  $n$  بعدی که  $p$  و  $t$  مقادیر ثابت بوده و  $n$  به سمت  $\infty$  میل می‌کند به کار می‌بریم:

$$V(t) \sim \sum_{i=0}^t \binom{n}{i} 2^i \sim \frac{n^t 2^t}{t!}$$

بنابراین برای  $\frac{n}{t} = 2^s$  و مقادیر ثابت  $p$  و  $t$  داریم

$$\frac{p^n t!}{n^t 2^{t-1}} \lesssim M_t^{(p)}(H_n) \leq \frac{p^n t^t}{n^t} \quad (14.3)$$

بنابراین  $r_\infty = \frac{t^t 2^{t-1}}{t!}$ . مثلاً برای  $t = 2$  مانند قبل داریم  $r_\infty = 4$ ، در صورتیکه برای  $t = 3$ ،  $r_\infty = 18$  می‌شود.

### ۴-۳ درخت‌ها

توپولوژی دیگری که در نظر می‌گیریم یک درخت  $p$ -تایی متوازن است. تعدادی از سیستم‌های محاسباتی سلسله مراتبی مانند کتاب‌های لغت و ماشین‌های جستجو را می‌توان به عنوان یک درخت مدل کرد، بنتلی و کانگ<sup>۱۱</sup> [۱۹] و شین<sup>۱۲</sup> [۳۰] را ببینید. تعداد زیادی از الگوریتم‌های موازی را نیز می‌توان به یک درخت  $p$ -تایی نگاشت و ساختار یک چندپردازشگر کلی را معمولاً می‌توان با یک ساختار درختی مدل کرد (مید و کانوی<sup>۱۳</sup> [۲۸] را ببینید). کاربرد دیگری از ساختار درختی در شبکه داده‌های

<sup>۱۱</sup> J.Bentley and H.T.kung

<sup>۱۲</sup> K.G.shin

<sup>۱۳</sup> C.A.Mead and L.A.Conway

ماشین تفکر  $CM-5$  است (هیلیس و تاکر<sup>۱۴</sup> [۲۴] و لسرسون<sup>۱۵</sup> [۲۵] را ببینید).

رئوس را در یک درخت  $l$ -سطحی  $p$ -تایی با  $t = 1$  به وسیله انتخاب کلمه‌کدها در سطوح  $l$  و  $l-2$  و  $l-4$  و ... که ریشه در سطح یک و برگ‌ها در سطح  $l$  قرار دارند، به طور یکتا می‌توانیم شناسایی کنیم. کران روی تعداد کلمه‌کدها،  $M_1(T)$ ، به صورت زیر بدست می‌آید:

$$M_1(T) \leq \frac{p^{l+1}}{p^2 - 1} (1 - p^{-2(\lfloor \frac{l-1}{2} \rfloor + 1)}) \quad (15.3)$$

قضیه ۱۳.۳ برای یک درخت  $p$ -تایی با  $l$  سطح ( $l \geq 3$ ) کران‌هایی به صورت زیر روی می‌نیم. تعداد کلمه‌کدها در کد شناسایی داریم:

$$p^{l-3}(p^2 + 1) \leq M_1(T) \leq \begin{cases} \frac{p^{l+1} - 1}{p^2 - 1} & \text{فرد } l \\ \frac{p^{l+1} - p}{p^2 - 1} & \text{زوج } l \end{cases}$$

اثبات. کران بالا از رابطه (۱۵.۳) تبعیت می‌کند. اگر  $l = 2k + 1$  باشد، داریم

$$\begin{aligned} \frac{p^{2k+2}}{p^2 - 1} (1 - p^{-2(\lfloor \frac{2k}{2} \rfloor + 1)}) &= \frac{p^{2k+2}}{p^2 - 1} (1 - p^{-2(k+1)}) \\ &= \frac{p^{2k+2} - 1}{p^2 - 1} = \frac{p^{l+1} - 1}{p^2 - 1}. \end{aligned}$$

و اگر  $l = 2k$  باشد

$$\begin{aligned} \frac{p^{2k+2}}{p^2 - 1} (1 - p^{-2(\lfloor \frac{2k-1}{2} \rfloor + 1)}) &= \frac{p^{2k+1}}{p^2 - 1} (1 - p^{-2k}) \\ &= \frac{p^{2k+1} - p}{p^2 - 1} = \frac{p^{l+1} - p}{p^2 - 1}. \end{aligned}$$

کران پایین  $M_1(T)$  با مشاهده درخت  $l$ -سطحی  $p$ -تایی به صورتی که شامل  $p^{l-3}$  زیردرخت ۳-سطحی که هر یک  $1 + p + p^2$  رأس و  $p^2$  برگ دارد، بدست می‌آید. حال نشان می‌دهیم

W.D.Hillis and L.W.Tucker<sup>۱۴</sup>

C.E.Leiserson<sup>۱۵</sup>

حداقل  $p^2 + 1$  رأس از هر یک از زیر درخت‌ها باید به عنوان کلمه‌کد انتخاب شود. ابتدا توجه داریم که حداقل  $p(p-1)$  برگ باید کلمه‌کد باشد (تا رئوس برگ غیرکلمه‌کد را بپوشاند) و برای تشخیص بین رئوس دو سطح، ریشه زیردرخت باید انتخاب شود. یک بحث مشابه می‌تواند برای حالاتی که  $p$  رأس هم‌ردیف به عنوان کلمه‌کد انتخاب می‌شود، به کار رود. این یک می‌نیم  $p^2 + 1$  رأسی در هر زیر درخت بدست می‌دهد، و ازاینرو  $M_1(T) \geq p^{l-2}(p^2 + 1)$ . □

نتیجه ۱۰.۳: برای درخت‌های  $p$ -تایی با  $l = 3$  سطح،  $M_1(T) = p^2 + 1$  و برای درخت  $p$ -تایی با  $l = 4$  سطح،  $M_1(T) = p(p^2 + 1)$ .

اگر  $p$  به سمت  $\infty$  میل کند، ساختار کد قضیه (۱۳.۳)، به طور مجانبی بهینه است، چون برای  $p$  بزرگ  $M_1(T) \sim p^{l-1}$ ، که بر کران پایین منطبق است. در درخت دودویی ( $p = 2$ ) برای  $l$  بزرگ داریم:

$$5 \cdot 2^{l-2} \leq M_1(T) \leq \left(\frac{16}{3}\right) \cdot 2^{l-2}$$

ازاینرو انتخاب کلمه‌کد بسیار به بهینه نزدیک است. جدول‌های (۳.۳) و (۴.۳) تعداد کلمه‌کدها برای برخی درخت‌های در مبنای ۲ و ۳ را نشان می‌دهد.

حال ثابت می‌کنیم در یک درخت اگر  $t > 1$  باشد، رئوس قابل شناسایی نیستند.

قضیه ۱۴.۳ شناسایی منحصر به فرد رئوس یک درخت  $p$ -تایی  $l$  سطحی برای  $t > 1$  ممکن نیست.

اثبات. زیر درخت شامل رئوس برگ هم‌ردیف  $V_l = \{v_1, v_2, \dots, v_p\}$  و جد آن  $v_{p+1}$  را در نظر بگیرید. برای  $1 < t < p$ ،  $v_i$  و  $v_j$  نمی‌توانند با هیچ انتخابی از کلمه‌کدها تشخیص داده شوند. چون رئوس در  $V_l$  به فاصله ۲ از هم هستند و هر رأس  $v_j \notin V_l$

□ در فاصله مشابه از همه رئوس در  $V_l$  است. بنابراین اگر  $t > 1$  باشد، رئوس در  $V_l$  غیر قابل تشخیصند.

$l$	$N$	کران پایین $\hat{m}(1)$ روی $M_1(T)$	کران بالا $\hat{M}(1)$ روی $M_1(T)$	$\frac{\hat{M}(1)}{N}$	$\frac{\hat{M}(1)}{\hat{m}(1)}$
۳	۷	۵	۵	۰/۷۱۴	۱
۴	۱۵	۱۰	۱۰	۰/۶۶۶	۱
۵	۳۱	۲۰	۲۱	۰/۶۶۷	۱/۰۵
۸	۲۵۵	۱۶۰	۱۷۰	۰/۶۶۶	۱/۰۶۲۵
۱۰	۱۰۲۳	۶۴۰	۶۸۲	۰/۶۶۶	۱/۰۶۵۶
۱۱	۲۰۴۷	۱۲۸۰	۱۳۶۵	۰/۶۶۶	۱/۰۶۶۴
۱۲	۴۰۹۵	۲۵۶۰	۲۷۳۰	۰/۶۶۶	۱/۰۶۶۴
۱۶	۶۵۵۳۵	۴۰۹۶۰	۴۳۹۶۰	۰/۶۶۶	۱/۰۶۶۶

جدول ۳.۳: تعداد کلمه‌کدها برای درخت در مبنای دو متوازن ( $p = 2$ )

$l$	$N$	کران پایین $\hat{m}(1)$ روی $M_1(T)$	کران بالا $\hat{M}(1)$ روی $M_1(T)$	$\frac{\hat{M}(1)}{N}$	$\frac{\hat{M}(1)}{\hat{m}(1)}$
۳	۱۳	۱۰	۱۰	۰/۷۶۹	۱
۴	۴۰	۳۰	۳۰	۰/۷۵	۱
۵	۱۲۱	۹۰	۹۱	۰/۷۵۲	۱/۰۱۱۱
۸	۳۲۸۰	۲۴۳۰	۲۴۶۰	۰/۷۵	۱/۰۱۲۳
۱۰	۲۹۵۲۴	۲۱۸۷۰	۲۲۱۴۳	۰/۷۵	۱/۰۱۲۵
۱۱	۸۸۵۷۳	۶۵۶۱۰	۶۶۴۳۰	۰/۷۵	۱/۰۱۲۵
۱۲	۲۶۵۷۲۰	۱۹۶۸۳۰	۱۹۹۲۹۰	۰/۷۵	۱/۰۱۲۵
۱۶	۲۱۵۲۳۳۶۰	۱۵۹۴۲۳۰	۱۶۱۴۲۵۲۰۰	۰/۷۵	۱/۰۱۲۵

جدول ۴.۳: تعداد کلمه‌کدها برای درخت در مبنای سه متوازن ( $p = 3$ )

### ۳-۵ شبکه‌ها

در نهایت مسأله ساختار کد برای شبکه‌های شش گوشه‌ای و سه گوشه‌ای را نشان می‌دهیم. توپولوژی شکل‌دهنده آن‌ها اخیراً مورد توجه قرار گرفته است (به ساویر<sup>۱۶</sup> و همکاران [۲۹] مراجعه کنید). هر

مشبکه شش گوشه‌ای (سه گوشه‌ای)، سه (شش) همسایه دارد. شکل (۱۱.۳) این توپولوژی‌ها را با کلمه‌کدها (رئوس سایه‌دار) برای شناسایی رئوس با  $t = 1$  نشان می‌دهد. برای مشبکه شش گوشه‌ای تعداد کلمه‌کدها  $M_1(G) = \frac{N}{4}$  است که  $N$  مجموع تعداد رئوس در گراف می‌باشد. هر کلمه‌کد تنها به وسیله خودش پوشیده می‌شود، در حالیکه هر رأس غیرکلمه‌کد به وسیله یک زیرمجموعه کلمه‌کد سه‌عضوی پوشیده می‌شود. کران پایین روی  $M_1(G)$  برای این توپولوژی از (۶.۳) بدست می‌آید و برابر  $\frac{2N}{5}$  است.

ساختار کد برای مشبکه‌های سه گوشه‌ای کامل است، چون تعداد کلمه‌کدها  $M_1(G) = \frac{N}{4}$  است که متناظر با کران پایین (۶.۳) است. در این حالت هر کلمه‌کد تنها به وسیله خودش پوشیده می‌شود در حالیکه هر رأس غیرکلمه‌کد به وسیله دقیقاً دو کلمه‌کد پوشیده می‌شود. بحث بالا در قضیه زیر خلاصه شده است.

قضیه ۱۵.۳ برای یک مشبکه شش گوشه‌ای با  $N$  رأس ( $N$  به سمت  $\infty$  میل می‌کند)، تعداد کلمه‌کدهای  $M_1(G)$  توسط رابطه

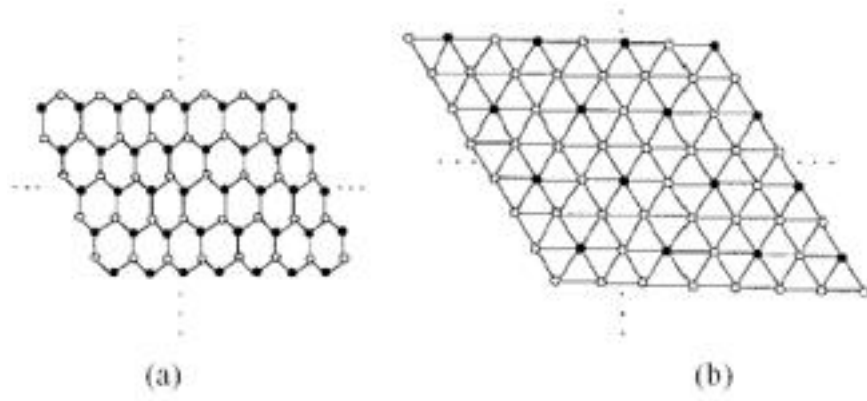
$$\circ/4N \lesssim M_1(G) \lesssim \circ/5N$$

و برای یک مشبکه سه گوشه‌ای با  $N$  رأس با رابطه

$$M_1(G) \sim \circ/25N$$

بدست می‌آید.

شکل (۱۱.۳) کلمه‌کدها با  $t = 1$  برای (a) مشبکه شش گوشه‌ای و (b) مشبکه سه گوشه‌ای را نشان می‌دهد.



شکل ۱۱.۳

## یافتن گراف بهینه برای تعداد کلمه کد مشخص

## ۱-۴ شناسایی مجموعه‌های رأسی

پیشتر فرض کرده‌ایم که تنها یک رأس در گراف  $G$  به طور یکتا شناسایی شود. در این قسمت نشان می‌دهیم که انتخاب کلمه‌کدها برای رؤس تنها، یک شناسایی تقریباً کامل مجموعه‌های رؤس از اندازه بالاتر را میسر می‌سازد [۱]. فرض کنید  $C(l)$  بخشی از مجموعه‌های رؤس از اندازه دقیقاً  $l$  که به طور یکتا قابل شناسایی است، باشد.

قضیه ۱.۴  $C(l)$  که بخشی از مجموعه‌های رؤس از اندازه دقیقاً  $l$  است، به طور یکتا با  $t = 1$  به وسیله یک کد شناسایی رؤس منفرد قابل شناسایی است، و با

$$C(l) \geq \prod_{i=0}^{l-1} \frac{N - iV(4)}{N - i}$$

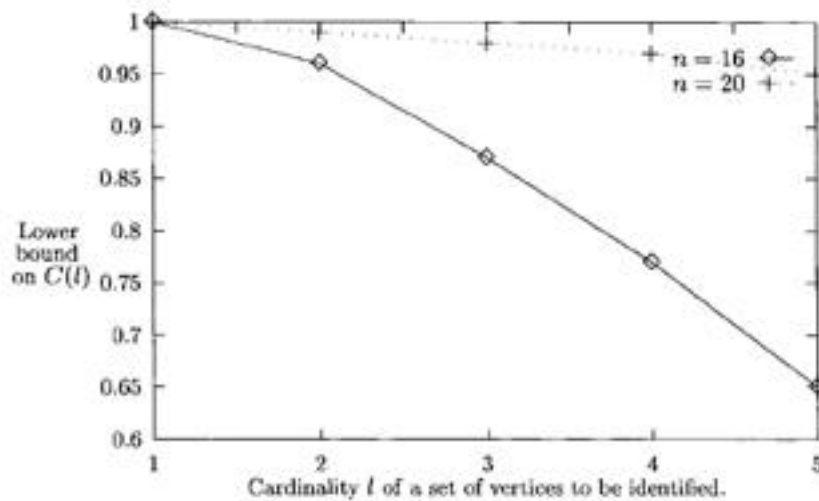
از پایین کراندار است، که در آن  $V(4)$  تعداد رؤس به فاصله ۴ یا کمتر از هر رأس موجود در گراف و  $N$  تعداد گره‌ها در گراف  $G$  است.

اثبات. اگر فاصله بین هر دو رأس در یک مجموعه حداقل ۵ باشد، این مجموعه از رؤس به طور یکتا قابل شناسایی است. توجه کنید که این شرط کافی است ولی لازم نیست. بنابراین بخشی از مجموعه‌های قابل شناسایی رؤس از پایین کراندار است با

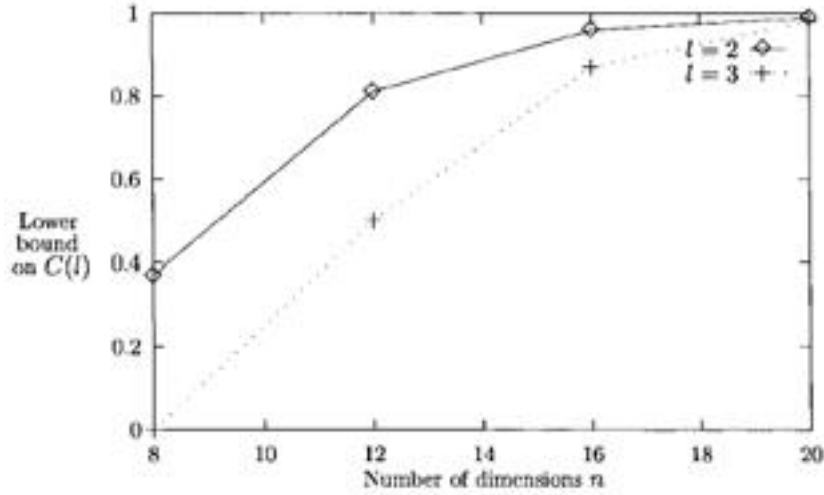
$$C(l) \geq \frac{N(N - V(4))(N - 2V(4)) \cdots (N - (l-1)V(4))}{\binom{N}{l} l!} = \prod_{i=0}^{l-1} \frac{N - iV(4)}{N - i}$$

□

مثلاً، برای یک مکعب  $p$ -تایی دو بعدی ( $p \geq 9$ )،  $V(4) = 40$  می‌باشد و برای یک مکعب دودویی  $n$  بعدی،  $V(4) = \sum_{i=1}^4 \binom{n}{i}$  می‌باشد. بالای ۹۶ درصد از مجموعه‌های دورآسی در یک مکعب دودویی ۱۶ بعدی قابل شناسایی هستند و این از قضیه پیروی می‌کند. شکل (۱.۴) کران پایین در بخشی از مجموعه‌های رؤس از اندازه بالاتر را در مکعب‌های دودویی که به طور یکتا قابل شناسایی هستند، نشان می‌دهد.



(a)



شکل ۱.۴

نتیجه ۱.۴ : وقتی که تعداد رئوس در یک گراف با درجه ثابت به بینهایت میل کند، اگر  $l = o(\sqrt{N})$ ، آنگاه بخشی از مجموعه‌های رئوس از اندازه دقیقاً  $l$  که به طور یکتا قابل شناسایی هستند به یک میل میکنند.

اثبات. فرض کنید  $\prod = \prod_{i=0}^{l-1} \left( \frac{N - iV(\mathcal{F})}{N - i} \right)$ ، براحتی می‌بینیم که برای  $i \lesssim \sqrt{N}$

$$\ln \frac{N - iV(\mathcal{F})}{N - i} = \ln \left( 1 - \frac{i(V(\mathcal{F}) - 1)}{N - i} \right) \sim - \frac{i(V(\mathcal{F}) - 1)}{N - i}$$

$$\cdot \prod \sim \sum_{i=1}^{l-1} - \frac{i(V(\mathcal{F}) - 1)}{N - i} \text{ و}$$

حال داریم

$$\left| \sum_{i=1}^{l-1} \frac{i(V(\mathcal{F}) - 1)}{N - i} \right| \leq \frac{(l-1)(V(\mathcal{F}) - 1)}{N - l + 1} (l-1)$$

و اگر  $\frac{l^2}{N}$ ، به سمت  $\circ$  میل کند چون  $V(4)$  ثابت است، خواهیم داشت

$$\lim_{N \rightarrow \infty} \frac{(l-1)(V(4)-1)}{N-l+1} (l-1) = \circ$$

□

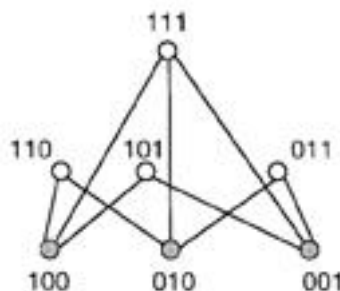
## ۲-۴ گراف‌های بهینه

در این جا یک روش برای ساختن گراف‌های بهینه که به کمترین تعداد کلمه کد برای شناسایی مجموعه‌های رئوس نیاز دارد، ارائه می‌دهیم. ما علاقه‌مند به ایجاد یک گراف با  $N$  رأس که تعداد کلمه‌کدهای آن برای شناسایی رئوس تنها، تا حد امکان نزدیک به  $\lceil \log_2(N+1) \rceil$  و برای شناسایی مجموعه‌هایی تا  $l$  رأس، نزدیک به  $\lceil \log_2 \sum_{i=0}^l \binom{N}{i} \rceil$  باشد، هستیم. ابتدا شناسایی رئوس منفرد ( $l=1$ ) را در نظر می‌گیریم.

یک گراف با  $N = 2^n - 1$  رأس که رأس‌ها با بردارهایی به طول  $n = \log_2(N+1)$  برچسب‌گذاری شده‌اند، را در نظر می‌گیریم:

$$(1, 0, 0, \dots, 0), (0, 1, 0, \dots, 0), \dots, (1, 1, \dots, 1)$$

همه بردارهای به وزن یک را به عنوان کلمه کد انتخاب می‌کنیم. رئوس غیرکلمه کد  $B = (b_1 b_2 \dots b_n)$  که  $b_j \in \{0, 1\}$  را در نظر می‌گیریم.  $B$  به کلمه کد  $(\underbrace{0, \dots, 0}_{i-1}, 1, 0, \dots, 0)$  متصل است اگر و تنها اگر  $b_i = 1$ . (یک مثال از این توپولوژی برای  $N = 7$  و  $n = 3$  در شکل (۲.۴) آمده است). بنابراین ساختاری بدست می‌آید که هر رأس را به وسیله یک مجموعه یکتا از کلمه‌کدها می‌پوشاند، و بنابراین شناسایی رئوس منفرد با استفاده از کمترین کلمه کد حاصل می‌شود.



شکل (۲.۴): یک گراف بهینه برای شناسایی یکتای رئوس تنها

حال این روش ساختن را به یک روش کلی برای به وجود آوردن گراف‌های بهینه (و کدها) برای شناسایی مجموعه‌های رئوس تعمیم می‌دهیم.

ماتریس  $A$  با سطرهای متناظر با کلمه‌کدها و ستون‌های متناظر با رئوس گراف را در نظر می‌گیریم. اگر کلمه کد  $i$  رأس  $j$  را بپوشاند، درایه  $a_{ij}$  در این ماتریس یک است. یک گراف بهینه به وسیله ایجاد  $A$  با می‌نیمم تعداد سطر ساخته می‌شود. برای شناسایی رئوس منفرد،  $A$  می‌تواند هر ماتریسی با ستون‌های غیرصفر متفاوت باشد. اگر  $OR$  منطقی هر  $k$  ( $k \leq l$ )، ستون از  $A$  یک بردار غیرصفر یکتا نتیجه دهد، آن‌گاه مجموعه‌های رئوس از اندازه حداکثر  $l$  قابل شناسایی هستند.  $\sum_{i=0}^l \binom{N}{i}$  مجموعه از اندازه حداکثر  $l$  وجود دارد. بنابراین یک کران پایین روی کمترین تعداد سطرهای  $A$ ، عبارت است از  $r(N, l)$

$$r(N, l) \geq \left\lceil \log_2 \sum_{i=0}^l \binom{N}{i} \right\rceil \quad \text{که به صورت زیر است}$$

پیدا کردن مقدار دقیق  $r(N, l)$  مشکل است. با اینحال، ساختار نزدیک به بهینه ماتریس  $A$  (و در نتیجه گراف) برای مجموعه‌های رئوس می‌تواند با به کار بردن کدهای افزوده به طول  $N$  (کاتز و سینگلتنون<sup>۱</sup> [۳۶]، بخش (۷.۶)) و تکنیک‌هایی برای تحلیل ناسازگاری در کانال‌های چند کاربره با  $N$  کاربر (ماسی<sup>۲</sup> [۲۷])، بدست آید. جدول (۱.۴) تعداد کلمه‌کدها در کدهای بهینه برای مجموعه‌های رئوس با اندازه حداکثر دو ( $l = 2$ ) و شکل (۳.۴) ماتریس  $A$  را برای گرافی با ۱۶ رأس و  $l = 2$  نشان می‌دهد.

$N$	۱۶	۲۵	۴۹	۶۴	۱۲۵	۳۴۳	۵۱۲	۲۴۰۱
$r(N, 2)$	۱۲	۱۵	۲۱	۲۴	۲۵	۳۵	۴۰	۴۹

جدول (۱.۴): تعداد کلمه‌کدها برای شناسایی مجموعه‌های رئوس با اندازه حداکثر دو

W.H.Kautz, R.R.Singleton<sup>۱</sup>

J.L.Massey<sup>۲</sup>

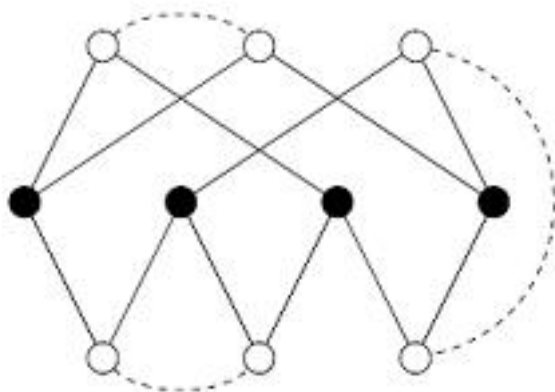
شکل زیر، ماتریس  $A$  متناظر با یک کد بهینه برای یک گراف با ۱۶ رأس،  $l = 2$ ، و ۱۲ کلمه کد را نشان می‌دهد.

$$A = \begin{pmatrix} 1 & 0 & 0 & 0 & 0 & 1 & 0 & 0 & 0 & 0 & 0 & 0 & 1 & 1 & 0 & 0 & 0 & 0 \\ 0 & 1 & 0 & 0 & 0 & 1 & 0 & 1 & 1 & 0 & 0 & 0 & 0 & 0 & 0 & 0 & 0 & 0 \\ 0 & 0 & 1 & 0 & 0 & 0 & 0 & 0 & 0 & 0 & 0 & 1 & 0 & 0 & 1 & 1 & 0 & 0 \\ 0 & 0 & 0 & 1 & 0 & 0 & 0 & 0 & 0 & 1 & 1 & 0 & 0 & 0 & 0 & 0 & 0 & 1 \\ 1 & 0 & 0 & 1 & 1 & 0 & 0 & 0 & 0 & 0 & 0 & 0 & 0 & 0 & 0 & 1 & 0 & 0 \\ 0 & 1 & 0 & 0 & 0 & 0 & 1 & 0 & 0 & 1 & 0 & 0 & 0 & 0 & 0 & 0 & 1 & 0 \\ 0 & 0 & 0 & 0 & 0 & 0 & 0 & 1 & 0 & 0 & 1 & 1 & 0 & 0 & 0 & 0 & 0 & 0 \\ 0 & 0 & 1 & 0 & 0 & 0 & 0 & 0 & 1 & 0 & 0 & 0 & 1 & 1 & 0 & 0 & 0 & 1 \\ 1 & 0 & 1 & 0 & 0 & 0 & 1 & 0 & 0 & 1 & 0 & 0 & 0 & 0 & 0 & 0 & 0 & 0 \\ 0 & 1 & 0 & 0 & 0 & 0 & 0 & 0 & 0 & 0 & 1 & 0 & 0 & 1 & 1 & 0 & 0 & 0 \\ 0 & 0 & 0 & 1 & 0 & 1 & 0 & 1 & 0 & 0 & 1 & 0 & 0 & 0 & 0 & 0 & 0 & 0 \\ 0 & 0 & 0 & 0 & 1 & 0 & 0 & 0 & 0 & 0 & 1 & 0 & 0 & 0 & 1 & 1 & 0 & 1 \end{pmatrix}$$

شکل (۳.۴)

### ۳-۴ گراف‌های بهینه بایک کران پایین مشخص

کران پایین قضیه (۱.۳) دقیق است. گراف‌هایی که به این کران می‌رسند را می‌توان به راحتی ساخت. برای هر  $\Delta$  و  $k$  داده شده، می‌توان یک گراف با  $n = k \cdot \frac{\Delta + 2}{4}$  رأس که دارای یک کد شناسایی از اندازه  $k$  است، ساخت. برای ساختن چنین گرافی، مجموعه مستقل  $C$  با  $k$  رأس به عنوان کدشناسایی و  $\frac{\Delta}{4}$  رأس دیگر در نظر می‌گیریم. آن‌گاه  $V \setminus C$  را به آن رئوسی از  $C$  وصل می‌کنیم که هیچ دو رأسی همسایه‌های مشابه در  $C$  نداشته باشد، همه رئوس  $C$  کمتر مساوی  $\Delta$  همسایه و همه رئوس  $V \setminus C$  حداقل دو همسایه در  $C$  داشته باشد. سرانجام، یال‌های بین رئوسی که کد نیستند را اضافه می‌کنیم. یک مثال از چنین گراف‌هایی برای  $k = 4$  و  $\Delta = 3$  در شکل (۴.۴) آمده است. کلمه‌کدها سیاه‌رنگ هستند و یال‌های نقطه چین یال‌های بهینه بین رئوسی که کد نیستند، می‌باشد.



شکل (۴.۴): گرافی که با کران پایین قضیه (۱.۳) بدست می آید.

توجه کنید که کران پایین کلی قضیه (۸.۲) روی  $k$  ( $k \geq \lceil \log_2(n+1) \rceil$ ) همچنان برقرار است، ازینرو روابط زیر باید برای این گرافها برقرار باشد:

$$k \cdot \frac{\Delta + 2}{2} \leq 2^k - 1,$$

اگرو فقط اگر

$$\Delta \leq \frac{2^{k+1} - 2}{K} - 2,$$

یا

$$\Delta \leq \frac{2n}{\lceil \log_2(n+1) \rceil} - 2.$$

حال، حالت گرافهایی که دقیقاً این کران پایین را می پذیرند در نظر می گیریم، یعنی گرافهایی که یک کد شناسایی از اندازه دقیقاً  $k = \frac{2n}{\Delta + 2}$  (بدون حداکثر) دارند. می توانیم برای مشخص کردن ساختار چنین گرافهایی فرض کنیم که  $G$  دارای  $n$  رأس، ماکزیمم درجه  $\Delta$  و یک کد شناسایی از اندازه

$$k = \frac{2n}{\Delta + 2} \text{ است.}$$

تقسیم  $V(G)$  نشان داده شده در شکل (۱.۳) را در نظر بگیرید و رابطه (۳.۳) از اثبات قضیه (۱.۳) را به یاد آورید. داشتیم:

$$2n + \frac{|C_2|}{2} \leq k \cdot (\Delta + 2),$$

$$\frac{2n}{\Delta + 2} + \frac{|C_2|}{2(\Delta + 2)} \leq k = \frac{2n}{\Delta + 2},$$

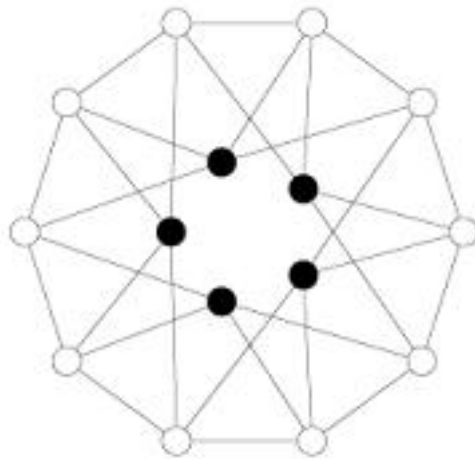
پس اگر نامساوی برقرار باشد، به وضوح  $|C_2| = 0$ . این ایجاب می‌کند که  $|C_1| = k$ ، پس  $|N_1| = 0$  چون  $|C_1| + |N_1| = k$ . پس گرافی که این کران پایین را می‌پذیرد یک مجموعه مستقل به عنوان کد دارد و هر رأس غیرکد به حداقل دو رأس کد متصل است. توجه کنید که  $k = \frac{2n}{\Delta + 2}$  و  $k \cdot \Delta = 2 \cdot (n - k)$ ، همه رئوس غیرکد به دقیقاً دو رأس کد متصل هستند، و همه رئوسی که کد هستند  $\Delta$  همسایه دارند. فرض کنید  $\Delta$  یک عدد صحیح باشد. برای ساختن یک گراف که دقیقاً دارای این کران پایین باشد، می‌توانیم روش ساختن زیر را به کار ببریم:

- (۱) گراف  $\Delta$ -منتظم و ساده  $D$  را با  $k$  رأس در نظر می‌گیریم، این رئوس کد خواهند بود.
- (۲) روی هر یال از  $D$  یک رأس اضافه قرار می‌دهیم: هر یک از رئوس جدید به دو رأس متفاوت از گراف منتظم  $D$  متصل است.

(۳) یال‌های دلخواه می‌تواند مجموعه بین رئوس غیرکد باشد، این عمل هیچ تأثیری روی کد ندارد.

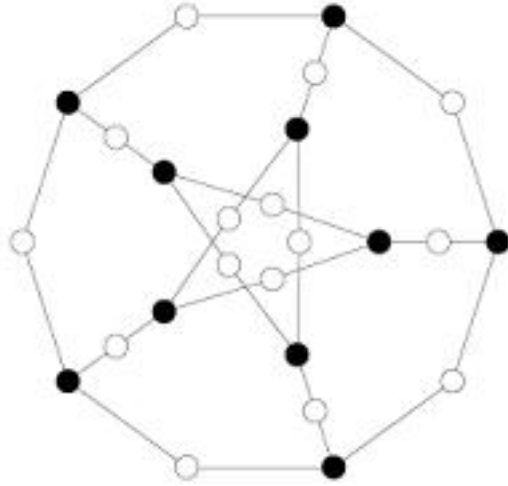
واضح است که این ساختار گرافی را بدست می‌دهد که خواص وصف شده در بحث قبلی را داراست. توجه کنید اگر کسی بخواهد گراف ساخته شده  $\Delta$ -منتظم باشد، باید یک گراف  $(\Delta - 2)$ -منتظم  $H$  با  $(n - k)$  رأس موجود باشد و رئوس غیرکد باید در آخرین مرحله ساختار در  $H$  لحاظ شده باشد. چنین کاری لزوماً ممکن نیست: برای مثال، اگر گراف اصلی  $D$  دارای تعداد فرد  $n_e$  یال باشد،  $H$  باید دارای

$n_e$  رأس باشد، که این غیرممکن است، چون هیچ گراف منتظمی با تعداد فرد رأس وجود ندارد. بنابراین در این حالت گراف ساخته شده نمی‌تواند منتظم باشد. یک نمونه از گراف بهینه ۴-منتظم ساخته شده با استفاده از گراف  $D = K_5$  برای مرحله اول ساختن و دور  $H = C_{10}$  در مرحله آخر را در شکل (۵.۴) ببینید. یک نمونه از گراف بهینه با ماکزیمم درجه ۳ که نمی‌تواند منتظم باشد، ساخته شده با استفاده از گراف پترسن  $P_{10}$  دارای ۱۰ رأس و ۱۵ یال به عنوان گراف  $D$  و بدون اضافه کردن یال بین رئوس غیرکد در شکل (۶.۴) آمده است



شکل ۵.۴: نمونه‌ای از یک گراف بهینه ۴-منتظم

به طور معکوس، همه گراف‌هایی که اکیداً به این کران پایین می‌رسند را می‌توان با این روش ساخت. در واقع، چنین گرافی،  $G$ ، و کد شناسایی بهینه آن،  $C$ ، را در نظر می‌گیریم. همه یال‌های بین رئوس غیرکد به دقیقاً دو رأس کد متصل است و هر رأس کد دقیقاً  $\Delta$  همسایه دارد. برای هر رأس غیرکد  $v$ ، یک یال بین دو همسایه‌اش در  $C$  ایجاد کرده و  $v$  را حذف می‌کنیم، گراف بدست آمده یک گراف  $\Delta$ -منتظم با  $k$  رأس است. بنابراین نحوه ساخت گفته شده را می‌توان برای بدست آوردن  $G$  به کار برد. پس همه چنین گراف‌هایی می‌توانند با کاربردن این روش بدست آیند.



شکل ۶.۴: نمونه‌ای از یک گراف بهینه با ماکزیمم درجه ۳

## گراف تصادفی

در ریاضیات، گراف تصادفی یک گراف است که به وسیله برخی فرایندهای تصادفی ایجاد می‌شود. تئوری گراف‌های تصادفی بر اشتراکات بین تئوری گراف و تئوری احتمال واقع است و خواص انواع گراف‌های تصادفی را بررسی می‌کند.

- فرض کنید  $E$  مجموع تعداد یال‌های ممکن باشد در این صورت  $E = \binom{n}{2} = \frac{n(n-1)}{2}$
- $T(n, p)$ : مجموعه گراف‌های ساخته شده بوسیله کشیدن یال‌ها با احتمال  $p$ ، مستقل از دیگری است (احتمال وجود یال  $p$  و احتمال عدم وجود یال  $1-p$  می‌باشد).
- $G(n, p)$  یک تحقیق تصادفی از  $T(n, p)$  را نشان می‌دهد.
- $G(n, m)$ : مجموعه همه گراف‌ها با  $n$  رأس و دقیقاً  $m$  یال است.
- $G(n, m)$  یک درک تصادفی از  $T(n, m)$  را نشان می‌دهد.
- اگر  $m = PE$  باشد، این دو گراف تقریباً با هم قابل تعویض هستند.
- می‌توانیم یک درک از  $G(n, p)$  به طریق زیر بسازیم:

- (i) با  $n$  رأس مجزا شروع می‌کنیم.  
(ii) در هر مرحله زمان مجزا، یک یال که به صورت تصادفی از مجموعه یال‌های غایب انتخاب شده، اضافه می‌کنیم.

(iii) در زمان  $t$  (یعنی زمان اضافه کردن  $t$  یال)، یک درک از  $G(n, p)$  ساخته‌ایم که  $p = \frac{t}{E}$ .

- این یک فرایند مارکوف است (گراف در زمان  $t + 1$  را از گراف در زمان  $t$  می‌سازد).

## ۱-۵ تابع آستانه‌ای

یک خاصیت یکنواخت، یک خاصیت گرافی است که با اضافه شدن یال‌ها حفظ می‌شود. یک تابع آستانه‌ای نسبت به خاصیت  $Q$ ، تابعی مانند  $t(n)$  است به طوریکه:

- $\frac{p(n)}{t(n)} \rightarrow 0$  ایجاب کند که هیچ گراف  $T(n, p)$  در خاصیت  $Q$  صدق نکند.
- $\frac{p(n)}{t(n)} \rightarrow \infty$  نیز ایجاب کند که هر گراف  $T(n, p)$  در خاصیت  $Q$  صدق کند.

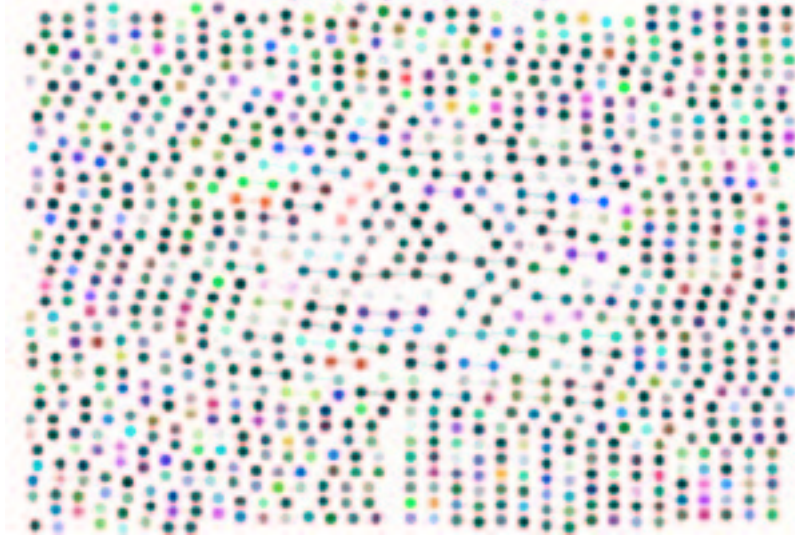
### ۱-۱-۵ تابع آستانه‌ای برای درخت‌ها و دورها

• درخت‌ها از مرتبه  $k$   $t(n) = n^{-\frac{k}{k-1}}$

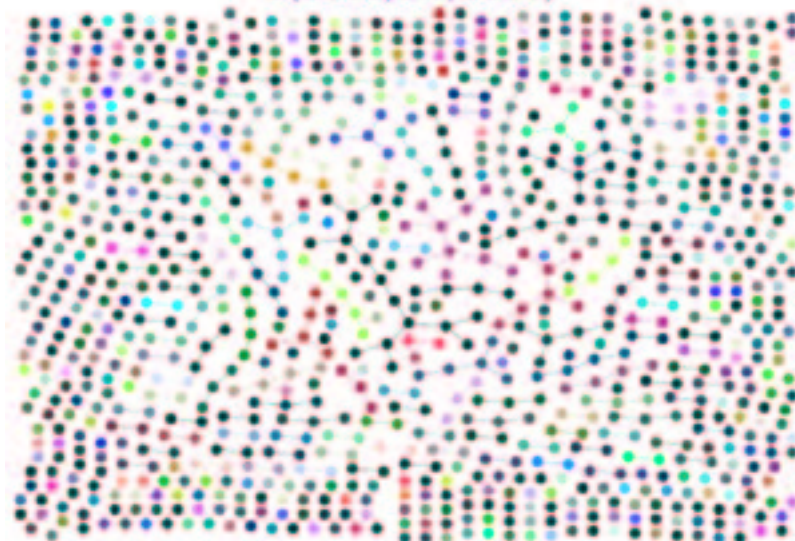
• دورها از مرتبه  $k$   $t(n) = n^{-1}$

• گراف‌های کامل  $k_k$   $t(n) = n^{-\frac{2}{(k-1)}}$

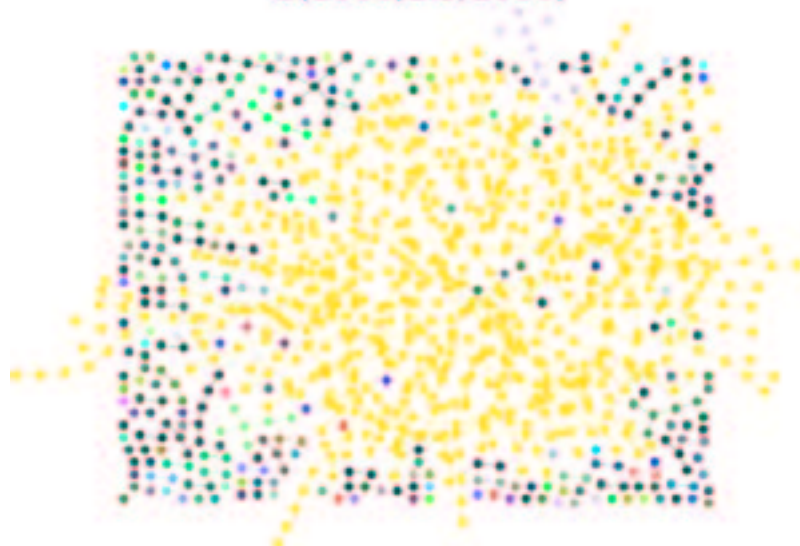
$G(1000, 0.2/1000)$

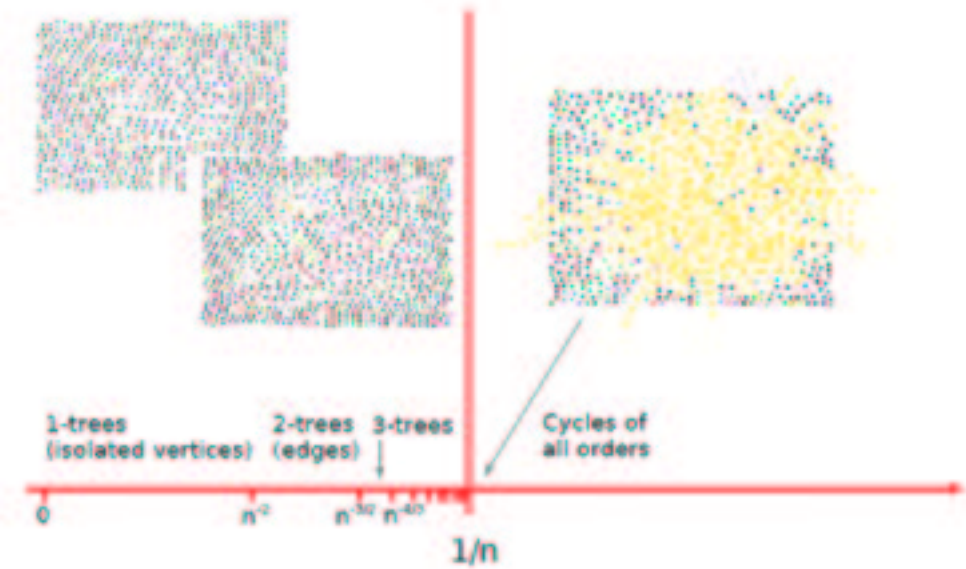


$G(1000, 0.5/1000)$

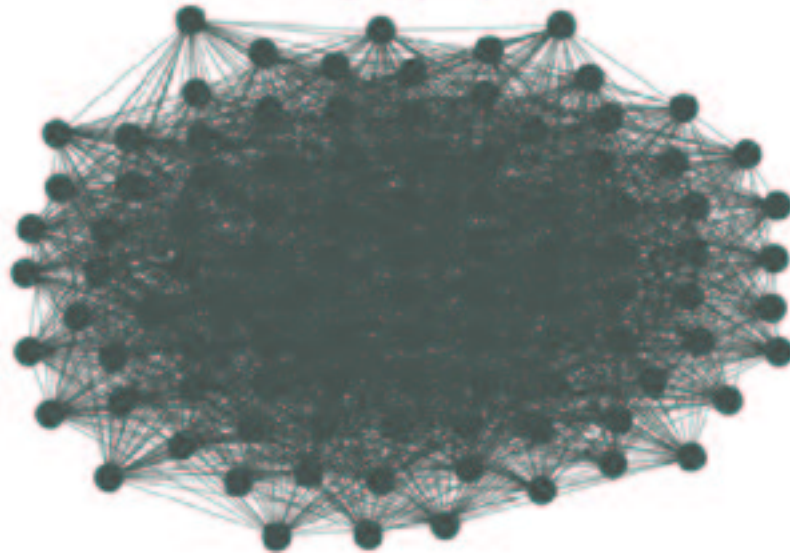


$G(1000, 1.5/1000)$



Recap: The Evolution from  $p=0$  to  $p=1/n$ 

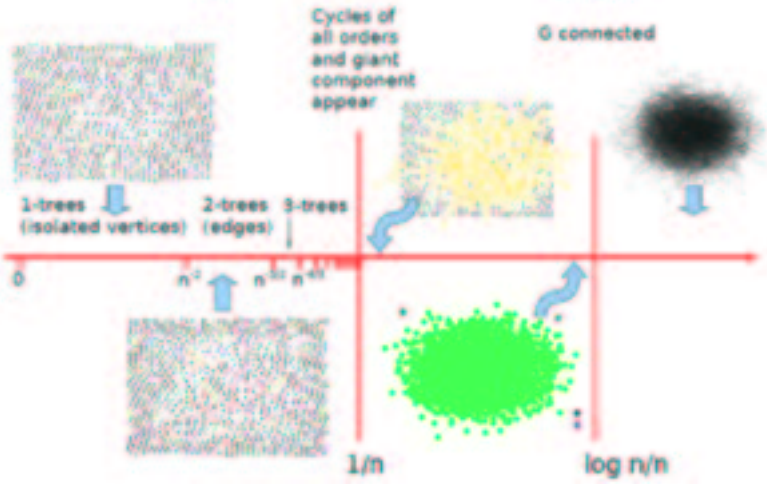
$G(100, 0.5)$



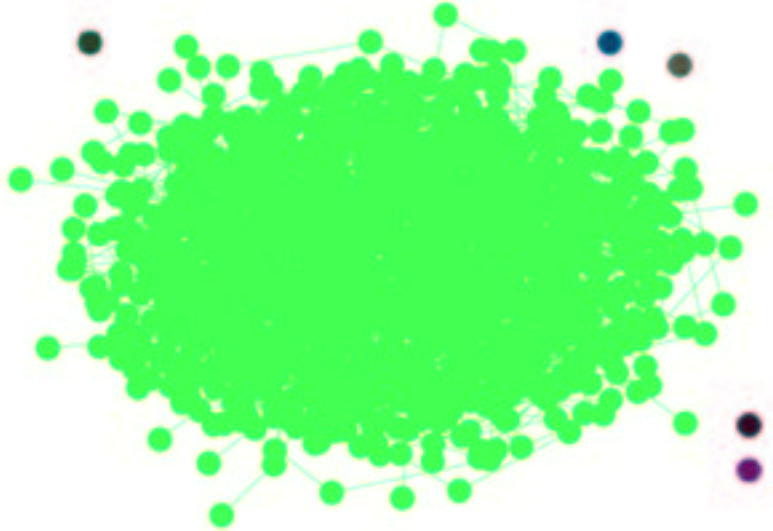
۲-۵ همبندی

$t(n) = \frac{\log n}{n}$  یک تابع آستانه‌ای برای ناپدید شدن رئوس تنه‌است (یک تابع آستانه‌ای برای همبندی است).

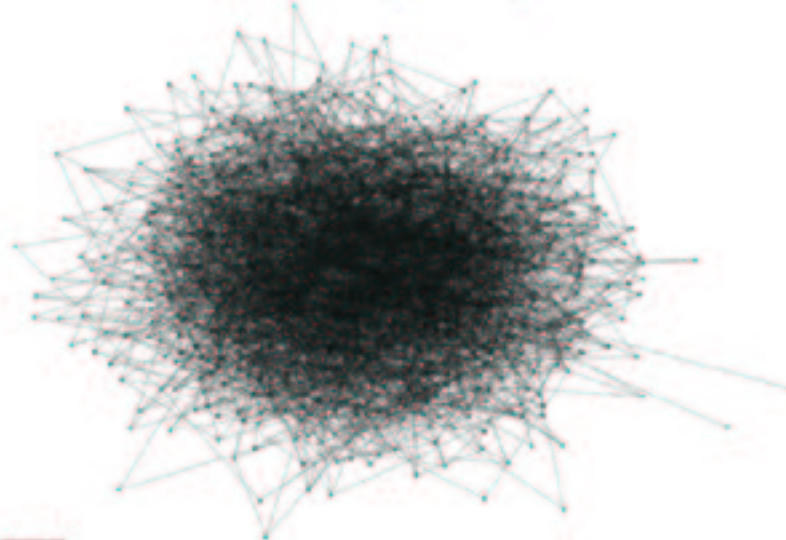
Recap: The Evolution of  $G(n,p)$

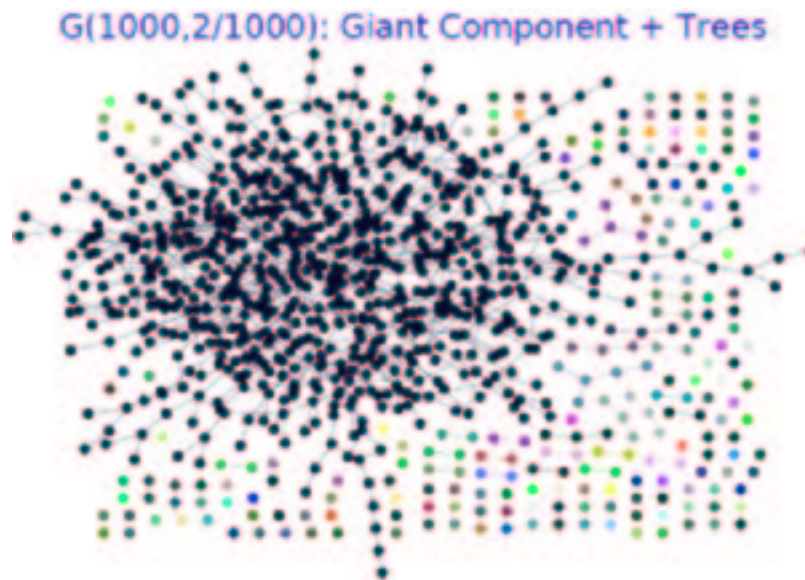


$G(1000, 5/1000)$



$G(1000, 8/1000)$





### ۱-۲-۵ گذار فاز در همبندی

- زیر  $p = \frac{1}{n}$  فقط مؤلفه‌های همبند کوچک داریم.
- بالای  $p = \frac{1}{n}$  یک مؤلفه بزرگ داریم که به سرعت به بزرگترین حجم می‌رسد و همه مؤلفه‌های دیگر زیرخطی باقی می‌مانند.
- متوسط درجه رأس،  $z$ :

$$z = \frac{(\text{تعداد یالها} \times ۲)}{\text{تعداد رئوس}} = \frac{۲pE}{n} = \frac{pn(n-1)}{n} = (n-1)p \approx np.$$

۵-۲-۲ توزیع درجه  $G(n, p)$ 

حال  $G(n, p)$  را با یک مقدار ثابت  $p$  و  $n$  بزرگ در نظر می‌گیریم، یعنی درجه  $z = (n - 1)p$  ثابت است. وجود یا عدم وجود هر یال مستقل از یال‌های دیگر است. احتمال اینکه رأس  $i$  به همه  $n$  رأس دیگر متصل باشد  $p^n$  است. احتمال اینکه رأس  $i$  تنها باشد  $(1 - p)^n$  است. احتمال اینکه یک رأس از درجه  $k$  باشد از توزیع دوجمله‌ای زیر تبعیت می‌کند:

$$p_k = \binom{n}{k} p^k (1 - p)^{n-k}$$

وقتی  $n \rightarrow \infty$ ، دو جمله‌ای به توزیع پواسن همگراست.

اثبات. می‌دانیم  $z = (n - 1)p \sim np$  (برای  $n$  بزرگ)

$$\begin{aligned} \lim_{n \rightarrow \infty} p_k &= \lim_{n \rightarrow \infty} \binom{n}{k} p^k (1 - p)^{n-k} \\ &= \lim_{n \rightarrow \infty} \frac{n!}{(n-k)! k!} \left(\frac{z}{n}\right)^k \left(1 - \frac{z}{n}\right)^{n-k} \\ &= \frac{z^k e^{-z}}{k!}. \end{aligned}$$

□

## فصل ۶

### کدهای شناسایی در گراف‌های تصادفی

در این فصل با کدهای شناسایی مجموعه‌هایی از رئوس در شبکه‌های تصادفی سروکار داریم. برای گراف‌های تصادفی از مدل  $T(n, p)$  استفاده خواهیم کرد که در آن هر کدام از  $\binom{n}{2}$  یال ممکن، با احتمال  $p$  وجود دارد. در این فصل علاوه بر حدود بالایی و پایینی برای کمترین اندازه ممکن یک کد ( $1 \leq l$ )-شناسایی در یک گراف تصادفی، توابع آستانه‌ای برای خاصیت دارا بودن چنین کدی را ارائه می‌دهیم. این نتایج وجودی را از ساختارهای احتمالاتی بدست می‌آوریم، همچنین کدهای شناسایی را با کدهای افزوده مرتبط می‌کنیم.

### ۶-۱ شبکه‌هایی با ساختار غیرمشخص

بدون اینکه هیچ پیش فرضی روی ساختار شبکه داشته باشیم مایلیم بدانیم که این مسئله با رشد اندازه شبکه چه رفتاری دارد؟ اگر اتصالات بین پردازشگرها را به صورت تصادفی انتخاب کنیم احتمال اینکه شبکه حاصل دارای یک کد- $l$  شناسایی باشد چیست؟ و امید ریاضی مجانبی یک کد- $l$  شناسایی در چنین شبکه‌ای چه خواهد بود؟

برای بررسی چنین سؤالاتی کدهای  $l$ -شناسایی را در گراف‌های تصادفی بررسی می‌کنیم. ما از مدل  $T(n, p)$  استفاده خواهیم کرد که در آن هر کدام از  $\binom{n}{m}$  یال ممکن به صورت مستقل با احتمال  $p$  وجود دارد که  $p$  احتمالاً تابعی از  $n$  است. ما از نوشتار استاندارد  $G_{n,p}$  برای نشان دادن یک گراف تصادفی برجسب‌دار از فضای احتمال  $T(n, p)$  استفاده خواهیم کرد. برای گراف  $G$  داده شده با  $n$  رأس و  $m$  یال احتمال آن که  $G_{n,p} = G$  باشد برابر با  $p^m(1-p)^{\binom{n}{2}-m}$  است.

می‌گوییم خاصیت  $\Pi$  برای تقریباً هر گرافی در  $G_{n,p}$  برقرار است (یا  $\Pi$  با احتمال زیاد برقرار است) اگر و تنها اگر احتمال ( $G_{n,p}$  خاصیت  $\Pi$  را دارد)  $Pr$  با بزرگ شدن  $n$  به یک میل کند. به طور مشابه  $\Pi$  برای تقریباً هیچ گرافی در  $T(n, p)$  برقرار نیست اگر و تنها اگر ( $G_{n,p}$  خاصیت  $\Pi$  را دارد)  $Pr$  با بزرگ شدن  $n$  به صفر میل کند. در این جا  $\log x$  نمایانگر لگاریتم در مبنای  $e$  است. نمادهای  $\sim, \Theta, O, o, w$  که تعریف آن‌ها به صورت زیر است را به کار خواهیم برد. برای دنباله‌های  $f(x)$  و  $g(x)$  داریم:

(i) اگر  $\frac{f(n)}{g(n)}$  به سمت  $\infty$  میل کند داریم  $f(n) = w(g(n))$ .

(ii) اگر  $\frac{f(n)}{g(n)}$  به سمت  $0$  میل کند داریم  $f(n) = o(g(n))$ .

(iii) اگر  $f(n) \leq g(n)(1+o(1))$  و  $f(n) \geq g(n)(1-o(1))$  باشد، داریم  $f(n) \sim g(n)$ .

(iv) اگر  $f(n) \leq cg(n)$  با ثابت  $c$  برای هر  $n$  برقرار باشد، داریم  $f(n) = O(g(n))$ .

(v) اگر  $c_1 f(n) \leq g(n) \leq c_2 f(n)$  برای هر  $n$  با ثابت‌های مناسب  $c_1$  و  $c_2$  برقرار باشد، داریم

$$f(n) = \Theta(g(n))$$

## ۲-۶ کدهای شناسایی در گراف‌های تصادفی

در قضیه‌ای که در ادامه می‌آید رفتار مجانبی دقیق اندازه  $c = c(G)$  از یک کد شناسایی کمینه را در یک گراف تصادفی نه چندان تنک و نه چندان چگال مشخص خواهیم کرد.

## ۳-۶ اندازه کمینه یک کد شناسایی

در این بخش فرض می‌کنیم  $q = p^2 + (1-p)^2$ ، (یک رأس از  $C$  به هر دوی  $x$  و  $y$  متصل است یا به هیچ‌یک از  $x$  و  $y$  متصل نیست).

قضیه ۱.۶ فرض کنیم  $p, (1-p) \geq \frac{4 \log \log n}{\log n}$ ، آنگاه برای تقریباً هر گراف در  $T(n, p)$  داریم

$$c(G_{n,p}) \sim \frac{2 \log n}{\log(\frac{1}{q})}$$

به عبارت دیگر برای هر ثابت  $\varepsilon > 0$  داریم

$$\lim_{n \rightarrow \infty} Pr(|c(G_{n,p}) \cdot (\frac{2 \log n}{\log(\frac{1}{q})})^{-1} - 1| \geq \varepsilon) = 0$$

برای اینکه کران بالایی برای  $c$  را ببینیم به نتیجه بعدی نیاز داریم.

گزاره ۱.۶: فرض کنیم  $C$  یک زیر مجموعه از رئوس از اندازه  $c$  در  $G_{n,p}$  باشد، احتمال آن که  $C$  یک کد شناسایی از  $G_{n,p}$  نباشد به وسیله

$$Pr(C \text{ یک کد شناسایی نباشد}) \leq \binom{c}{2} pq^{c-2} + c(n-c)pq^{c-1} + \binom{n-c}{2} q^c$$

محدود می‌شود.

اثبات. فرض کنید  $C$  یک زیر مجموعه از رئوس از اندازه  $c$  باشد. برای هر جفت از رئوس مجزای  $x \neq y$  رخداد  $\{B(x) \cap C = B(y) \cap C\}$  را با  $A_{x,y}(C)$  نشان می‌دهیم. رخداد  $A_{x,y}(C)$  بیان می‌دارد که هر رأس از  $C$  نسبت به  $x$  و  $y$  وضعیت اتصال مشابهی دارد و نتیجه روشن این جمله اینست که  $x$  و  $y$  به هم متصل‌اند اگر لااقل یکی از آن‌ها در  $C$  باشد. احتمال آن که  $C$  یک کد تفکیک کننده نباشد

$$Pr\left(\bigcup_{x \neq y} A_{x,y}(C)\right) \leq \sum_{x \neq y} Pr(A_{x,y}(C))$$

اگر  $x \in C$  و  $y \in C$  باشد آن‌گاه  $x$  با احتمال  $p$  به  $y$  متصل است و احتمال اتصال  $c - 2$  رأس دیگر درون  $C$  به  $x$  و  $y$  برابر  $q^{c-2}$  می‌باشد، یعنی  $c - 2$  رأس دیگر درون  $C$  یا به هر دوی  $x$  و  $y$  متصل است یا به هیچ‌کدام متصل نیست. پس  $Pr(A_{x,y}(C)) = pq^{c-2}$ . اگر  $x \in c$  و  $y \notin c$  یا  $x \notin c$  و  $y \in c$  باشد، برای مثال حالت  $x \in c$  را در نظر می‌گیریم. می‌دانیم  $x \in B(x)$  و چون  $x \in c$  پس  $x \in B(x) \cap c$ . اما طبق فرض  $\{B(x) \cap C = B(y) \cap C\}$ ، در نتیجه  $x \in B(y)$ ، پس  $x$  به  $y$  متصل است، و به این صورت جمله‌ای که در توضیح  $A_{x,y}(C)$  آوردیم اثبات می‌شود، در نتیجه  $x$  با احتمال  $p$  به  $y$  متصل است و احتمال اتصال  $c - 1$  رأس دیگر درون  $C$  به  $x$  و  $y$  برابر  $q^{c-1}$  می‌باشد پس  $Pr(A_{x,y}(C)) = pq^{c-1}$ . و اگر  $x \notin c$  و  $y \notin c$ ، رأس درون  $C$  نسبت به  $x$  و  $y$  وضعیت اتصال مشابهی دارند یعنی  $Pr(A_{x,y}(C)) = q^c$ . بنابراین

$$Pr\left(\bigcup_{x \neq y} A_{x,y}(C)\right) \leq \binom{c}{2} pq^{c-2} + c(n-c)pq^{c-1} + \binom{n-c}{2} q^c$$

□

اکنون حد بالایی واضح است، به عبارت دیگر:

لم ۱.۶: فرض کنید  $\varepsilon$  دارای خاصیت  $(n^\varepsilon \rightarrow \infty)$  باشد که معادل با  $(\varepsilon = w((\log n)^{-1}))$  است و  $p$  و  $1 - p$  نیز به صورت  $w((\log n)^{-1})$  هستند، آن‌گاه تقریباً هر گراف در  $T(n, p)$ ، کد شناسایی از اندازه کمتر یا مساوی  $\frac{(2 + \varepsilon) \log n}{\log(\frac{1}{q})}$  می‌پذیرد.

اثبات. از گزاره (۱.۶) برای هر زیر مجموعه  $C \subseteq V$  از اندازه  $c = c(n)$  داریم

$$Pr(C \text{ یک کد شناسایی نباشد}) \leq \binom{c}{2} pq^{c-2} + c(n-c)pq^{c-1} + \binom{n-c}{2} q^c$$

به راحتی می‌بینیم که اگر هر دوی  $p$  و  $1 - p$  به صورت  $w((\log n)^{-1})$  باشند آن‌گاه برای  $c = n$  این کمیت به صفر میل می‌کند، که ثابت می‌کند برای چنین  $p$  تقریباً هر گراف در  $T(n, p)$  کد شناسایی

می‌پذیرد. قرار می‌دهیم  $c = \frac{(2 + \varepsilon) \log n}{\log(\frac{1}{q})}$

$$Pr(C \text{ یک کد شناسایی نباشد}) \leq \frac{q^c (n-c)^2}{2} \left[ \frac{c(c-1)}{(n-c)^2} \cdot \frac{p}{q^2} + \frac{2c}{n-c} \cdot \frac{p}{q} + \frac{n-c-1}{n-c} \right],$$

$$Pr(C \text{ یک کد شناسایی نباشد}) \leq \frac{(n-c)^2}{2} q^c \left[ 1 + \frac{2c}{n-c} \frac{p}{q} + \frac{c^2}{(n-c)^2} \frac{p}{q^2} \right].$$

چون  $p$  و  $1-p$  هر دو به صورت  $w((\log n)^{-1})$  هستند داریم  $c = o(n)$  یعنی  $\frac{c}{n} \rightarrow 0$ ، در نتیجه عبارت داخل کروشه به ۱ میل می‌کند. نشان می‌دهیم عبارت باقیمانده یعنی  $\frac{(n-c)^2}{2} q^c$  به صفر میل می‌کند. می‌دانیم  $q^c = \exp\{c \log q\}$  و  $(n-c)^2 = \exp\{2 \log(n-c)\}$  و نیز طبق فرض،

$$c \leq \frac{(2 + \varepsilon) \log n}{\log(\frac{1}{q})} \text{ در نتیجه } -c \log q \geq (2 + \varepsilon) \log n$$

$$\begin{aligned} (n-c)^2 q^c &= \exp\{2 \log(n-c) + c \log q\} \\ &\leq \exp\{2 \log(n-c) - (2 + \varepsilon) \log n\} \\ &= \underbrace{\exp\{2 \log(n-c) - 2 \log n\}}_{\text{عدد منفی}} \exp\{-\varepsilon \log n\} \\ &\leq n^{-\varepsilon} = o(1). \end{aligned}$$

□

روشن است که در هر گراف اندازه یک کد شناسایی لا اقل  $\lceil \log_2(n+1) \rceil$  است (به روشنی مجموعه‌های تشخیصی  $I(x, C)$  زیرمجموعه‌های ناتهی متمایز  $2^C$  هستند)، بنابراین اندازه کمینه یک کد شناسایی برای یک گراف تصادفی تقریباً به طور حتم  $\Theta(\log n)$  است. برای عمده مدل‌های گراف تصادفی با  $p = \frac{1}{n}$  جواب در حالت مجانبی به صورت زیر است:

نتیجه ۱.۶: با احتمال زیاد داریم  $c(G_{n, \frac{1}{2}}) \sim 2 \log_2^n$

توجه کنید که هر کد شناسایی در هر گراف  $n$  رأسی حداقل از اندازه  $\lceil \log_2(n+1) \rceil$  است.

## ۴-۶ آستانه احتمال برای داشتن کد شناسایی

به منظور سروکار داشتن با توابع آستانه‌ای، به دو نتیجه بنیادی از اردوس و رینی<sup>۱</sup> (مراجع [۳۴, ۳۳]) را ببینید (نیاز داریم، که در اینجا آمده است. این قضیه‌ها بسیار بدقت توابع آستانه‌ای را برای تعداد مؤلفه‌های همبندی در یک گراف تصادفی که درخت‌ها هستند توصیف می‌کنند.

قضیه ۲.۶ فرض کنید متغیر تصادفی  $X$  مساوی با تعداد رأس‌های تنها در  $G_{n,p}$  باشد.

- (i) اگر  $pn - \log n \rightarrow -\infty$ ، آن‌گاه برای هر  $l \in \mathbb{R}$  داریم  $Pr(X \geq l) \rightarrow 1$
- (ii) اگر برای  $x \in \mathbb{R}$  داشته باشیم  $pn - \log n \rightarrow x$ ، آن‌گاه  $X$  به توزیع پواسن با میانگین  $\lambda := e^{-x}$  میل می‌کند که برای همه  $r \geq 0$  خواهیم داشت  $Pr(X = r) \rightarrow \frac{e^{-\lambda} \lambda^r}{r!}$
- (iii) اگر  $pn - \log n \rightarrow +\infty$ ، آن‌گاه برای تقریباً هر گراف در  $T(n, p)$  داریم  $X = 0$ .

قضیه ۳.۶ اگر برای هر  $k \geq 2$ ،  $T_k$  متغیر تصادفی مساوی با تعداد مؤلفه‌های  $G_{n,p}$ ، که درخت از مرتبه  $k$  هستند، باشد آن‌گاه

- (i) اگر  $p = o(n^{\frac{-k}{k-1}})$ ، آن‌گاه برای تقریباً هر گراف در  $T(n, p)$  داریم  $T_k = 0$ .
- (ii) اگر برای ثابت  $z > 0$  داشته باشیم  $z n^{\frac{k}{k-1}} p \rightarrow z$ ، آن‌گاه  $T_k$  به توزیع پواسن با میانگین

$$Pr(T_k = r) \rightarrow \frac{e^{-\lambda} \lambda^r}{r!} \quad \text{میل می‌کند و برای همه } r \geq 0 \text{ داریم } \lambda := \frac{z^{k-1} k^{k-2}}{k!}$$

P. Erdos, A Renyi<sup>۱</sup>

(iii) اگر داشته باشیم  $pn^{\frac{k}{k-1}} \rightarrow +\infty$  و  $pkn - \log n - (k-1)\log \log n \rightarrow -\infty$ ، آن‌گاه برای هر

$$l \in \mathbb{R} \text{ داریم } \Pr(T_k \geq l) \rightarrow 1$$

(iv) اگر برای  $x \in \mathbb{R}$  داشته باشیم  $pkn - \log n - (k-1)\log \log n \rightarrow x$ ، آن‌گاه  $T_k$  به توزیع پواسن

$$\text{با میانگین } k! \times \frac{e^{-x}}{k} \text{ میل می‌کند.}$$

(v) اگر داشته باشیم  $pkn - \log n - (k-1)\log \log n \rightarrow +\infty$ ، آن‌گاه تقریباً هر گراف در

$$T(n, p) \text{ داریم } T_k = 0$$

به عنوان نتیجه‌ای از گزاره (۱.۶)، می‌توان گفت اگر  $p \neq 1$  ثابت باشد آن‌گاه هر گراف در  $T(n, p)$  یک کد شناسایی دارد. اما اگر  $p$  را تابعی از  $n$  قرار دهیم این نتیجه لزوماً صحیح نخواهد بود. برای مثال اگر  $p = p(n)$  بسیار بزرگ باشد آن‌گاه  $G_{n,p}$  تقریباً به طور حتم شامل دو رأس جهانی خواهد بود (یعنی رأسی که با همه رئوس دیگر همسایه است)، که مانع می‌شود که  $G_{n,p}$  یک کد شناسایی داشته باشد، از سوی دیگر اگر  $p$  بسیار کوچک باشد، طوری که تقریباً یالی وجود نداشته باشد آن‌گاه  $G_{n,p}$  یک کد شناسایی خواهد داشت. اما برای یک  $p$  کوچک اما نه خیلی کوچک تقریباً به طور حتم یال‌هایی تنها در  $G_{n,p}$  وجود خواهند داشت که مانع از داشتن یک کد شناسایی می‌شود. نشان خواهیم داد که یال‌های تنها و رئوس جهانی تنها موانع داشتن کد شناسایی هستند. به طور خلاصه وضعیت به صورت زیر است:

قضیه ۴.۶ برای هر  $\epsilon > 0$

• اگر  $p = o(n^{-2})$  باشد، آن‌گاه تقریباً هر گراف در  $T(n, p)$  یک کد شناسایی دارد (تقریباً به طور

حتم  $C$  یکتاست - تمام مجموعه رئوس).

• اگر  $pn^2 \rightarrow \infty$  و  $p \leq \left(\frac{1}{\gamma n}\right)(\log n + (1 - \varepsilon) \log \log n)$  باشد، آنگاه تقریباً هیچ گرافی در  $T(n, p)$  کد شناسایی ندارد.

• اگر  $\left(\frac{1}{\gamma n}\right)(\log n + (1 + \varepsilon) \log \log n) \leq p \leq 1 - \left(\frac{1}{n}\right)(\log n + \varepsilon \log \log n)$ ، آنگاه تقریباً هر گراف در  $T(n, p)$  کد شناسایی دارد.

• اگر  $p \geq 1 - \frac{1}{n}(\log n - \varepsilon \log \log n)$ ، آنگاه تقریباً هیچ گرافی در  $T(n, p)$  کد شناسایی ندارد.

توجه کنید که بازه غیربندی وجود یک کد، نامتقارن است، چون حد پایینی آن به طور مجانبی  $\frac{\log n}{\gamma n}$  است درحالیکه حد بالایی آن تقریباً  $1 - \frac{\log n}{n}$  است. این مطلب از آنجا ناشی می‌شود که نیاز داریم تمام جفت رأس‌های مجاور را تفکیک کنیم. در واقع به شرط آنکه آن‌ها پوشیده شوند دو رأس غیرمجاور به طور خودکار تفکیک می‌شوند. به طور شهودی در یک گراف چگال (یعنی وقتی  $p \rightarrow 1$ ) هر دو رأس با احتمال بالا مجاورند و بنابراین نیاز داریم تعداد زیادی از جفت رأس‌ها را تفکیک کنیم. اما وقتی  $p$  به صفر میل می‌کند اکثر رئوس  $G_{n,p}$  غیرمجاورند و بنابراین تنها تعداد کمی از جفت رأس‌ها باید در نظر گرفته شود. اثبات این قضیه را در چهار گزاره زیر تقسیم کرده‌ایم:

گزاره ۲.۶: اگر  $p = o(n^{-2})$ ، آنگاه تقریباً هر گراف در  $T(n, p)$  یک کد شناسایی دارد.

اثبات. این نتیجه از این حقیقت ناشی می‌شود که برای چنین  $p$  تقریباً به طور حتم  $G_{n,p}$  هیچ یالی ندارد، از اینرو  $V$  به عنوان یک کد شناسایی منحصر به فرد است.  $\square$

گزاره ۳.۶: برای هر  $\varepsilon > 0$  اگر  $pn^2 \rightarrow \infty$  و  $p \leq \left(\frac{1}{\gamma n}\right)(\log n + (1 - \varepsilon) \log \log n)$ ، آنگاه تقریباً هیچ گرافی در  $T(n, p)$  کد شناسایی ندارد.

اثبات. این از قضیه (۳.۶) قسمت (iii) با بکاربردن  $k = 2$  نتیجه می‌شود. برای چنین  $p$  تقریباً هر گراف در  $T(n, p)$  یک مؤلفه همبندی دارد که یک درخت با دو رأس است، یعنی یک یال تنها. یک گراف دارای یک یال تنها، هیچ کد شناسایی ندارد.  $\square$

گزاره ۴.۶ برای هر  $\varepsilon > 0$ ، اگر  $(p \geq (\frac{1}{4n})(\log n + (1 + \varepsilon) \log \log n))$  و

$(p \leq 1 - (\frac{1}{n})(\log n + \varepsilon \log \log n))$ ، آن‌گاه تقریباً هر گرافی در  $T(n, p)$  یک کد شناسایی دارد.

اثبات. مجموعه رئوس  $G_{n,p}$  یک کد شناسایی است اگر و تنها اگر یک کد تفکیکی باشد. از گزاره (۱.۶)، احتمال آن که مجموعه رئوس  $G_{n,p}$  یک کد تفکیکی نباشد کمتر یا مساوی با  $f^n(p) = (p^2 + (1-p)^2)^{n-2}$  است. تابع  $f^n : x \rightarrow (x^2 + (1-x)^2)^{n-2}$  از صفر به  $\alpha_n = \Theta(n^{-\frac{1}{4}})$  افزایش یافته سپس به  $\beta_n = (\frac{1}{4}) - \Theta(n^{-\frac{1}{4}})$  کاهش می‌یابد و پس از آن دوباره صعود می‌کند. چون  $n^{-\frac{1}{4}}$  برای  $n$  بزرگ آهسته‌تر از  $(\frac{1}{4n})(\log n + (1 + \varepsilon) \log \log n)$  به صفر میل می‌کند، ماکزیمم  $f^n(p)$  روی بازه

$$[\frac{1}{4n}(\log n + (1 + \varepsilon) \log \log n), 1 - \frac{1}{n}(\log n + \varepsilon \log \log n)]$$

برای  $p = (\frac{1}{4n})(\log n + (1 + \varepsilon) \log \log n)$  یا  $p = 1 - (\frac{1}{n})(\log n + \varepsilon \log \log n)$  بدست می‌آید. پس

کافیست بررسی کنیم که

$$f^n \left( (\frac{1}{4n})(\log n + (1 + \varepsilon) \log \log n) \right)$$

و

$$f^n \left( 1 - (\frac{1}{n})(\log n + \varepsilon \log \log n) \right)$$

هر دو وقتی  $n$  به سمت  $\infty$  میل می‌کند، به صفر می‌گرایند.  $\square$

گزاره ۵.۶: برای هر  $\epsilon > 0$ ، اگر  $p \geq 1 - \left(\frac{1}{n}\right)(\log n - \epsilon \log \log n)$  آن‌گاه تقریباً هیچ گرافی در  $T(n, p)$  کد شناسایی ندارد.

اثبات. این حقیقت را که تعداد رئوس جهانی (یعنی رأسی که با همه رئوس دیگر همسایه است) در  $T(n, p)$  با تعداد رئوس تنها در  $G_{n, 1-p}$  برابر است به کار می‌بریم. از قضیه (۲.۶) (قسمت  $i$ )، تقریباً به طور حتم حداقل دو رأس جهانی در  $T(n, p)$  برای چنین  $p$  وجود دارد. یک گراف دارای دو رأس جهانی کد شناسایی ندارد.  $\square$

نتایج قضیه (۴.۶) را می‌توان به صورت شکل (۱.۶) نشان داد، که آن را به عنوان شرح خلاصه‌ای از مقدار مجانبی  $G_{n,p}$  یک کد شناسایی دارد ( $Pr$  محور قائم) به صورت تابعی از  $p(n)$  (محور افقی) رسم کرده‌ایم. دوباره داریم که در آن‌ها احتمال وجود یک کد شناسایی بسیار بالاست. با دقت در نتایج قضایای (۲.۶) و (۳.۶)، می‌توانیم تقریباً به درستی آن‌چه در آستانه‌ها رخ میدهد را توصیف کنیم، یعنی وقتی  $p$  از سه ناحیه سایه‌دار در شکل (۱.۶) قرار دارد.



شکل (۱.۶): نمایش ترسیمی آستانه‌ها برای خاصیت دارا بودن یک کد شناسایی

قضیه ۵.۶ برای هر ثابت  $\epsilon > 0$  اگر  $z \rightarrow n^2 p$  آن‌گاه احتمال آن‌که یک گراف در  $T(n, p)$  یک کد شناسایی داشته باشد وقتی  $n$  به سمت  $\infty$  میل می‌کند، به  $e^{-\frac{\epsilon}{3}}$  میل می‌کند.

اثبات. میدانیم که  $G_{n,p}$  هیچ کد شناسایی ندارد اگر و تنها اگر یک جفت رأس مجزا  $u \neq v$  موجود باشد چنانکه  $N[u] = N[v]$ . اما می‌توانیم خود را به رئوس  $u \neq v$  محدود کنیم به طوریکه  $N[u] = N[v] = \{u, v\}$ ، که این از یال‌های تنهاست. در واقع وجود  $u \neq v$  چنانکه  $N[u] = N[v]$  با  $|N[u]| \geq 3$  وجود یک مثلث در  $G_{n,p}$  را ایجاب می‌کند و برای چنین  $p$ ی احتمال آن که  $G_{n,p}$  شامل یک مثلث باشد با  $\binom{n}{3} p^3$  کراندار است و چنانچه  $n$  به بینهایت میل کند به صفر می‌گراید. از اینرو برای  $n$  بزرگ،

$$Pr(G_{n,p} \text{ یک یال تنها دارد}) \sim Pr(G_{n,p} \text{ هیچ کد شناسایی ندارد})$$

از قضیه (۳.۶) (قسمت ii) می‌دانیم که تعداد یال‌های تنها به توزیع پواسون با میانگین  $(\frac{2}{p})$  میل می‌کند.  $\square$

قضیه ۶.۶ برای هر ثابت  $x \in \mathbb{R}$  اگر وقتی  $n$  به سمت  $\infty$  میل می‌کند،  $2np - (\log n + \log \log n)$  به  $x$  میل کند آن‌گاه احتمال آن که یک گراف از  $T(n, p)$  یک کد شناسایی داشته باشد وقتی  $n$  به سمت  $\infty$  میل کند، به  $e^{-e^{-\frac{x}{2}}}$  میل می‌کند.

اثبات. مانند قضیه قبل کافیسست به دنبال یال‌های تنها بگردیم. در واقع وجود رئوس  $u \neq v$  چنانکه  $N[u] = N[v]$  با  $|N[u]| \geq 4$  وجود یک زیرگراف هم‌ریخت با  $H_4$  در  $G_{n,p}$  را ایجاب می‌کند که یک گراف با ۵ یال و ۴ رأس می‌باشد. تعداد موردانتظار زیرگراف‌های یک‌ریخت با  $H_4$  که  $G_{n,p}$  دربر دارد، برابر است با  $6 \binom{n}{4} p^5$  که برای چنین  $p$ ی وقتی  $n$  به سمت  $\infty$  میل می‌کند، به صفر می‌گراید. پس احتمال آنکه  $G_{n,p}$  شامل دو رأس  $u \neq v$  چنانکه  $N[u] = N[v]$  و  $|N[u]| \geq 4$  باشد، وقتی  $n$  به سمت  $\infty$  میل می‌کند، به صفر می‌گراید. حال احتمال آن که  $G_{n,p}$  شامل دو رأس  $u \neq v$  که  $N[u] = N[v]$  و  $|N[u]| = 3$  باشد را بررسی می‌کنیم. تعداد مورد انتظار چنین جفت رأس‌هایی  $3 \binom{n}{2} p^3 (1-p)^{2(n-2)}$

است که وقتی  $n$  به سمت  $\infty$  میل می‌کند، به صفر می‌گراید، از اینرو  $G_{n,p}$  تقریباً به طور حتم شامل دو رأس  $u \neq v$  که  $N[u] = N[v]$  و  $|N[u]| = 3$  نیست. بنابراین برای  $n$  بزرگ

$$Pr(G_{n,p} \text{ یال تنها دارد}) \sim Pr(G_{n,p} \text{ هیچ کد شناسایی ندارد})$$

پس با بکاربردن قضیه (۳.۶) قسمت (iv) حکم ثابت می‌شود.  $\square$

قضیه ۷.۶ برای هر ثابت  $x \in \mathbb{R}$ ، اگر وقتی  $n$  به سمت  $\infty$  میل می‌کند، داشته باشیم  $n(1-p) - \log n \rightarrow x$ ، آنگاه احتمال آنکه یک گراف از  $T(n,p)$  یک کد شناسایی داشته باشد، وقتی  $n$  به سمت  $\infty$  میل می‌کند، به  $e^{-e^{-x}}(1 + e^{-x})$  میل می‌کند.

اثبات. می‌دانیم  $G_{n,p}$  هیچ کد شناسایی ندارد اگر و تنها اگر یک جفت از رؤس  $u \neq v$  موجود باشد که  $N[u] = N[v]$ ، اما می‌توانیم عملاً خود را به رؤس جهانی محدود کنیم، یعنی به حالتی که  $|N[u]| = |N[v]| = n$ . در این حالت تعداد مورد انتظار جفت رؤس  $u \neq v$  چنانکه  $N[u] = N[v]$  و  $|N[u]| \leq n-1$  برابر  $(n-1)p^2((p^2 + (1-p)^2)^{n-2} - p^{2(n-2)})$  است که برای چنین  $p$  بی‌اگر  $n$  به سمت  $\infty$  میل کند، به صفر میل می‌کند. بنابراین برای  $n$  بزرگ

$$Pr(G_{n,p} \text{ جهانی دارد حداقل دو را}) \sim Pr(G_{n,p} \text{ هیچ کدی کد شناسایی ندارد})$$

با به کاربردن قضیه (۲.۶) قسمت (ii) و استفاده از این حقیقت که تعداد رؤس جهانی  $G_{n,p}$  برابر با

تعداد رؤس تنهای  $G_{n,1-p}$  است، به نتیجه می‌رسیم.  $\square$

۵-۶ کدهای  $l$ -شناسایی در گراف‌های تصادفی

یک جفت از زیرمجموعه‌های  $(X, Y)$  از مجموعه رئوس با  $1 \leq |X|, |Y| \leq l$  ماکزیمال است اگر

$$\bullet \quad X \subseteq Y \text{ و } |Y| = l, |X| = l - 1$$

$$\bullet \quad \text{یا } Y \subseteq X \text{ و } |X| = l, |Y| = l - 1$$

$$\bullet \quad \text{یا } |Y| = l, |X| = l$$

لم زیر نشان می‌دهد که به منظور داشتن یک کد  $l$ -شناسایی می‌توانیم خود را به جفت‌های ماکزیمال زیرمجموعه‌های  $(X, Y)$  محدود کنیم:

لم ۲.۶:  $C$  یک کد  $l$ -شناسایی از  $G$  است اگر و تنها اگر برای همه  $X \subseteq V$  که  $|X| \leq l$  است، داشته باشیم  $I(X, C) \neq \emptyset$  و شرط  $I(X, C) \neq I(Y, C)$  برای همه جفت‌های ماکزیمال  $(X, Y)$  صادق باشد. اثبات. اگر  $(X, Y)$  ماکزیمال باشد، حکم برقرار است. فرض کنیم  $(X, Y)$  ماکزیمال نباشد و  $|X| \leq |Y|$ . دو حالت زیر را داریم:

(۱) اگر  $X \subseteq Y$  باشد فرض کنیم  $Z \subseteq V \setminus Y$  از اندازه  $l - |Y|$  باشد و  $y_0 \in Y \setminus X$  باشد. قرار می‌دهیم  $X' := Y \cup Z$  و  $Y' := Y \cup Z \setminus \{y_0\}$ . به آسانی می‌بینیم اگر  $C$ ،  $X$  و  $Y$  را تفکیک نکند، آنگاه  $C$  هیچ‌یک از  $X'$  و  $Y'$  را تفکیک نمی‌کند، و این با فرض اینکه  $(X', Y')$  ماکزیمال است، تناقض دارد.

(۲) اگر  $X \not\subseteq Y$ ، فرض می‌کنیم  $Z \subseteq V \setminus Y$  از اندازه  $l - |Y|$  و  $T \subseteq Y \setminus X$  چنان باشد که  $|X| + |T| + |Z| = l$ . قرار می‌دهیم  $X' := X \cup T \cup Z$  و  $Y' := Y \cup Z$ . به آسانی می‌بینیم اگر

$C$ ،  $X$  و  $Y$  را تفکیک نکند، آنگاه  $C$  هیچ‌یک از  $X'$  و  $Y'$  را تفکیک نمی‌کند، و این با فرض اینکه  $(X', Y')$  ماکزیمال است، تناقض دارد.

□

## ۶-۶ می‌نیمم اندازه یک کد $l$ - شناسایی

لم زیر مشابه گزاره (۱.۶) است.

لم ۳.۶: فرض کنید  $C \neq V$  یک زیرمجموعه از رئوس گراف تصادفی  $G_{n,p}$  باشد. احتمال آن که  $C$  یک کد  $l$  - شناسایی نباشد با

$$Pr(C \text{ کد نیست}) \leq n^{2l} (1 - \min\{p, 2p(1-p)\}) (1-p)^{l-1} |C|^{-2l}$$

و در حالتیکه  $C = V$  با

$$Pr(V \text{ کد نیست}) \leq n^{2l} (1 - (1-p)^l) (1 - \min\{p, 2p(1-p)\}) (1-p)^{l-1} n^{-2l}$$

کراندار است (اثبات را در [۴۰] ببینید).

قضیه ۸.۶ فرض کنید  $\varepsilon$  چنان باشد که  $n^\varepsilon \rightarrow +\infty$  و  $p$  ثابت،  $1, 0 \neq p$  باشد. آنگاه تقریباً هر

گرافی در  $T(n, p)$  یک کد  $l$  - شناسایی  $C$  از اندازه

$$|C| \leq \frac{2(l + \varepsilon) \log n}{\log\left(\frac{1}{q_l}\right)}$$

دارد که  $q_l = 1 - \min\{p, 2p(1-p)\} (1-p)^{l-1}$  می‌باشد.

توجه کنید که این بدان معنا نیست که تقریباً به طور حتم می‌نیمم اندازه یک کد  $l$ -شناسایی در  $G_{n,p}$ ، از مرتبه  $O(l \log n)$  است چون  $\frac{1}{\log(\frac{1}{q_l})}$  از مرتبه  $O(2^l)$  است. پس می‌نیمم اندازه یک کد  $l$ -شناسایی در  $G_{n,p}$ ، تقریباً به طور حتم از مرتبه  $O(l 2^l \log n)$  است.

قضیه بالا شبیه به کران بالا در قضیه (۱.۶) است. کران پایین دقیقی برای حالت کد  $l$ -شناسایی،  $l \neq 1$  نتوانسته‌ایم بیابیم و این مسأله به صورت باز باقی مانده است. یک نتیجه وجودی از لم (۳.۶) بدست می‌آوریم.

گزاره ۶.۶: فرض کنید  $\varepsilon$  چنان باشد که  $n^\varepsilon \rightarrow +\infty$ . آن گاه برای هر  $n \in \mathbb{N}$  گراف  $G^n$  دارای کد  $l$ -شناسایی  $C^n$  از اندازه زیر می‌باشد

$$|C^n| \leq \sqrt{2}(l^2 + \varepsilon) \log n.$$

اثبات. فرض کنید  $p = \frac{1}{l}$ . با جایگذاری‌های بالا در لم (۳.۶) می‌دانیم که

$$Pr(C \text{ کد نباشد}) \leq n^{2l} \left(1 - 2\frac{1}{l}\left(1 - \frac{1}{l}\right)^l\right)^{|C|-2l},$$

برای مقدار ثابت  $K_l$  داریم

$$\begin{aligned} Pr(C \text{ کد نباشد}) &\leq K_l n^{2l} \left(1 - 2\frac{1}{l}\left(1 - \frac{1}{l}\right)^l\right)^{|C|}, \\ &\leq K_l \exp\left(2l \log n - 2\frac{|C|}{l}\left(1 - \frac{1}{l}\right)^l\right), \\ &\leq K_l \exp\left(2l \log n - \sqrt{2}\frac{|C|}{l}\right). \end{aligned}$$

چون برای  $l > 1$ ،  $\left(1 - \frac{1}{l}\right)^l \geq \frac{1}{\sqrt{2}}$ ، محاسبات زیر را نتیجه می‌گیریم

$$Pr(C \text{ کد نباشد}) \leq K_l \exp\left(\left(2l - 2l - \frac{2\varepsilon}{l}\right) \log n\right)$$

$$\begin{aligned} &\leq K_l \exp\left(-2\frac{\varepsilon}{l} \log n\right) \\ &\leq K_l n^{-\frac{2\varepsilon}{l}}. \end{aligned}$$

چون  $n^\varepsilon \rightarrow +\infty$  داریم

$$Pr(C \text{ کد نباشد}) \rightarrow 0.$$

بنابراین برای چنین  $p$ ی تقریباً هر گراف  $\psi(n, p)$  یک کد  $l$ -شناسایی از اندازه  $\sqrt{2}(l^2 + \varepsilon) \log n$  دارد، به خصوص گراف  $n$  رأسی  $G^n$  یک کد  $l$ -شناسایی  $C^n$  از اندازه  $\sqrt{2}(l^2 + \varepsilon) \log n$  دارد.  $\square$

## ۶-۷ آستانه احتمال برای داشتن یک کد $l$ -شناسایی

در حالت کلی  $l > 1$  تنها نتایج جزئی درباره توابع آستانه‌ای برای خاصیت پذیرفتن یک کد  $l$ -شناسایی داریم. برخی نتایج درباره کدهای شناسایی را به کار می‌بریم:

گزاره ۷.۶: اگر  $p = o(n^{-2})$  آن‌گاه تقریباً هر گراف در  $T(n, p)$  یک کد  $l$ -شناسایی دارد.

در واقع برای چنین  $p$ ی تقریباً به طور حتم  $G_{n,p}$  هیچ یالی ندارد، از اینرو گراف یک کد  $l$ -شناسایی یکتا،  $C = V$ ، دارد.

گزاره ۸.۶: فرض کنید  $\varepsilon > 0$ . اگر  $p \geq 1 - \left(\frac{1}{n}\right)(\log n - \varepsilon \log \log n)$ ، آن‌گاه تقریباً هیچ گرافی در  $T(n, p)$  کد  $l$ -شناسایی ندارد.

برای چنین  $p$ ی گراف  $G_{n,p}$  حتماً دو رأس جهانی دارد.

قضیه ۹.۶ فرض کنید  $\varepsilon > 0$  ثابت باشد و  $p$  چنان باشد که  $\varepsilon n^{-\frac{2}{3}} \leq p \leq 1 - \varepsilon n^{-\frac{2}{3}}$ .  $k$  را یک عدد

طبیعی و  $X_k$  را متغیر تصادفی برابر با تعداد رئوس از درجه  $k$  در  $G_{n,p}$  در نظر بگیرید. قرار می‌دهیم

$$\lambda_k := \lambda_k(n) = n \binom{n-1}{k} p^k (1-p)^{n-k}$$

برای هر  $t \geq 0$  ثابت، اگر  $\lim \lambda_k(n) = +\infty$ ، آنگاه  $\lim Pr(X_k \geq t) = 1$ .

این نتیجه از آن جهت سودمند است که نشان می‌دهد یک گراف با یک رأس  $v$  از درجه

$1 \leq d(v) \leq l-1$  هیچ کد  $l$ -شناسایی ندارد (مثلاً اگر یک رأس با درجه ۴ داشته باشیم کد ۵-

شناسایی، ۶-شناسایی و ... نداریم). در حقیقت نمی‌توان مجموعه رئوس همسایه را (بدون  $v$ ) از

مجموعه همسایگی‌های بسته  $v$  جدا کرد.

گزاره ۹.۶: برای هر  $\varepsilon > 0$  اگر  $pn^2 \rightarrow \infty$  و  $p \leq \left(\frac{1}{n}\right)(\log n + (l-1-\varepsilon)\log \log n)$  آن‌گاه تقریباً

هیچ گرافی در  $T(n,p)$  کد  $l$ -شناسایی ندارد.

اثبات. از قضیه (۹.۶) با  $k = l-1$  و  $t = 1$  استفاده می‌کنیم. به راحتی می‌بینیم که اگر  $pn^2 \rightarrow \infty$

و  $p \leq \left(\frac{1}{n}\right)(\log n + (l-1-\varepsilon)\log \log n)$ ، آن‌گاه  $\lambda_k(n) = n \binom{n-1}{k} p^k (1-p)^{n-k}$  به سمت  $\infty$  میل

می‌کند. در نتیجه گراف  $G_{n,p}$  به طور حتم یک رأس از درجه  $l-1$  دارد. حال زیرمجموعه‌هایی از رئوس

$X := N(x_0)$  و  $Y := N(x_0) \cup \{x_0\}$  را در نظر می‌گیریم،  $X$  و  $Y$  هر دو از اندازه کمتر مساوی با  $l$

هستند و در  $N(X) = N(Y)$  صدق می‌کنند از اینرو  $G_{n,p}$ ، کد  $l$ -شناسایی ندارد.  $\square$

## ۸-۶ کدهای $l$ -شناسایی و $l$ -افزوده

مفهوم کدشناسایی با کدافزوده به صورت زیر مرتبط است. فرض کنید یک کد  $l$ -شناسایی از گراف

$G$  با مجموعه رئوس  $\{v_1, \dots, v_n\}$  در اختیار داشته باشیم. فرض کنید برای هر  $i$  که  $i = 1, \dots, n$

$w(i)$  بردار مشخصه مجموعه شناسایی  $v_i$  را نشان دهد و  $w(i)_j = 1$  اگر و تنها  $v_j \in I(v_i, C)$ .  
 $K := \{w(1), \dots, w(n)\}$  را در نظر بگیرید. برای همه  $I, J \subseteq \{1, \dots, n\}$  که  $|I| \leq l, |J| \leq l$  در  
 شرط زیر صادق است (مانسل [۴۱]):

$$\bigvee_{i \in I} w(i) \neq \bigvee_{j \in J} w(j) \quad (1.6)$$

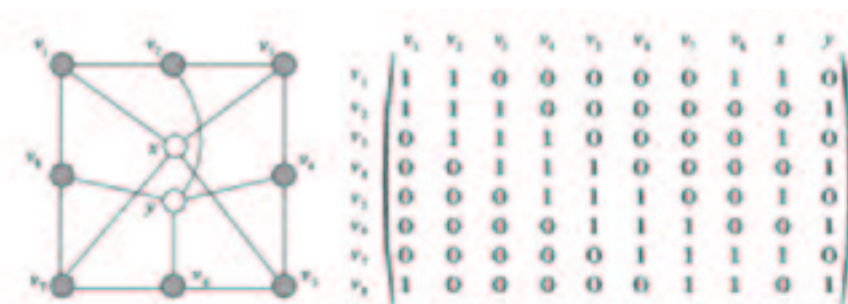
که  $OR, w = u \vee v$  بیت به بیت بردارهای  $u$  و  $v$  را نشان می‌دهد،  $w_i = 0$  اگر و تنها اگر  $u_i = v_i = 0$ .  
 در واقع (۱.۶) از این حقیقت ناشی می‌شود که  $\bigvee_{i \in I} w(i)$  بردار مشخصه مجموعه شناسایی  
 $\{v_i \mid i \in I\}$  می‌باشد و چون  $C$  یک کد  $l$ -شناسایی از  $G$  است پس همه مجموعه‌های شناسایی مجزا  
 هستند.

برای گراف  $G$  همراه با یک کد  $l$ -شناسایی از آن، یک ماتریس دودویی  $M = M(G, C)$  به صورت زیر  
 می‌توانیم بسازیم [۴۰]:

سطرهای ماتریس متناظر با رئوس کد و ستون‌های آن متناظر با رئوس  $G$  می‌باشد و  $M_{ij} = 1$  است  
 اگر و تنها اگر رأس  $i$  همسایه رأس  $j$  و یا  $i = j$  باشد.  $M$  را از الحاق بردارهای مشخصه مجموعه‌های  
 شناسایی  $I(x, C)$  که  $x \in V$  است، بدست می‌آوریم (شکل (۲.۶) را ببینید). توجه کنید که اگر  $A$   
 ماتریس مجاورت  $G$  و  $I$  ماتریس همانی باشد،  $M$  یک زیرماتریس از  $A + I$  است. ستون‌های  $M$  در  
 شرط (۱.۶) صدق می‌کنند. یک مجموعه از بردارهای  $K$  (یا یک مجموعه از بردارهای  $1-0$ ) که در  
 (۱.۶) صدق می‌کند،  $UD_l -$  کد یا کد  $l$ -افزوده نامیده می‌شود. این مفهوم در [۳۶] توسط کاتز و  
 سینگلتن<sup>۳</sup> نیز معرفی شده است. بعد فضا در کد  $l$ -افزوده برابر تعداد سطرها در ماتریس  $M$  و اندازه  
 کد برابر تعداد ستون‌هاست [۴۰].

J.Moncel<sup>۲</sup>Kautz and singleton<sup>۳</sup>

شکل زیر یک گراف همراه با یک کد شناسایی مجموعه‌های حداکثر ۲ رأسی و ماتریس متناظرش را نشان می‌دهد.



شکل (۲.۶)

قضیه ۱۰.۶ (گراویر<sup>۴</sup> [(۵۷)]): فرض کنید  $K$  کد  $l$ -افزوده ماکزیمم از  $\{0, 1\}^N$  باشد. دو ثابت  $c_1$  و  $c_2$  مستقل از  $N$  و  $l$  وجود دارد که

$$2^{\frac{c_1 N}{l^2}} \leq |K| \leq 2^{\frac{c_1 N \log l}{l^2}}$$

علاوه‌براین، کران پایین ساختنی است: یک الگوریتم وجود دارد که با  $N$  و  $l$  داده شده، یک کد  $l$ -افزوده از  $\{0, 1\}^N$  از اندازه  $2^{\frac{c_1 N}{l^2}}$  می‌سازد. کران پایین را در کاتز و سینگلتن [۳۶] و یک اثبات ترکیباتی از کران بالا را در راسزینکو<sup>۵</sup> [۳۹] می‌توان یافت. یک الگوریتم حریصانه که یک کد  $l$ -افزوده از اندازه  $2^{\frac{c_1 N}{l^2}}$  می‌سازد را می‌توان در ونگ و ساس [۳۸]<sup>۶</sup> پیدا کرد.

قضیه ۱۱.۶ [۴۰]: یک کد  $l$ -افزوده بهینه از اندازه  $t$  در  $\{0, 1\}^N$  را می‌توان روی یک گراف جهت‌دار با  $t$  رأس همراه با یک کد  $l$ -شناسایی از اندازه  $N$  پیاده‌سازی کرد.

S.Gravier<sup>۴</sup>M.Ruszinko<sup>۵</sup>F.K.Hwang, V.sos<sup>۶</sup>

اثبات. فرض کنید  $\{v_1, \dots, v_t\}$  یک کد  $l$ -شناسایی بهینه در  $\{0, 1\}^N$  و  $M$  یک ماتریس  $N \times t$  باشد که ستون‌های آن بردارهای  $v_1, \dots, v_t$  هستند. اگر بتوانیم یک زیرماتریس  $M'$  با ابعاد  $N \times N$  که فقط درایه‌های روی قطر اصلی آن ۱ است، بدست آوریم آن‌گاه می‌توانیم یک گراف جهت‌دار با  $t$  رأس و یک کد  $l$ -شناسایی از اندازه  $N$  بسازیم: رؤس متناظر با  $M'$  کلمه‌کدها و بقیه کلمه‌کد نیستند. قبل از اثبات وجود چنین  $M'$ ی قضیه هال را یادآوری می‌کنیم.

قضیه ۱۲.۶ (قضیه هال): فرض کنید  $G$  یک گراف دوبخشی با بخش‌های  $V = X \cup Y$  باشد، آن‌گاه  $G$  شامل یک تطابق است که هر رأس در  $X$  را اشباع می‌کند اگر و تنها اگر برای هر زیرمجموعه  $S$  از  $X$  داشته باشیم:  $|N(S)| \geq |S|$ .

اثبات وجود  $M'$ : فرض کنید  $\{A, B\}$  گراف دوبخشی وابسته به  $M$  باشد:  $A = \{1, \dots, N\}$  و  $B = \{v_1, \dots, v_t\}$  و یک یال بین  $i$  و  $v_j$  وجود دارد اگر و تنها اگر  $i$  امین مختص از  $v_j$  یک باشد. ادعا می‌کنیم که تطابقی از  $\{A, B\}$  وجود دارد که  $A$  را می‌پوشاند. در واقع، اگر اینطور نباشد، با استفاده از قضیه هال<sup>۷</sup> باید  $X \subseteq A$  وجود داشته باشد که  $|N(X)| < |X|$ . حال اگر بردارهای  $|N(X)|$  را با  $|X|$  تا بردار واحد از مجموعه مختصاتی  $X$  جایگزین کنیم، یک کد  $l$ -افزوده با اندازه‌ی بزرگتر از کد اصلی خواهیم داشت که یک تناقض است. بنابراین تطابقی وجود دارد که  $A$  را می‌پوشاند و با زیرماتریس  $M'$  با ابعاد  $N \times N$  که همه درایه‌های قطری اش ۱ است، متناظر می‌باشد.  $\square$

همچنین از یک کد  $l$ -شناسایی یک گراف جهت‌دار می‌توان یک کد  $l$ -افزوده مانند حالت غیرجهت‌دار بدست آورد. بنابراین یک تناظر کامل بین ماکزیم کدهای  $l$ -افزوده و می‌نیم کدهای  $l$ -شناسایی در گراف‌های جهت‌دار وجود دارد.

## مسائل کاربردی در شبکه‌های حسگر اضطراری

در این فصل، یک چارچوب جدید برای ایجاد یک سیستم کشف موقعیت مطمئن در سیستم‌های اضطراری براساس تئوری کدهای شناسایی، ارائه شده است. کلید اصلی این رهیافت اینست که به حسگرهای پوششی مناطق مختلف این اجازه را می‌دهد که با هم به طریقی که هر موقعیت تفکیک‌پذیر به وسیله حسگرهای یکتا و منحصر به فرد پوشانیده شود، هم‌پوشانی کنند، که در اینصورت معین نمودن مکان حسگرها و می‌نیمم کردن تعداد آن‌ها در حکم ایجاد کردن کدهای شناسایی بهینه می‌باشد. از طریق آنالیز و شبیه‌سازی نشان داده شده است که رهیافت کدهای شناسایی به صورت محسوس تعداد کمتری حسگر نسبت به رویه‌های تقریب همسایگی موجود، نیاز دارد. از طرف دیگر برای تعداد ثابتی از حسگرها، این رویه می‌تواند پایداری و اطمینان بخش بودن را در مواجهه با خرابی حسگرها یا خرابی فیزیکی در سیستم، تضمین نماید.

سیستم‌های ارتباطی نقش حیاتی در موقعیت‌های اضطراری مانند آتش‌سوزی‌ها، فروریختن ساختمان‌ها یا پدیده‌های هوایی مخرب بازی می‌کند. متأسفانه سیستم‌های موجود اغلب یک زیرساخت حداقلی ارتباطی، برای فراهم آوردن اطلاعات درباره نوع و مقدار سانحه را پدید می‌آورند، در نتیجه گروه نجات در حالی وارد موقعیت اضطراری می‌شوند که اطلاعات اندکی درباره مکان دارند و آن‌ها

باید با در دسترس بودن وسایل و تجهیزاتی که برحسب اتفاق همراهشان بوده، برای عملیات نجات اقدام کنند. یک روش امیدبخش برای تأمین نمودن بازخوردهای بلادرنگ از مکان‌های سانحه، استفاده از شبکه‌های سنسوری است. پیشرفت‌های اخیر در تکنولوژی‌های سنسوری (ادوارد و هالار<sup>۱</sup> [۴۲] و استرین<sup>۲</sup> و همکاران [۴۳])، این امر را ممکن می‌سازد تا وسیله‌های ظریف را در بستر یک زیرساخت قوی نصب کرده و آن‌ها را به هم متصل نمائیم: مانند آشکارگردود یا شرایط روشنایی بیش از حد، که این وسیله‌های ظریف برای شبکه‌ها در حالت‌های اضطراری استفاده می‌شوند. این گونه شبکه‌ها می‌توانند مراکز کنترلی را با امکان نظارت بدون وقفه بر مکان‌های سانحه خیز و ردیابی کردن قربانی‌ها و پرسنل به صورت لحظه‌ای و بلافاصله ایجاد نمایند. به منظور ایجاد چنین خصیصه‌هایی باید بتوانیم توانایی آشکارسازی موقعیت مکانی را در مواجهه با بازتاب‌های غیرقابل پیش‌بینی (از اثاث خانه، مردم یا دیوارها)، شرایط عدم توانایی درخواست کمک (به علت دود آتش) و در شرایط تغییر توپولوژی ساختمان (به علت دیوارهای فروریخته) فراهم آوریم. بسیاری از کارهای مفید و مؤثری که یک سیستم پاسخ‌دهی اضطراری پیشرفته می‌تواند انجام دهد، مستلزم داشتن امکانات زیر است:

(۱) قادر باشد به پرسنل این امکان را بدهد تا مکان فیزیکی خودشان و مکان فیزیکی دیگران را شناسایی کنند.

(۲) قادر به شناسایی موقعیت قربانی‌ها، خطرهای بالقوه یا منبع ایجاد اضطرار باشد.

(۳) توانایی شناسایی و نجات پرسنل به خطر افتاده را داشته باشد.

به هر حال چندین رویه آشکارسازی موقعیت در این فصل توصیف شده‌اند، اما برای نیل به این هدف مناسب نمی‌باشند. به طور عمده آن‌ها در مقابل خرابی تجهیزات و تغییر توپولوژی ساختاری دچار

---

S. Edward and A. Hollar<sup>۱</sup>

D. Estrin<sup>۲</sup>

کمبود پایداری و نیرومندی می‌باشند. چند مورد از سیستم‌های تقریب همسایگی وجود دارند که مکان کاربر را به وسیله حسگرهای نزدیکش (برج‌های دیده‌بانی) مشخص می‌کنند، اما وقتی که حسگرها در این سیستم‌ها خراب می‌شوند محدوده پوششی آن حسگر از بین می‌رود.

در این فصل، موضوع اکتشاف مکان را با یک چارچوب کاملاً جدید و براساس تئوری کدهای شناسایی ارائه می‌دهیم [۱]. رهیافت ما، تکنولوژی اکتشاف مکان موجود براساس تقریب می‌باشد که آن را با ایجاد هم‌پوشانی در ناحیه پوشش حسگر تعمیم می‌دهیم. ایده کلیدی اینست که هر مکان تفکیک‌پذیر به وسیله یک مجموعه یکتا از حسگرها پوشانیده شود، که این تحت پوشش قرار گرفتن به عنوان امضای آن‌ها مطرح می‌شود. به طور عام این رهیافت دو فایده اصلی نسبت به رویه‌های اکتشاف مکان موجود دارد:

(۱) برای تعداد ثابتی از حسگرها که هر کدام محدوده پوششی مشخصی دارند، این طرح می‌تواند اکتشاف مکان را به صورت تفکیک‌پذیری پالاینده انجام دهد، که هم‌پوشانی را بین نواحی پوشش از بین می‌برد.

(۲) راه حل ارائه شده به گونه‌ای طراحی شده است که حتی در مواجهه با موقعیت‌های خرابی در سیستم به طور صحیح عمل نماید.

این دو فایده در مواجهه با یکدیگر قابل جایگزینی و سبک و سنگین کردن هستند، یعنی در صورت داشتن تعداد ثابتی حسگر می‌توان سیستمی طراحی نمود که با داشتن تفکیک‌پذیری پالاینده هزینه مربوط به اطمینان‌پذیری و نیرومندی سیستم را کاهش دهد یا اطمینان‌پذیری بالا باعث کاهش هزینه تفکیک‌پذیری شود.

چالش اصلی در طراحی این سیستم مکان‌یابی حسگرهاست به طوری‌که هر ناحیه تفکیک‌پذیر، بدون ابهام شناسانده شود. علاوه بر این، با وجود اینکه، این پروژه هزینه مربوط به حسگرها را کاهش

می‌دهد، مطلوبست که به منظور افزایش عمر شبکه، تعداد حسگرهای فعال در یک زمان معین (یعنی حسگرهایی که در حال خواب نیستند) را می‌نیمیم کنیم. بنابراین هدف اینست که در یک سطح مشخص از اطمینان بخشی، به منظور اکتشاف مکان، تعداد می‌نیمیم از حسگرها استفاده شوند. برای نیل به این هدف، تئوری کدهای شناسایی را به گونه‌ای به کار می‌بریم که یک تکنیک کلی برای مشخص کردن گره‌ها در یک گراف به صورت یکتا فراهم آورد. سیستم اکتشاف مکان را به عنوان یک گراف با تقسیم ناحیه پوششی پیوسته در داخل یک مجموعه، به نواحی متناهی مدل‌سازی می‌کنیم. هر ناحیه با یک نقطه که این نقاط معادل با گره‌های گراف می‌باشد، مشخص می‌شود و گره‌ها به وسیله یال‌ها چنان به هم متصل می‌شوند که نقاط معادل در سیستم فیزیکی موجود قابلیت ایجاد ارتباط مستقیم با هم را داشته باشند. اکنون در این سیستم، مسئله کد شناسایی، معین کردن مکان گره‌هایی در گراف که به عنوان کلمه کد مشخص می‌شوند و اینکه هر گره در گراف به وسیله یک مجموعه یکتا از حسگرها پوشانده شود، می‌باشد. از منظر قیاس، این نوع سیستم اکتشاف مکان باید گره‌های سنسوری خاصی را به گونه‌ای برگزیند که هر گره در گراف در محدوده ارتباطی یک مجموعه یکتا از حسگرها قرار گیرد. مسئله پیدا کردن یک کد شناسایی بهینه برای یک گراف دلخواه  $NP - complete$  می‌باشد (رئو<sup>۳</sup>[۴۴])، و به این خاطر در اینجا یک الگوریتم حریم‌بانه جدید به نام  $ID - CODE$  ارائه داده‌ایم که کدهای شناسایی ساده‌نشده‌ی ایجاد می‌کند. یک کدشناسایی ساده‌نشده‌ی است هرگاه هیچ کلمه‌کدی در آن قابل حذف نباشد تا بدین وسیله بتواند هر مکان را به صورت یکتا شناسایی نماید. نتایج عددی نشان می‌دهد که راه‌حل ارائه شده توسط الگوریتم برای رنج گسترده‌ای از پارامترها به راه‌حل بهینه نزدیک‌تر است.

## ۱-۷ چند رویه آشکارسازی موقعیت

سیستم‌های اکتشاف مکان برای کاربردهای مختلفی پیشنهاد و پیاده‌سازی شده‌اند. برای کاربردهای بیرونی، ماهواره‌ها برای سیستم *GPS* استفاده می‌شوند (هافمن<sup>۴</sup> و همکاران [۴۵]). *GPS* بر اساس مکان و زمان چهار ماهواره کار می‌کند و می‌تواند مکان را با تقریبی در حدود چند متر مشخص نماید، هر چند که بازتاب‌ها و اثرات چند مسیری، سودمندی *GPS* را در محیط‌های درونی محدود کرده است. سیستم‌های اکتشاف مکان درونی برای مواقعی که سودمندی *GPS* محدود شده است طراحی شده‌اند. این سیستم‌ها در سه گروه دسته‌بندی می‌شوند:

مادون قرمز (*IR*)، فراصوت (*US*) و رادیو (*RF*).

هر یک از این سیستم‌ها برای مقاصد طراحی خود به خوبی کار می‌کنند، اما کیفیت حیاتی و لازم برای شبکه‌های اضطراری را نمی‌توانند تأمین کنند.

- مادون قرمز: سیستم مکان‌یابی نشان برجسته یکی از اولین سیستم‌های مکان‌یابی داخلی است (وانت<sup>۵</sup> و همکاران [۴۶]، لانگ<sup>۶</sup> و همکاران [۴۷]، آزوما<sup>۷</sup> [۴۸]). این سیستم با هر شخص به عنوان یک نشان برخورد می‌کند که به صورت تناوبی یک شناسه یکتا با استفاده از اشعه مادون قرمز از خود ساطع می‌کند و این اشعه به وسیله یکی از چندین گیرنده‌ای که در داخل ساختمان جاسازی شده، دریافت می‌شود. مکان این نشان با یک تقریب توسط همسایگی با نزدیکترین گیرنده مشخص می‌شود. سیستم‌های مادون قرمز به یک مسیر بین فرستنده و گیرنده که نور

B. Hofmann<sup>۴</sup>

R. Want<sup>۵</sup>

S. Long<sup>۶</sup>

R. Azuma<sup>۷</sup>

بتواند در آن مسیر حرکت نماید، احتیاج دارند. در شرایط اضطراری مسیر می‌تواند پویا و غیرقابل پیش‌بینی باشد و این باعث می‌شود که مسیر بین فرستنده و گیرنده به آسانی بسته شده و سیستم مستعد خطا و خرابی شود.

- فراصوت: سیستم‌های فراصوت نیز مکان‌یابی براساس همسایگی را فراهم می‌آورند اما میزان دقت را با اندازه‌گیری زمان فراصوت در حال انتشار نسبت به سیگنال رادیویی بهبود می‌بخشند (هارتر<sup>۸</sup> و همکاران [۴۹]، پریانتا<sup>۹</sup> و همکاران [۵۰]، پریانتا و همکاران [۵۱]). این سیستم‌ها زمان رسیدن دو سیگنال از منابع انتشار سیگنال مختلف و شناخته شده را مقایسه می‌کنند و به گیرنده این اجازه را می‌دهند که مکان را محاسبه نماید. سیستم‌های فراصوتی کنونی نیز برای سیستم‌های اضطراری طراحی نشده‌اند. مسیرهای خط دید ممکن است مسدود شوند یا به وسیله تغییرات محیطی تغییر داده شوند که منتج به محدود شدن پوشش می‌شود.

- رادیو: امواج رادیویی به خاطر توانایی نفوذشان در مواد مختلف، توانایی قدرتمندی برای مکان‌یابی دارند. به جای استفاده از تفاوت در زمان رسیدن امواج که به وسیله سیستم‌های فراصوت انجام می‌شود، سیستم‌های مکان‌یابی رادیویی معمولاً مکان را براساس قدرت سیگنال دریافتی بر مبنای یک نسبت سیگنال به نویز ( $SNR$ ) شناخته شده، مشخص می‌نمایند. رادار (بهل و پادمانابهان<sup>۱۰</sup> [۵۲]) یک نقشه  $SNR$  برای ساختمان از پیش محاسبه می‌کند، بردار قدرت سیگنال‌های دریافتی در ایستگاه‌های پایه مختلف با نقشه مقایسه می‌شوند تا مکان را معین نمایند. همانند طرح‌های ذکر شده قبلی، وقتی رادیو را در سیستم‌های اضطراری به کار می‌بریم،

A. Harter<sup>۸</sup>N. B. Priyantha<sup>۹</sup>P. Bahl, V. N. Padmanabhan<sup>۱۰</sup>

موضوعاتی در مورد اطمینان بخش بودن باقی می‌ماند. خرابی حسگر یا معرفی یک مسیر سیگنالی جدید، از شیفت دادن ساختارهای داخلی، می‌تواند شدیداً به سیستم‌های موجود آسیب بزند. سیستم‌های بر پایه  $SNR$  هم در مورد شرایط محیطی حساس هستند. اخیراً بالاسو<sup>۱۱</sup> و همکاران [۵۳] یک طرح موضعی کردن ساده که مکان‌یابی بر اساس نقاط نزدیک به آن را ارائه می‌دهد، پیشنهاد شده است. اگرچه این رویه فقط در مورد محیط‌های بیرونی قابل اجراست.

- کدهای شناسایی: سیستمی که در این رهیافت پیشنهاد می‌شود یک کدشناسایی را روی یک سیستم مکان‌یاب تقریب همسایگی قرار می‌دهد تا دقت و اطمینان بخش بودن را تقویت کند. ساختمان موجود در تئوری به صورت شدیدی در گراف‌های منظم مانند ابرمکعب‌ها، شبکه‌ها و درخت‌ها محدود شده است (شارون و همکاران<sup>۱۲</sup> [۵۷]). رهیافت‌ها در چاکرابارتی و همکاران<sup>۱۳</sup> [۵۴] و [۵۵] استفاده از این کدهای شناسایی شناخته شده را برای مقاصد تجسس در محیط‌های بیرونی پیشنهاد می‌کنند، اما آن‌ها یک ساختار منظم مشبکه‌گونه احتیاج دارند. به هر حال، گراف‌های منظم برای شبکه‌های چندپردازنده اختصاص داده شده‌اند اما آن‌ها به طور کلی برای شبکه‌های بی‌سیم به خصوص در محیط‌های درونی که موانع و بازتابنده‌های بسیاری در آن‌ها وجود دارد به سختی قابل فرض هستند. علاوه‌براین، شبکه‌های اضطراری اطمینان بخش بودن را نیاز دارند که در کدهای شناسایی استاندارد در دسترس نیستند.

سیستمی که در اینجا معرفی می‌کنیم یک تغییر شکل جهت‌دار قوی از کدهای شناسایی را به منظور ایجاد اطمینان بخشی بر روی یک توپولوژی دلخواه فراهم می‌آورد، تکنیک‌های به‌کار رفته برای

---

N . Bulusu<sup>۱۱</sup>

I.Charon<sup>۱۲</sup>

K. Chakrabarty<sup>۱۳</sup>

ساختن این کدها عملاً قابل تشخیص بوده و کدهایی فراهم می‌آورند که اندازه آن‌ها به پایین‌ترین حدود شناخته شده نزدیک بوده و تقریباً بهینه می‌باشند.

## ۲-۷ دید کلی

کارایی یک سیستم مکان‌یاب می‌تواند به وسیله صحت و درستی‌اش و دقت و تفکیک‌پذیری‌اش مشخص شود. صحت سیستم به وسیله احتمال اینکه ناحیه‌ای که هدف در آن حضور دارد به درستی تعیین شده باشد، سنجیده می‌شود. دقت و تفکیک‌پذیری سیستم، کوتاهترین فاصله بین هدف‌هایی که در یک ناحیه قابل تشخیص هستند، را منعکس می‌کند. به طور کلی صحت و درستی می‌تواند با دقت جایگزین شود و برعکس. در زمینه سیستم‌های پاسخی اضطراری، صحت و درستی بسیار مهم‌تر از دقت و تفکیک‌پذیری است. برای مثال، به منظور تعیین مکان یک پرسنل به خطر افتاده، معمولاً دانستن طبقه و اتاق کافی است، از طرف دیگر فرستادن گروه نجات به یک ناحیه اشتباه در موقعیت اضطراری مرگبار می‌باشد. بنابراین به جای مکان‌یابی پیوسته، این سیستم ناحیه پوشش را به نواحی قابل مکان‌یابی تقسیم می‌کند و یک نقطه در این ناحیه را به عنوان مکان هدف گزارش می‌دهد. سیستم می‌تواند در هر یک یا هر دوی این مدل‌ها عمل کند:

سرویس مکان‌یابی یا ردیابی مکان.

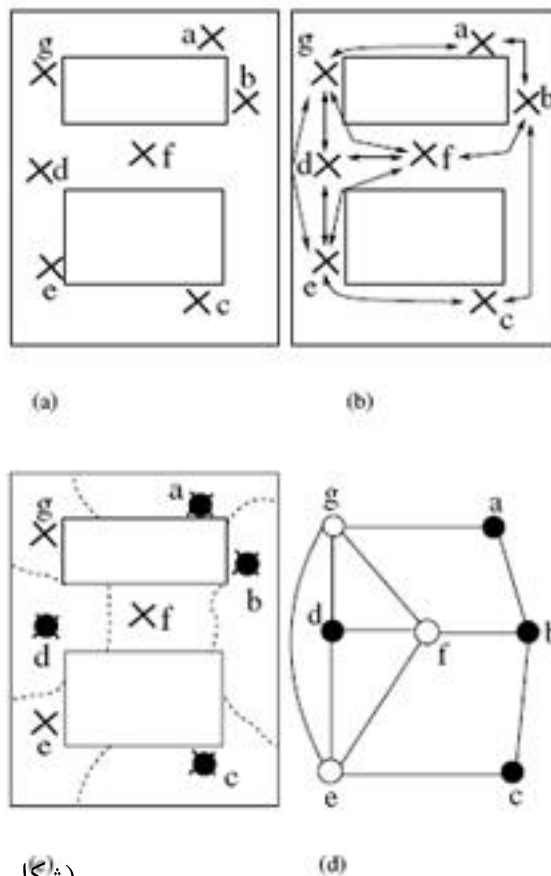
در سرویس مکان‌یابی، سیستم به طور متناوب بسته‌های *ID* مربوط به حسگرهای مشخص شده را منتشر می‌کند. یک ناظر می‌تواند موقعیت خودش را از بسته‌هایی که دریافت می‌کند، مشخص نماید. در ردیابی مکان، ناظر *ID* خودش را ارسال می‌کند و سیستم مکان او را از حسگرهایی که *ID* را دریافت کرده‌اند، تشخیص می‌دهد. در این جا سیستم را با مدل سرویس مکان‌یابی توصیف می‌کنیم،

هرچند تمام نتایج به طور برابر برای ردیابی مکان نیز قابل اعمال هستند. شبکه حسگر اضطراری موردنظر ما به صورت زیر طراحی می‌شود: اول، مجموعه‌ای از نقاط برای یک ناحیه داده شده انتخاب می‌شوند، سپس براساس اتصالات رادیویی بین نقاط، حسگرهای فرستنده بر روی یک زیرمجموعه از این نقاط که به وسیله کدشناسایی متناظر با آن مشخص می‌شود، واقع می‌شوند. این جایگذاری تضمین می‌کند که هر نقطه به وسیله یک مجموعه یکتا از فرستنده‌ها پوشش داده می‌شود. بنابراین ناظر می‌تواند موقعیت خودش را از مجموعه‌ای یکتا، توسط بسته‌های  $ID$  بی‌ی که دریافت می‌کند، تضمین نماید.

مثال ۱.۷ شکل (۱.۷) را در نظر بگیرید. این شکل نقشه ساده یک طبقه ساختمانی، اتصالات رادیویی بین آن‌ها و در نهایت گراف بدست آمده برای این طبقه ساختمانی را نشان می‌دهد. با اطلاعات اتصالاتی بین هر جفت از نقاط، هدف ما اینست که یک سیستم با استفاده از کمترین تعداد فرستنده‌ها بسازیم به طوری که یک ناظر بتواند موقعیت خود را در هر یک از نقاط استنباط کند. برای نیل به این هدف چهار فرستنده بی‌سیم در نقاط  $a, b, c$  و  $d$  قرار می‌دهیم که هر فرستنده به طور متناوب و در فواصل معین یک  $ID$  یکتا پخش می‌کند. در شکل (C) ۱. یک ناظر در ناحیه مربوط به  $f, ID$ ‌هایی مربوط به فرستنده‌هایی در موقعیت‌های  $b$  و  $d$  را دریافت می‌کند. طبق تعریفی که در فصل ۱ بیان کردیم، مجموعه  $ID$ ‌هایی که در موقعیت  $x$  دریافت می‌شود مجموعه شناسایی  $x$  نامیده می‌شود. اگر مجموعه شناسایی هر نقطه یکتا باشد، آن‌گاه اهداف می‌توانند به صورت صحیح در این نقاط واقع شوند.

### ۳-۷ کدهای شناسایی برای گراف‌های دلخواه

همانطور که گفتیم، مسئله ساختن کدهای شناسایی بهینه برای یک گراف دلخواه  $NP - complete$  می‌باشد، بنابراین به جای اینکه به دنبال یک راه حل بهینه باشیم، یک الگوریتم حریصانه برای ساختن کدهای شناسایی ساده‌نشده پیشنهاد داده‌ایم. مشخصه ساده‌نشده بودن یعنی حذف نمودن یک کلمه‌کد از کدشناسایی باعث شود که آن کد دیگر کدشناسایی معتبری نباشد. بنابراین، الگوریتم پیشنهادی به سوی می‌نیم کردن همگرا می‌شود. در حقیقت، نتایج تجربی نشان می‌دهد راه‌حلی که با این الگوریتم بدست می‌آید به راه‌حل بهینه بسیار نزدیک است. علاوه بر این، می‌توانیم نشان دهیم الگوریتم پیشنهادی کامل است، یعنی تمام کدهای ساده‌نشده، شامل کد بهینه، که برای یک گراف وجود دارد، می‌توانند به وسیله انتخاب مناسب پارامترهای ورودی برای الگوریتم حاصل شوند.



(شکل ۱.۷)

## ۷-۳-۱ الگوریتم ساختن کد

به طور قراردادی، مسئله تعیین مکان بدین صورت است: گراف قابل شناسایی  $G = (V, E)$  داده شده است، یک زیرمجموعه  $C \subseteq V$  با مینیمم اندازه به گونه‌ای بیابید که یک کد شناسایی باشد. چون این مسئله  $NP - complete$  است، به جای آن یک مدل اصلاح شده را در نظر می‌گیریم: گراف قابل شناسایی  $G = (V, E)$  داده شده است، یک زیرمجموعه  $C$  از  $V$  به گونه‌ای بیابید که  $C$  یک کد شناسایی ساده‌نشده برای  $G$  باشد. قدم اول برای حل سؤال بالا اینست که آیا گراف داده شده قابل تشخیص است (فصل ۱).

لم ۱.۷: برای گراف  $G = (V, E)$  اگر  $C$  یک کد شناسایی باشد آن گاه  $D \supseteq C$  نیز یک کد شناسایی است.

به صورت تجربی دریافته‌ایم که تقریباً تمامی گراف‌ها قابل شناسایی هستند مگر اینکه درجه متوسط آن‌ها خیلی کم یا خیلی زیاد باشد. گراف‌هایی که تشخیص‌ناپذیرند عموماً مجموعه‌ای از رئوس دارند که به صورت فیزیکی به یکدیگر نزدیک هستند. در ری<sup>۱۴</sup> و همکاران [۱۵] یک روش ساده برای حذف کردن کمترین تعداد از رئوس که یک گراف غیرقابل شناسایی را تشخیص‌پذیر کند بیان شده است. الگوریتم  $ID - CODE$  که در شکل (۲.۷) نشان داده شده است با تخصیص هر رأس گراف ورودی،  $G$ ، به عنوان یک کلمه‌کد شروع می‌شود. طبق آن‌چه در فصل ۱ ذکر کردیم تضمین می‌شود که  $V$  یک کد شناسایی برای هر گراف تشخیص‌پذیر است. در هر مرحله از الگوریتم، یک کلمه‌کد برای حذف کردن از کد جاری انتخاب می‌شود، چنانچه حذف کلمه‌کد منجر به حصول یک کد شناسایی شود الگوریتم ادامه می‌یابد، در غیراینصورت کلمه‌کد دوباره داخل کد قرار می‌گیرد و الگوریتم با در نظر

گرفتن یک کلمه کد دیگر ادامه پیدا می‌کند و این ادامه در امتداد یک سلسله از رئوس از پیش تعیین شده به عنوان پارامتر انجام می‌شود. با این طراحی، هر تکرار الگوریتم (شامل آخرین تکرار) با ایجاد یک کد شناسایی برای گراف به پایان می‌رسد. علاوه بر این، الگوریتم یک تکرار برای هر رأس در گراف انجام می‌دهد و در هر تکرار یکتایی مجموعه شناسایی برای هر گره را بررسی می‌کند. با استفاده از یک مرتب سازی مناسب برای تعیین نمودن یکتایی، مدت زمان اجرای الگوریتم  $O(|V|^3 \log |V|)$  می‌باشد.

---

```

ID-CODE( $G, a$ )
 $C = V$ 
if  $C$  is not an identifying code
do EXIT
for each vertex  $x \in a$ , taken in order
do  $D = C \setminus \{x\}$ 
   if  $\exists u, v \in V$  such that  $I_D(u) = I_D(v)$ 
        $C = C$ 
   else  $C = D$ 
return  $C$ 

```

---

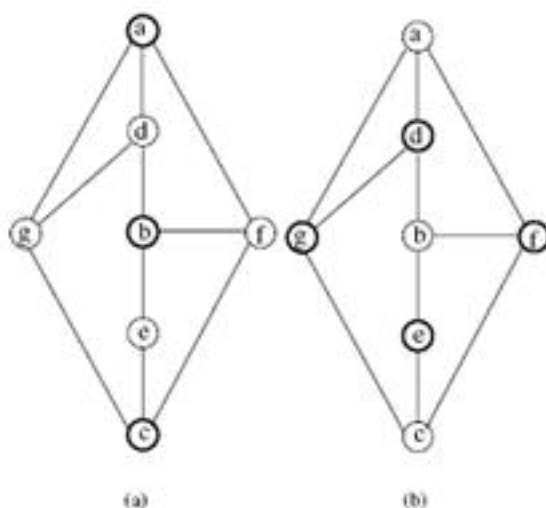
شکل (۲.۷): الگوریتم  $ID - CODE$

قضیه ۱.۷ کد  $C$  بدست آمده با الگوریتم  $ID - CODE$  ساده‌نشده است.

قضیه زیر، برعکس این قضیه یعنی هر کد شناسایی ساده‌نشده، شامل کد بهینه، می‌تواند به وسیله الگوریتم  $ID - CODE$  از طریق انتخاب مناسب پارامترهای ورودی بدست آید، می‌باشد.

قضیه ۲.۷ برای هر کد شناسایی ساده‌نشده  $C$  از گراف  $G$ ، یک دنباله ورودی  $\hat{a}$  وجود دارد که  $ID - CODE(G, \hat{a})$  را برمی‌گرداند.

مثال ۲.۷ کارایی  $ID - CODE$  به رشته رئوس انتخابی بستگی دارد. شکل (۳.۷) ثابت می‌کند که رشته‌های ورودی مختلف می‌توانند کدهای ساده‌نشده‌ی متفاوتی را نتیجه دهند، اگر دنباله رئوس ورودی الگوریتم  $ID - CODE$ ،  $\hat{a} = \{f, g, d, e, a, b, c\}$  باشد، آن‌گاه کد حاصل  $C = \{a, b, c\}$  و اگر دنباله رئوس ورودی  $\hat{a} = \{a, b, c, d, e, f, g\}$  باشد، کد بدست آمده  $C = \{d, e, f, g\}$  می‌باشد.



شکل ۳.۷: کدهای شناسایی ساده‌نشده‌ی برای دنباله‌های متفاوت.

چون حسگرها ممکن است خراب شوند یا اتصال‌های بین مکان‌های مختلف ممکن است در مواقع اضطراری تغییر کند، یک مفهوم جدید به نام کدهای  $r$ -قوی نیز معرفی می‌شود که خواننده می‌تواند برای اطلاعات بیشتر به [۱۵] رجوع کند. این کدها قادرند تا حدود  $r$  خطا در مدت جمع‌آوری بسته‌های  $ID$  در هر مکان را تصحیح نمایند و همزمان اطلاعات مکان را به‌درستی تشخیص دهند.

## ۴-۷ ارزیابی کارایی

در این بخش کارایی الگوریتم پیشنهادی را با شبیه‌سازی ارزیابی می‌کنیم. از آنجا که الگوریتم  $ID - CODE$  پارامتر را به گونه‌ای دریافت می‌کند که براساس ترتیب رئوس ملاقات شده باشد، چند ترتیب ذهنی در نظر می‌گیریم.

### ۱-۴-۷ روش‌های موجود برای ترتیب‌دهی به رشته ورودی

ساده‌ترین روش اینست که تمام رئوس را با یک ترتیب تصادفی ملاقات کنیم. روش دیگر براساس یک مشاهده تجربی در الگوریتم‌های پیشنهادی مشابه به این صورت است که رئوسی که زودتر در رشته ملاقات می‌شوند، حذف شوند. بنابراین کارایی الگوریتم وقتی بیشتر می‌شود که کلمات کد "خوب" را در انتهای رشته ورودی قرار دهیم. از طریق تجربی، یک کلمه کد "خوب" است چنانچه به طور حداکثری از دیگر کلمات کد، دور باشد. برای اینکه کلمات کد خوب را حدس بزنیم، بین دو مورد زیر تفاوت قائل می‌شویم:

- اگر درجه متوسط رئوس در گراف پایین باشد، کلمات کد خوب باید درجه بالا داشته باشند، چون درجه‌های بالاتر تعداد کلمات کدی که برای پوشش تمامی رئوس گراف لازم است را می‌نیمم می‌کند.

- از طرف دیگر، چنانچه درجه متوسط رئوس در گراف بالا باشد، تعداد کمتری از رئوس می‌توانند گراف را پوشش دهند. گرچه، اگر کلمات کد، درجه بالایی داشته باشند آنگاه گوی‌های آنها در تعدادی رأس متفاوت می‌شوند و در نتیجه باید تعداد بیشتری کلمه کد داشته باشیم. بنابراین در

این مورد، کلمات کد خوب باید درجه کمتری نسبت به هم داشته باشند.

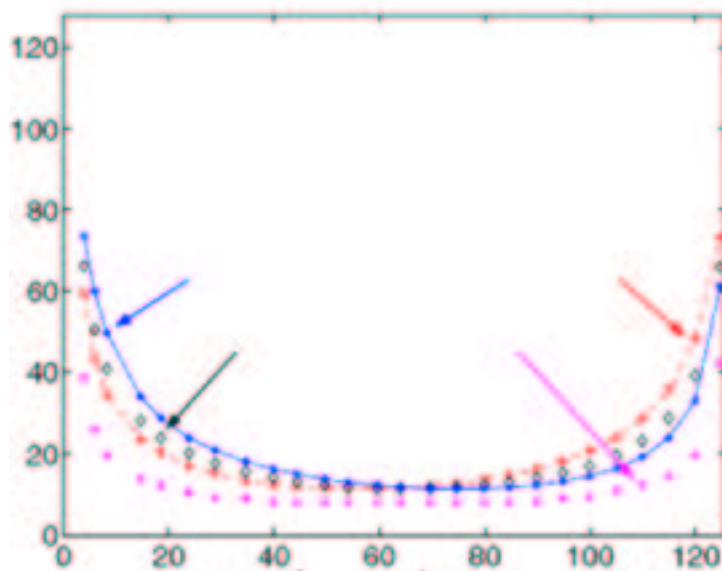
بر اساس این مشاهدات، یک راه حل تجربی ترکیبی برای ترتیب‌گذاری ارائه می‌دهیم: وقتی درجه متوسط گراف از نصف تعداد رئوس بیشتر باشد، رئوس را به ترتیب نزولی بر اساس درجه آن‌ها ملاقات می‌کنیم، در غیراین صورت آن‌ها را به ترتیب صعودی بر اساس درجه انتخاب می‌کنیم.

### ۷-۴-۲ نتایج شبیه‌سازی

برای ارزیابی الگوریتم آن را روی گراف‌های مختلف به کار بردیم. گراف‌های به کار رفته تصادفی، همبند، قابل شناسایی با درجه متوسط  $d_{ave}$  بودند که به وسیله الحاق هر دو رأس با احتمال  $p = \frac{d_{ave}}{|V|-1}$  ایجاد شده بودند. برای هر  $d_{ave}$ ، ۱۰۰ گراف مختلف به صورت تصادفی تولید و نتایج میانگین‌گیری شد. گراف‌هایی که در این شبیه‌سازی استفاده شد به خوبی برای مدل‌کردن یک ناحیه در قیاس با حوزه بی‌سیم با تعداد زیادی مانع، مناسب می‌باشند.

شکل (۴.۷) اندازه متوسط کد برآیندی را نشان می‌دهد که با الگوریتم  $ID - CODE$  برای گراف‌های  $|V| = 128$  رأسی بدست آمده است. سه منحنی بالایی مربوط به ترتیب‌گذاری رشته رئوس به ترتیب بر اساس صعودی، نزولی و تصادفی می‌باشد. منحنی پایین، گونه اصلاح شده کران پایین در [۴۴] قضیه (۳) می‌باشد. همچنین برای گراف‌های ۱۶، ۳۲، ۶۴ رأسی رفتار مشابهی مشاهده می‌شود. همانطور که از بخش (۷-۴-۱) انتظار می‌رود، ترتیب درجه‌های رشته رئوس بر اساس صعودی بودن وقتی  $d_{ave} < \frac{|V|}{4}$  است بهترین نتیجه و ترتیب نزولی وقتی  $d_{ave} > \frac{|V|}{4}$  است بهترین نتیجه را بدست می‌دهد. رشته‌های تصادفی از رئوس برای هر انتخابی از  $d_{ave}$  مابین دو مورد دیگر قرار می‌گیرد. تمام سه روش ترتیب‌گذاری، شامل ترتیب‌گذاری تصادفی، به طور محقولانه‌ای به کران پایین نزدیکند و به

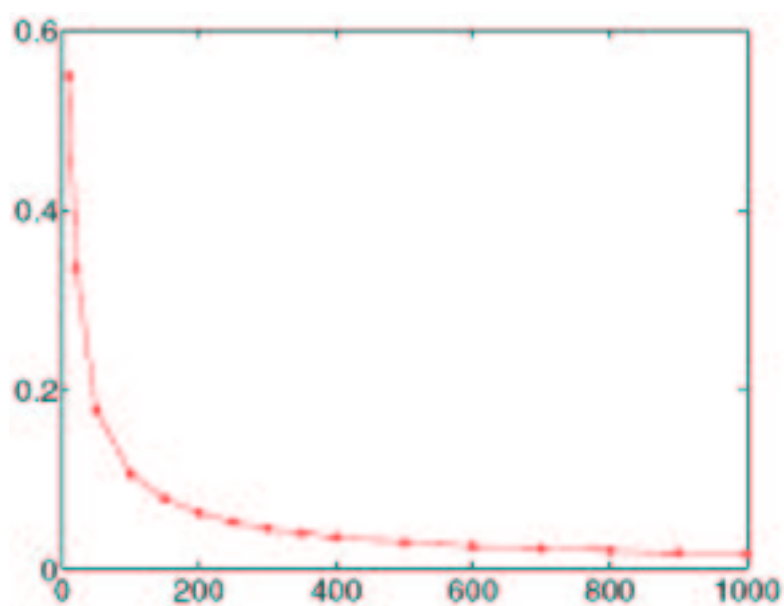
نظر نمی‌رسد که کارایی الگوریتم به مقدار زیادی توسط ترتیب رشته ورودی تحت تأثیر قرار گیرد، همچنین مشاهده شده که اندازه کد برآیند وقتی که درجه متوسط تقریباً  $\frac{|V|}{p}$  می‌باشد، کوچکترین است و حدس می‌زنیم که این همیشه برقرار است. با اینحال، کارایی الگوریتم به درجه متوسط گراف در یک ناحیه بزرگ، حساسیت نشان نمی‌دهد. برای مثال در شکل (۴.۷) می‌بینیم که برای رنج درجه متوسط بین ۴۰ و ۹۰ میانگین اندازه کد همچنان کوچکتر از ۱۵ می‌باشد.



شکل ۴.۷: محور قائم اندازه کد برآیند و محور افقی میانگین درجه می‌باشد.

همچنین به تعمیم  $ID - CODE$  برای گراف‌های با تعداد زیاد رأس علاقه‌مندیم. شکل (۵.۷) نتایج شبیه‌سازی را برای گراف‌های ۱۰ تا ۱۰۰ رأسی که هر کدام دارای درجه متوسط  $\frac{|V|}{p}$  می‌باشند، نشان می‌دهد. شکل به وضوح نشان می‌دهد که نسبت کلمات کد به رئوس گراف، وقتی تعداد رئوس افزایش می‌یابد، کاهش پیدا می‌کند. بنابراین گراف‌های بزرگ، نسبتاً به تعداد کمتری فرستنده برای مکان‌یابی احتیاج دارند. این نشان می‌دهد که الگوریتم به خوبی مقیاس‌پذیر و مخصوصاً برای

گراف‌های بزرگ، مناسب است.



شکل ۵.۷: محور قائم اندازه نرمال شده کد برآیند و محور افقی تعداد گره‌ها می‌باشد.

## نتیجه گیری و پیشنهادات

ما در این پایان نامه پس از تعریف کدهای شناسایی و بررسی ویژگی‌های اساسی آن‌ها به تعمیم آن‌ها پرداخته و کدهای  $l$ -شناسایی و کد پوششی به شعاع  $t$  را تعریف کردیم. برای روشن شدن مطلب، کدهای شناسایی را در برخی گراف‌های خاص بررسی کردیم. روابط بین این مسأله و ماکزیمم درجه گراف را مورد مطالعه قرار دادیم و بعد از آن کران‌های کدهای شناسایی را در برخی توپولوژی‌های خاص گراف نظیر مکعب‌های دودویی، غیردودویی، درخت‌ها و شبکه‌ها پیدا کردیم. همچنین یک روش برای ساختن گراف‌های بهینه که به کمترین تعداد کلمه کد برای شناسایی مجموعه‌های رئوس نیاز دارد، ارائه دادیم. سپس گراف‌های تصادفی را تعریف کرده و حدود بالایی و پایینی برای کمترین اندازه یک کد  $l$ -شناسایی در یک گراف تصادفی و توابع آستانه‌ای برای خاصیت دارا بودن چنین کدی را ارائه داده و نیز مفهوم کد شناسایی را با کدهای افزوده مرتبط کردیم.

در این کار متوجه شدیم که پس از مدل کردن یک مجموعه به صورت گراف و پیدا کردن کمترین تعداد کدهای شناسایی آن می‌توانیم بدون آن که تعداد کدهای شناسایی این سیستم تغییر کند، پردازش‌گرهای دیگری نیز به سیستم اضافه کنیم.

## چشم انداز آینده

برخی از نتایجی که در بحث مورد بررسی ما آمده است ناشناخته‌اند. برای مثال در توابع آستانه‌ای برای خاصیت پذیرفتن یک کد  $t$ -شناسایی نمی‌دانیم که برای  $p$  یی به صورت

$$\frac{\log n}{n} \leq p \leq l^{2^{l-1}} \frac{\log n}{n}$$

و

$$1 - \left(\frac{\log n}{n}\right)^{\frac{1}{t}} \leq p \leq 1 - \frac{\log n}{n}.$$

چه اتفاقی رخ می‌دهد. امید است در آینده بتوانیم برای مسائلی از این دست که به صورت مسأله باز مطرح هستند پاسخی بیابیم.

## نمادها

$B^+(v)$ .....	گوی ورودی به $v$
$B^-(v)$ .....	گوی خروجی از $v$
$P_n$ .....	مسیر $n$ رأسی
$C_n$ .....	دور $n$ رأسی
$CT_h^q$ .....	درخت کامل $q$ تایی با $h$ سطح
$H_n$ .....	ابرمکعب $n$ بعدی
$C^*$ .....	کد بهینه
$K(n, q)$ .....	اندازه کد بهینه $C^*$ به طول $n$ و شعاع پوششی $q$
$V(t)$ .....	حجم گوی به شعاع $t$
$M_t(H_n)$ .....	کمترین تعداد کلمه کد در ابرمکعب دودویی $n$ - بعدی به شعاع $t$
$Z_\uparrow^n$ .....	فضای همپینگ
$M_t^{(p)}(H_n)$ .....	کمترین تعداد کلمه کد در ابرمکعب $p$ - تایی $n$ - بعدی به شعاع $t$
$C(l)$ .....	بخشی از مجموعه‌های رئوس از اندازه دقیقاً $l$ ، که قابل شناسایی هستند.

$r(N, l)$	کران پایین روی حداقل تعداد سطرها
$c = c(G)$	اندازه یک کد شناسایی کمینه
$\oplus$	تفاضل متقارن بین دو مجموعه
$\vec{uv}$	کمان بین دو رأس $u$ و $v$ در گراف جهت‌دار
$A(G)$	مجموعه کمان‌های یک گراف جهت‌دار
$BF_n$	گراف پروانه‌ای $n$ بعدی
$uv$	یال بین دو رأس $u$ و $v$ در یک گراف غیرجهت‌دار
$CCC_n$	گراف مکعبی همبند دوری $n$ بعدی
$G = (V, E)$	گراف غیرجهت‌دار
$G = (V, A)$	گراف جهت‌دار
$V(G)$	مجموعه رئوس گراف $G$
$E(G)$	مجموعه یال گراف $G$
$\{u, v\}$	یال بین دو رأس $u$ و $v$ در گراف غیرجهت‌دار
$(u, v)$	کمان بین دو رأس $u$ و $v$ در گراف جهت‌دار
$\Delta(G)$	ماکزیمم درجه گراف
$\delta(G)$	می‌نیمم درجه گراف
$(deg(v))deg_G(v)$	درجه رأس $v$
$N[v]$	همسایگی بسته رأس $v$
$B_r(v)$	گوی به شعاع $r$ و به مرکز $v$
$(d(u, v))d_G(u, v)$	فاصله بین دو رأس $u$ و $v$

$ V(G) $	تعداد رئوس
$H = (V_H, E_H)$	زیرگراف
$K_n$	گراف کامل
$I_C(v)$ یا $I(v, C)$	مجموعه شناسایی رأس $v$
$I_C(X)$	مجموعه شناسایی یک مجموعه، $X$ ، از رئوس
$M_{\setminus}(G)$	می نیمم اندازه یک کد شناسایی از گراف $G$
$M_t(G)$	می نیمم اندازه یک کد شناسایی به شعاع $t$ از گراف $G$
$k_{\setminus, n-1}$	گراف ستاره
$d_C(G)$	تراکم کد شناسایی $C$ از $G$
$d^*(G)$	کمترین تراکم کد شناسایی $G$
$n$	مرتبه گراف

## واژه نامه انگلیسی به فارسی

arc .....	کمان
asymptotically .....	به طور مجانبی
ball .....	گوی
binary .....	دودویی
bipartite .....	دوبخشی
cardinality .....	اندازه
closed neighbourhood .....	همسایگی بسته
codeword .....	کلمه کد
coding theory .....	تئوری کد
column .....	ستون
complete graph .....	گراف کامل
component .....	مؤلفه
component- wise .....	مؤلفه به مؤلفه

conflict resolution	تحلیل ناسازگاری
connected	همبند
coordinate	مختصات
correspond	متناظر بودن
cost	هزینه
cover	پوشاندن
cubic	مکعبی
cycle	دور
decrease	نزول - تنزل کردن
degree	درجه
density	تراکم
dimension	بعد
directed graph	گراف جهت دار
disjoint	مجزا
distinct	فاصله
dominate	غلبه کردن
dominating set	مجموعه غالب
edge	یال
element	عنصر
entry	درایه

equality	تساوی
error	خطا
euclidian plane	صفحه اقلیدسی
face	ناحیه
fault diagnosis	تشخیص خطا
finite	متناهی
graph	گراف
graph theory	تئوری گراف
henagonal	شش ضلعی
hypercube	ابرمکعب
identifiable	قابل شناسایی
identifiable code	کد شناسایی
incoming ball	گوی ورودی
increase	صعود کردن - نمودن
independent	مستقل
infinite	نامتناهی
integer	عدد صحیح
interval	بازه
leave	برگ
length	طول

level.....	سطح
locating dominating set.....	مجموعه مکان‌یاب
lower bound.....	کران پایین
matrix.....	ماتریس
mesh.....	مشبکه
minimize.....	مینیمم کردن
multiprocessor system.....	سیستم چندپردازنده
negation.....	نقیض – قرینه‌بردار
neighbour.....	همسایه
network.....	شبکه
node.....	گره
nonbinary.....	غیر دودویی
nonempty.....	ناتهی
optimal.....	بهینه
ordered pair.....	زوج مرتب
oriented graph.....	گراف جهت‌دار
outcoming ball.....	گوی خروجی
outerplanar.....	مسطح خارجی
parallel.....	موازی
parent.....	ولد – جد

parity .....	هم‌نوع
path .....	مسیر
planar .....	مسطح
processor .....	پردازش‌گر
q-ary .....	تایی
radius .....	شعاع
ratio .....	نسبت
rectangular .....	مستطیلی
regular .....	منتظم
root .....	ریشه
row .....	سطر
sensor .....	حسگر
separate.....	تفکیک کردن
sequence .....	دنباله
single vertice .....	رأس تنها
software.....	سخت افزار
stritly .....	اکیداً
subcubic.....	زیرمکعبی
subgraph .....	زیرگراف
subset .....	زیرمجموعه

superimposed code	کد افزوده
symmetric difference	تفاضل متقارن
sternary	در مبنای سه
tight	دقیق
tree	درخت
triangle	مثلث
twin	دوقلو
undirected graph	گراف غیرجهت دار
union	اجتماع
upper bound	کران بالا
vector	بردار
vertex	رأس
vertice	رأس
weight	وزن

متن برنامه الگوریتم *ID - CODE.m*

در این پیوست متن برنامه اصلی و کمکی از برنامه‌ی *IDCODE.m* نوشته شده است. این برنامه با دریافت گراف مربوطه (یک ساختار شامل رئوس و ماتریس مجاورت) و ترتیب دلخواه برای بررسی حضور رئوس در کد (ورودی دوم)، به ترتیب، قابل حذف بودن این رئوس از کد اولیه که مجموعه همه رئوس گراف است را بررسی می‌کند. این الگوریتم با برنامه متلب<sup>۱</sup> نوشته شده است.

```
***** main *****
function Code = ID_ CODE(G,seq(
% the input arguments are:
%G: the Graph as a structure, consisting of:
    %G.v: the set of Vertices, a COLUMN vector of the name
    %G.e: the set of Edges, an one- zero matrix
%seq: a COLUMN vector specifying the order of the vertices for being
%examined
V= G.v
if (size( V,2) > 1(
    V=V;'
end
```

```

n=size( V,1(

E=G.e
disp('In the Code Vector, 1 for being in the code- 0 for not being(':
C= ones(n,1)' % 1 for being in the code - 0 for not being
C=C;'
%we have to see wether C is an ID-Code or not,
%if not, there is no need to continue to the rest of the program
%because if there were be an ID-Code, V must be so
if(~( all_ rows_ different(E+eye(n(((
    disp(' This Grraph does not possess an ID-Code because
    its Adjacency Matrix ( after adding the loops) has at least
    2 identical rows('
    return
else
    disp( 'The rows of the Adjacency Matrix of this graph
    are all different, so it CAN possess an ID- CODE: we would
    check this in the follwing(':
end

E=E+ eye(n;(

for i=1:size( seq,2(
    disp('-----')
    the_element_under_consideration= seq(i(
    j=seq(i;(
    E
    D=C;
    D(j) = 0;
    E(j,j) = 0;

```

```

I_D= E(:,find(D;((
D
I_D
sum(sum(I_D,2)==0(
if (~(all_rows_different( I_D)) || sum(sum(I_D,2)==0)>0
(
    E(j,j)=1;
    disp(sprintf('%d, cannot got omitted from the
code',j((
    C
    continue          % to continue to the rest of
vertices
    else
        disp( sprintf('%d, accepted to got omitted from the
code', j((
        C = D
    end
end

disp(' ')
disp(' ')
disp('-----')

disp(' Pay attention: the given sequence, specifies the
order of DELETION from Code not ENTERING the Code('!
disp(' The resulting code is as follows(':

Code= V(find(C;')((
return
function yes_no = all_rows_different(A)

```

```
% the program returns 1 if all the rows of A are different
% it returns 0 otherwise

m = size (A,1);      % number of its rows

y_n=1;

for h=1 : m
    for f=h+1:m
        if (sum( abs( A(h, :)- A(f,:)) )== 0)
            y_n = 0;
            break;
        end
    end
end
end
yes_ no= y_n;
end
```

# کتابنامه

- [1] M. G. Karpovsky, K. Chakrabarty, and L.B. Levitin. *On a new class of codes for identifying vertices in graphs*, IEEE Transactions on Information Theory, 44: 599-611, 1998.
- [2] N. Bertrnd, I. Charon, O. Hudry, and A. lobstein, *Identifying and locating-dominating codes on chains and cycles*, European Journal of Combinatorics, 25(7): 969- 987, 2004.
- [3] N. Bertrand, I. Charon, O. Hudry, and A. Lobstein, *1-identifying codes on trees*, Australasian Journal of Combinatorics, 31: 21-35, 2005.
- [4] C. Berge, *Theorie des graphes et ses applications*, Collection Universitaire des Mathematiques, Dunod, Paris, 1958.
- [5] T. Y. Berger- Wolf, M. Laifefeld, and A Trachtenberg, *Identifying codes and the set cover problem*, Proceedings of the 44th Annual Allerton Conference on

- Communication, Control and Computing, Monticello, USA, September 2006.
- [6] I. Charon, O. Hudry, and A. Lobstein, *External cardinalities for identifying and locating dominating codes in graphs*, Discrete Mathematics, 307(3-5): 356-366, 2007.
- [7] G. Cohen, I. Honkala, S. Litsyn, and Lobstein, *Covering Codes*, Elsevier, Amsterdam, 1997.
- [8] G. Cohen, I. Honkala, A. Lobstein, and G. Zemor, *On identifying codes*, volume 56 of Proceeding of DIMACS Workshop on Codes and Association Schemes '99, pages 97-109, 2001.
- [9] C. J. Colbourn, P. J. Slater, and L. K. Stewart, *Locating- dominating sets in series- parallel networks*, Congressus Numerantium, 56: 135- 162, 1987.
- [10] J. de RUMEUR, *Communications dans les reseaux de processeurs*, Masson, Paris, 1994.
- [11] S. Gravier and J. Moncel, *On graphs having a  $V \setminus \{x\}$  set as an identifying code*, Discrete Mathematics, 307(3-5): 432- 434, 2007 Algebraic and Topological Methods in Graph Theory.
- [12] T. W Haynes, T. W. Hedetniemi, and P. J. Slater, *Fundamentals of Domination in Graphs*, Marcel Dekker, 1998.

- 
- [13] J. Hromkovic, R. Klasing, A. Pelc, P. Ruzicka, and W. Unger, *dissemination of Information in Communication Networks: Broadcasting, Gossiping, Leader Election, and Fault- Tolerance( Texts in Theoretical Computer Science, An EATCS Series* Springer, 1 edition, April 2005.
- [14] F. P. Preparata and J. Vuillemin, *The cube- connected cycles: a versatile network for parallel computation*, Communications of the ACM, 24(5): 300-309, 1981.
- [15] S. Ray, R. Ungrangsi, F. De Pellegrini, A. Trachtenberg, and D. Starobinski, *Robust location detection in emergency sensor networks* , In Proceedings of the IEEE INFOCOM, April 2003.
- [16] P. J. Slater, *Domination and location in acyclic graphs*, Networks, 17(1): 55-64, 1987.
- [17] P. J. Slater, *On location- domination numbers for certain classes of graphs*, Congressus Numerantium, 45: 97- 106, 1984.
- [18] K. Thulasiraman, M. Xu, Y, Xiao, and X.- D. Hu, *Vertex identifying codes for fault isolation in communication network*, Proceedings of the International Conference on Discrete Mathematics and Applications( ICDM 2006), Bangalore, 2006.

- 
- [19] J. Bentley and H. T. Kung, *A tree machine for searching problems*, in Proc. 1979 Int. Conf. Parallel Processing, 1979, pp. 257- 266.
- [20] G. D. Cohen, M. G. Karpovsky, H. F. Mattson, Jr., and J. R. Shatz, *Covering radius survey and recent results*, IEEE Trans. Inform theory. vol. IT-31, pp. 328-344, May 1985.
- [21] G. D. Cohen, A. C. Lobstein, and N. J. A. Sloane, *Further results on the covering radius of codes*, IEEE Trans. Inform. Theory, vol. IT- 32, pp. 680- 694, Sept. 1986.
- [22] F. Harary, , *Graph Theory*, Reading, MA: Addison- Wesley, 1969.
- [23] I. S. Honkala. *Lower bounds for binary covering codes*, IEEE Trans. Inform. Theory, vol. 34, pp. 326- 329, Mar. 1988.
- [24] W. D. Hillis and L. W. Tucker, *THE CM-5 connection machine: A scalable supercomputer*, Commun. Assoc. Comput. Mach., vol. 36, pp. 31- 40, 1993.
- [25] C. E. Leiserson, *Fat trees: Universal networks for hardware- efficient super-computing*, IEEE Trans. Comput., vol. C-34, pp 892- 901, 1985.
- [26] F. J. Mac Williams and N. J. A. Sloane, *The Theory of Error Correcting Codes*, New York: North- Holland, 1993.
- [27] J. L. Massey, *Conflict- resolution algorithms and random access communications*, Multi- User Communication Systems. New York: Springer- Verlag, 1981.

- 
- [28] C. A. Mead and L. A. L. A. Conway, *Introduction to VLSI Systems*, Reading, MA: Addison Wesley, 1980.
- [29] J. Savir, G. S. Ditlow, and P. H. Bardell, *Random pattern testability*, IEEE Trans. Comput., vol. C- 33, pp. 79-80, Jan. 1984.
- [30] K. G. Shin, *HARTS: A distributed real- time architecture*, IEEE Computer, pp. 25-35, May 1991.
- [31] N. Alon, J. H. Spencer, *The Probabilistic Method*, Wiley interscience, New York, 2000.
- [32] B. Bollobas, *Random Graphs*, Cambridge University Press, Cambridge, 2001.
- [33] P. Erd' os, A. Renyi, *On the evolution of random graphs*, Publ, Math. Inst. Hungarian Acad. Sci. 5( 1961) 17- 61.
- [34] P. Erd' os, A. Renyi, *On the evolution of random graphs*, Bull. Inst. Internat. Statist. 38(4) (1961) 343- 347.
- [35] S. Janson, T. Luczak, A. Ruci'nski, *random Graphs*, Wiley, New York, 2000.
- [36] W. H. Kautz, R. R. Singleton, *Nonrandom binary superimposed codes*, IEEE Transform. Inform. Theory 10(4)(1964) 363- 377.
- [37] R. Durrett, *Random Graph Dynamics*, Book by Rick Durrent, Cornell U., Published by Cambridge U. Press, October 2006.

- 
- [38] F. K. Hwang, V. Sos, *Non- adaptive hypergeometric group testing*, *Studia Scientiarum Mathematicarum Hungaricae* 22(1-4) (1987), 257- 263.
- [39] M. Ruszinko, *On the upper bound of the size of the r- cover- free families*, *Journal of Combinatorial Theory Series A* 66(2)( 1994), 302-310.
- [40] A. Frieze, R. Moncel, M. Ruszinko, C. Smyth, *Codes Identifying Sets of Vertices in Random Networks*, *Discrete mathematics* 307(2007), 1094- 1107.
- [41] J. Moncel, *Electronic Notes in Discrete Mathematics*, 22( 2005) 229- 232.
- [42] S. Edward- Austin Hollar, *COTS dust*, M.S. these, University of California, Berkeley, 2000.
- [43] D. Estrin, D. Culler, K. Pister, and G. Sukhatme, *Connecting the physical world with pervasive networks*, *IEEE Pervasive Computing*, vol. 1, no. 1, pp. 59- 69, January- March 2002.
- [44] N. S. V, Rao, *Computational complexity issues in operative diagnosis of Graph- Based systems*, *IEEE Transactions on Computers*, vol. 42, no. 4, pp. 447- 457, April 1993.
- [45] B. Hofmann- Wellenhof, H. Lichtenegger, and J. Collins, *Global Positioning System: Theory and Practice*, Springer- Verlag, 4 edition, 1997.

- 
- [46] R. Want, A. Hopper, V. Falcao, and J. Gibbons, *The active badge location system*, ACM Transactions on Information Systems, vol. 10, no. 1, pp. 91- 102, January 1992.
- [47] S. Long, R. Kooper, G. D. Abowd, and C. G. Atkeson, *Rapid prototyping of mobile context-aware applications: The Cyberguide case study*, in 2th ACM International Conference on Mobile Computing and Networking ( MOBICOM '96). ACM, July 1996.
- [48] R. Azuma, *Tracking requirements for augmented reality*, Communication of the ACM, vol. 36, no. 7, pp. 50- 51, July 1993.
- [49] A. Harter, A. Hopper, P. Steggles, A. Ward, and P. Webster, *The anatomy of a context aware application*, in Mobicom' 99. ACM,8 1999.
- [50] N. B. Priyantha, A. Chakraborty, and H. Balakrishnan, and S. Teller, *The cricket location- support system*, in 6th ACM International Conference on Mobile Computing and Networking( ACMMOBICOM) Boston, MA, 2000, ACM.
- [51] N. B. Priyantha, A. Chakraborty, and H. Balakrishnan, and S. Teller, *The cricket compass for Contextaware mobile applications*, in 7th ACM Conference on Mobile Computing and Networking( MOBICOM), Rome, Italy, July 2001, ACM.

- 
- [52] P. Bahl and V.N. Padmanabhan, *RADAR: An in-building RF- based user location and tracking system*, in IEEE INFOCOM 2000, Tel Aviv, Israel, 2000, IEEE.
- [53] N. Bulusu, J. Heidemann, and D. Estrin, *GPS-less low cost outdoor localization for very small devices*, Tech. Rep. 00-729, University of Southern California/ Information Science Institute, April 2000.
- [54] I. Charon, O. Hudry, and A. Lobstein, *Identifying codes with small radius in some infinite regular graphs*, The Electronic Journal of Combinatorics, vol. 9, 2002.
- [55] K. Chakrabarty, S. S. Iyenger, H. Qi, and E. Cho, *Grid coverage for surveillance and Target location in distributed sensor networks*, Accepted for publication in IEEE Transactions on Computers.
- [56] K. Chakrabarty, H. Qi, S. S. Iyenger, and E. Cho, *Coding theory framework for target location in distributed sensor networks*, in International Symposium on Information Technology: Coding and Computing, 2001, pp. 130- 134.
- [57] S. Gravier, J. Moncel *Construction of Codes Identifying Sets of Vertices*, the electronic journal of combinatorics 12( 2005).



# Identifying codes in graphs

by

**A. Jalali**

Submitted in Partial Fulfillment  
of the Requirements  
for the Degree of

Master of Science  
in  
Applied Mathematical

Under supervision of  
*Dr. A. Nezakati*

2010

Mathematics Department  
Tarbiat Moallem University of  
Sabzevar